



Scanned by
S. O. S. S.

**Sol-Jel Yöntemi ile Kıl Esaslı Altıkk Üzerine $\text{La}_2\text{O}_3\text{-}\text{Al}_2\text{O}_3$
Soluşyon Kaplama ve Seramik Membran Üretimi**

Bahri ERSOY

YÜKSEK LİSANS TEZİ

Maden Müh.Böl. Cevher Hazırlama Anabilim Dalı

1996

SOL-JEL YÖNTEMİ İLE KİL ESASLI ALTLIK ÜZERİNE La_2O_3 - Al_2O_3
SOLÜSYON KAPLAMA VE SERAMİK MEMBRAN ÜRETİMİ

Bahri ERSOY

Dumlupınar Üniversitesi Fen Bilimleri Enstitüsü
Lisansüstü Yönetmeliği Uyarınca Maden Müh. Cevher Hazırlama Anabilim Dalında
YÜKSEK LİSANS TEZİ
Olarak Hazırlanmıştır

Danışman: Doç. Dr. Volkan GÜNAY

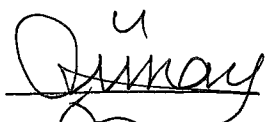
T-50035

1996

Bahri ERSOY'un YÜKSEK LİSANS tezi olarak hazırladığı "SOL-JEL YÖNTEMİ İLE KİL ESASLI ALTLIK ÜZERİNE La_2O_3 - Al_2O_3 SOLÜSYON KAPLAMA VE SERAMİK MEMBRAN ÜRETİMİ" başlıklı bu çalışma, jürimizce lisansüstü yönetmeliğinin ilgili maddeleri uyarınca değerlendirilerek kabul edilmiştir.

17.10.8.1.1996

Üye : Doç.Dr.Volkan GÜNAY



Üye: Prof.Dr. Osman T. ÖZKAN



Üye : Prof.Dr.Leon ÇAPAN



Fen Bilimleri Enstitüsü Yönetim Kurulu'nun 24.09.1996.....
gün ve 62 sayılı kararı ile onaylanmıştır.

Doç.Dr. İ. Böktay EDİZ
Fen Bilimleri Enstitüsü Müdürü



SOL-JEL YÖNTEMİ İLE KİL ESASLI ALTLIK ÜZERİNE La_2O_3 - Al_2O_3 SOLÜSYON KAPLAMA VE SERAMİK MEMBRAN ÜRETİMİ

ÖZET

Bu çalışmada, sol-jel prosesi uygulanarak kıl esaslı poroz altlık üzerine daldırarak kaplama yöntemi ile %4 La_2O_3 katkılı alümina (Al_2O_3) jel kaplanarak seramik membran üretilmiştir. Kaplama solüsyonu Böhmit (AIOOH, Keith Ceramicies Ltd.), $\text{La}_2(\text{NO}_3)_3 \cdot 6\text{H}_2\text{O}$ (Sigma), PVA (72000gr/mol, Merck), distile su ve HNO_3 (Merck) kullanılarak hazırlanmıştır.

Katkılı (%2 La_2O_3 ve %4 La_2O_3) ve katkısız olarak hazırlanan alümina jeller 700 - 1200 °C'de kalsine edildikten sonra termal stabiliteleri incelenmiştir. Termal stabilitesi en iyi olan jelin %4 La_2O_3 katkılı olarak hazırlanan alümina jel olduğu tesbit edilmiştir. Katkısız alümina jelde 1200 °C'de $\gamma\text{-Al}_2\text{O}_3$ - $\alpha\text{-Al}_2\text{O}_3$ faz dönüşümü meydana gelmiştir. Buna karşın %4 La_2O_3 katkısı ile bu faz dönüşümü engellenmiş ve böylece $\gamma\text{-Al}_2\text{O}_3$ ($\gamma + \theta\text{-Al}_2\text{O}_3$) fazındaki jel tabakasında yüksek sıcaklıklarda dar gözenek boyut dağılımlı (3- 15 nm) ve yüksek gözenek yüzey alanlı (113 m²/g, 1000 °C'de) yapı korunmuştur.

$\gamma\text{-Al}_2\text{O}_3$ membran tabakasının 5-7 μm kalınlığında olduğu tesbit edilmiştir.

Anahtar kelimeler : Sol-jel kaplama, $\gamma\text{-Al}_2\text{O}_3$, Gözenek, Isısal kararlılık, SEM, Membran

La₂O₃ - Al₂O₃ SOLUTION COATING ON THE CLAY BASED SUBSTRATE BY THE SOL-GEL METHOD AND PRODUCTION OF CERAMIC MEMBRANE

SUMMARY

In this work, the sol-gel process was used for 4 wt % La₂O₃ + 96 wt % Al₂O₃ ceramic membran were prepared by dip-coating of a sol on the clay-based porous substrate . The coating solution was prepared by using Boehmite (ALOOH), La-nitrate (La₂(NO₃)₃.6H₂O), PVA (mw=72000), distilled water and HNO₃.

Thermal stabilities of the Al₂O₃ gels without and with La₂O₃ (2 and 4 wt%) additions were studied after calcining from 700 to 1200°C. The highest thermal stability was achieved with 4 wt % La₂O₃ addition. The γ - to α -Al₂O₃ phase transformation took place at 1200°C for the alümina gel without La₂O₃ addition. On the other hand, this phase transformation was inhibited by addition of 4 wt % La₂O₃. The resultant γ -Al₂O₃ (γ + θ - Al₂O₃) retained its narrow pore size distribution and small pore sizes (between 3 -15 nm) and high pore surface area (113 m²/g) at higher temperatures.

The thickness of the γ -Al₂O₃ membrane layer was between 5-7 μ m.

Key Words : Sol-gel coating, γ Al₂O₃, Porosity, SEM, Thermal stability, Membran

TEŞEKKÜR

Bu tez çalışması TÜBİTAK ile Dumlupınar Üniversitesi arasında yapılan işbirliği protokolü çerçevesinde, TÜBİTAK-MAM (Gebze/KOCAELİ) Malzeme Araştırma Bölümü'nde "Alümina Seramik Membranlar" projesi kapsamında gerçekleştirilmiştir. Proje yaklaşık bir yıl sürmüştür.

Öncelikle bize bu imkanı sağlayan TÜBİTAK-MAM kurumu adına Malzeme Bölüm Başkanı syn. Doç.Dr.Tarık BAYKARA'ya ve değerli bilgilerini bizlere aktaran, proje direktörlüğünü ve aynı zamanda danışmanlığını yürüten syn.Doç.Dr.Volkan GÜNAY'a çok teşekkür ediyorum.

Ayrıca yine değerli bilgi ve yorumlarından faydalananma imkanı bulduğum syn Prof.Dr Osman T. ÖZKAN ile laboratuar çalışmalarında yardımcı olan Dr.A.A.GÖKTAŞ, Müh.R. ÇEŞMEÇİ, Teknisyenler R.ERSOY, Y.EMRE ve E.KELEŞ'e (şekillendirme ve kalsinasyon) , Dr N.DURLU'ya (TG-DTA), Y.Müh.E.GÜNAY, Teknisyenler.M.BERK ve H.BODUR'a (X ışınları ve zetapotansiyel), Y.Müh.S.S.TARAR ve Tekn.F.BALLI'ya (yüzey alanı, tane boyut dağılımı ve yoğunluk), Y.Müh.Z.MISIRLI , Teknisyenler O.İPEK ve R.İŞIK'a (elektron mikroskop), Y.Müh.G.G.AVCI , Teknisyenler M.AKDAG ve C.PAK'a (kimyasal analiz), Y.Müh.Y.PALACI ve Tekn.Ö.GÜNEŞ'e (Hg-porozimetre) teşekkür ederim.

Bahri ERSOY

İÇİNDEKİLER

	<u>Sayfa</u>
ÖZET.....	II
SUMMARY.....	III
TEŞEKKÜR.....	IV
ŞEKİLLER DİZİNİ.....	VIII
ÇİZELGELER DİZİNİ.....	XI
BÖLÜM 1. GİRİŞ.....	1
BÖLÜM 2. SERAMİK VE SERAMİK MALZEMELER.....	3
2.1. Geleneksel Seramikler.....	3
2.1.1 Başlıca geleneksel seramik hammeddeleri.....	3
2.1.1.1 <u>Kütahya yöresi seramik hammadde potansiyeli</u>	12
2.2. İleri Teknoloji Seramikleri.....	16
2.2.1. İleri teknoloji seramiklerinin özellikleri.....	16
2.2.2. İleri teknoloji seramiklerinin uygulama alanları.....	16
2.2.3. İleri teknoloji seramiklerinin sınıflandırılması.....	17
2.2.3.1. <u>Fonksiyonel seramikler</u>	17
2.2.3.2. <u>Yapısal seramikler</u>	18
2.2.4. Oksit seramikler.....	18
2.2.4.1. <u>Alümina (Al_2O_3) ve diğerleri</u>	19
2.2.5. Oksit olmayan seramikler.....	25
2.3. İleri Teknoloji Seramikleri Üretim Aşamaları.....	25
BÖLÜM 3. SOL-JEL PROSESİ.....	27
3.1. Sol-jel Tekniğinin Esasları.....	29

İÇİNDEKİLER (devam)

Sayfa

3.2. Sol-jel Prosesinin Avantajları.....	38
3.3. Sol-jel Prosesinin Uygulama Alanları.....	39
BÖLÜM 4. MEMBRANLAR VE MEMBRAN AYIRIM PROSESLERİ.....	40
4.1. Ayırıım Prosesinin Matematiksel İfadesi ve Por Transport Modeli.....	40
4.2. Temel Esasları.....	43
4.2.1. Fiziksel yapı ve fonksiyonel özelliklerine göre membranlar....	43
4.2.1.1. <u>Mikroporoz yapıda olan membranlar</u>	43
4.2.1.2. <u>Homojen yapıda olan membranlar</u>	43
4.2.1.3. <u>Asimetrik yapıda olan membranlar</u>	43
4.2.1.4. <u>Elektriksel yüke sahip engeller</u>	44
4.2.1.5. <u>Selektif ayırıım yapan sıvı filmi</u>	44
4.2.2. Membran ayırıım proseslerinde etkin olan kuvvetler.....	44
4.2.3. Membran ayırıım prosesleri.....	45
BÖLÜM 5. DENEYSEL ÇALIŞMALAR.....	47
5.1. Malzemeler.....	47
5.2. Farklı Yörelere Ait Kaolinlerden Altlık Seçimi ve Altlık Hazırlama.....	54
5.3. Katkılı (%2 ve %4 La ₂ O ₃) ve Katkısız Alümina Jellerin Hazırlanması ve Kaplamaya Uygun Jel Kompozisyonunun Tesbiti.....	56
5.4. Kaplama İşlemi ve Membran Eldesi.....	60
5.5. Karakterizasyon	62
5.5.1. Yoğunluk	62
5.5.2. Yüzey alanı	62
5.5.3. Tane boyut dağılımı.....	63
5.5.4. Zetapotansiyel.....	63
5.5.5. Gözenek boyut dağılımı ve miktarı (Hg-Porozimetre).....	63
5.5.6. Mineralojik ve faz analizi (X ışınları).....	64

İÇİNDEKİLER (devam)

	<u>Sayfa</u>
5.5.7. Mekanik mukavemet testi.....	64
5.5.8 Kimyasal analiz.....	64
5.5.9. TG-DTA analizi.....	65
5.5.10. Mikroyapı analizi (SEM).....	65
BÖLÜM 6. SONUÇLAR VE İRDELEMELER.....	66
6.1. Altılıklar.....	66
6.2. Al_2O_3 Jeller.....	81
6.3. Sol - Jel Kaplama ve Membran	104
BÖLÜM 7. GENEL SONUÇLAR.....	107
KAYNAKLAR DİZİNİ.....	108

ŞEKİLLER DİZİNİ

<u>Şekil</u>	<u>Sayfa</u>
2.1: Kaolinit'in kristal yapısı.....	5
2.2: Kaolinit'in Hegzagonal yaprakçıkları.....	6
2.3: Montmorillonî'in kristal yapısı	9
2.4: SiO ₂ modifikasyonları.....	11
2.5: M.Kemalpaşa-Emet-Altıntaş-Düvertepe havzasındaki birimlerin şematik sütun kesiti.....	14
2.6: Kütahya yöresi seramik hammadde yatakları.....	15
2.7: Alüminyum hidroksitlerin termal ve hidrotermal değişimleri.....	19
2.8: Bazı alümina fazları ve minerallerinin kristalin yapıları.....	21
2.9: Bayer prosesi akım şeması (Seydişehir Alüminyum işl.).....	22
2.10: Bayer prosesi boksit ürünlerı.....	23
2.11. İleri teknoloji yöntemleri kullanılarak üretilmiş bazı alümina esası yapısal uygulaması olan seramikler.....	25
3.1: Kolloidal sistem, jel yapı	27
3.2: Sol-jel prosesinde kullanılan elementler.....	28
3.3: Sol-jel prosesi (polimerik jelleşme).....	34
3.4: iyi peptize olmuş sistem, iyi peptize olmamış sistem.....	34
3.5:Sol-jel prosesinde oluşan yapı değişimleri.....	35
3.6: Jelleşme sırasında oluşan farklı jel yapıları.....	36
3.7: Sol-jel prosesindeki yapısal değişim sahalarının fotoğraf görüntüleri.....	36
3.8: Sol-jel prosesi uygulama alanları.....	39
4.1: Poroz bir membranda bir molekülün difüzyonu.....	40
4.2. Partikül boyutlarına göre sınıflandırılmış ayırım prosesleri.....	45
5.1: XRD ile Doğaköy kaolin altlığından mineralojik analizi.....	49
5.2: X-Ray spektrometresi ile Doğaköy kaolin altlığının elementer analizi.....	50
5.3: XRD ile Dümbüldek kaolin altlığının mineralojik analizi.....	51
5.4: X-Ray spektrometresi ile Dümbüldek kaolin altlığının elementer analizi.....	52
5.5: Kaolinlerin tane boyut dağılımları.....	53
5.6: Üç nokta eğme mukavemeti deney düzeni.....	54

ŞEKİLLER DİZİNİ (devam)

<u>Sekil</u>	<u>Sayfa</u>
5.7: Kaolin altlık seçimi ve altlık hazırlama.....	55
5.8.: Alümina jellerin hazırlanması ve kaplama yapılacak jelin tesbiti.....	57
5.9: Kolloidal sistemde suyun uzaklaştırılması ile kolloidal jel eldesi.....	59
5.10: Kaplama işlemi ve membran eldesi.....	61
5.11. Kaolin altlıklı alümina membran (kesit görünüş).....	62
6.1: Kaolinlerin sinterleme sıcaklığına göre 3 nokta eğme mukavemetleri.....	66
6.2: Kaolinlerin sinterleme sıcaklığına göre teorik yoğunlukları.....	67
6.3: Kaolinlerin sinterleme sıcaklığına göre porozite miktarları.....	67
6.4: Kaolinlerin sinterleme sıcaklığına göre su emme oranları.....	68
6.5: Kaolinlerin sinterleme sıcaklığına göre hacimce küçülme oranları.....	68
6.6: 950 °C'de sinterlenen Doğaköy kaolin altlığının gözenek boyut dağılımı.....	70
6.7: 1000°C'de sinterlenen Doğaköy kaolin altlığının gözenek boyut dağılımı.....	70
6.8: 1100°C'de sinterlenen Doğaköy kaolin altlığının gözenek boyut dağılımı.....	71
6.9: 1150°C'de sinterlenen Doğaköy kaolin altlığının gözenek boyut dağılımı.....	71
6.10: 1200°C'de sinterlenen Doğaköy kaolin altlığının gözenek boyut dağılımı.....	72
6.11: 950°C'de sinterlenen Dümbüldek kaolin altlığının gözenek boyut dağılımı.....	72
6.12: 1000°C'de sinterlenen Dümbüldek kaolin altlığının gözenek boyut dağılımı.....	73
6.13: 1100°C'de sinterlenen Dümbüldek kaolin altlığının gözenek boyut dağılımı.....	73
6.14: 1150°C'de sinterlenen Dümbüldek kaolin altlığının gözenek boyut dağılımı.....	74
6.15: 1200°C'de sinterlenen Dümbüldek kaolin altlığının gözenek boyut dağılımı.....	74
6.16: Farklı sıcaklıklarda sinterlenen Doğaköy kaolin altlığının XRD ile faz analizi....	76
6.17: Farklı sıcaklıklarda sinterlenen Dümbüldek kaolin altlığının XRD ile faz analizi....	77
6.18: Dümbüldek kaolin altlığının SEM'de çekilen mikroyapı fotoğrafları.....	79
6.19: Doğaköy kaolin altlığının SEM'de çekilen mikroyapı fotoğrafları.....	80
6.20: Böhmit'in PH'ya göre zetapotansiyel değerleri.....	82
6.21: Böhmit'in tane boyut dağılımı.....	83
6.22: Farklı sıcaklıklarda kalsine edilen Al-0 jelinin X işinları analizi.....	84
6.23: Farklı sıcaklıklarda kalsine edilen Al-2 jelinin X işinları analizi.....	85
6.24: Farklı sıcaklıklarda kalsine edilen Al-4 jelinin X işinları analizi.....	86

ŞEKİLLER DİZİNİ (devam)

<u>Şekil</u>	<u>Sayfa</u>
6.25: Katkısız (Al-0: %100 Al ₂ O ₃) ve katkılı (Al-2: %2 La ₂ O ₃ + %98 Al ₂ O ₃ , Al-4: %4 La ₂ O ₃ + %96 Al ₂ O ₃) alümina jellerin kalsinasyon sıcaklığına göre gözenek çaplarının değişimi.....	87
.6.26: Al-0, Al-2 ve Al-4 alümina jellerin kalsinasyon sıcaklığına göre gözenek miktarlarının değişimi.....	88
6.27: Al-0, Al-2 ve Al-4 alümina jellerin kalsinasyon sıcaklığına göre gözenek yüzey alanlarının değişimi.....	88
6.28: 1000 °C'de 1 saat kalsine edilen alümina jellerin gözenek boyut dağılımı....	90
6.29: 1000 °C'de 48 saat kalsine edilen alümina jellerin gözenek boyut dağılımı..	90
6.30: 1000 °C'de 48 saat kalsine edilen alümina jellerin kümülatif gözenek boyut dağılımı.....	91
6.31: Farklı sıcaklıklarda kalsine edilen Al-0 jelinin gözenek boyut dağılımları.....	91
6.32: Farklı sıcaklıklarda kalsine edilen Al-2 jelinin gözenek boyut dağılımları.....	92
6.33: Farklı sıcaklıklarda kalsine edilen Al-4 jelinin gözenek boyut dağılımları.....	92
6.34: 1000 °C'de Farklı sürelerde kalsine edilen Al-0 jelinin göz. boyut dağılımı.....	93
6.35: 1000 °C'de Farklı sürelerde kalsine edilen Al-2 jelinin göz. boyut dağılımı.....	93
6.36: 1000 °C'de Farklı sürelerde kalsine edilen Al-4 jelinin göz. boyut dağılımı.....	94
6.37: Al-0 jelinin kalsinasyon süresine göre gözenek çapı, göz. mktarı değişimi....	95
6.38: Al-2 jelinin kalsinasyon süresine göre gözenek çapı, göz. mktarı değişimi....	96
6.39: Al-4 jelinin kalsinasyon süresine göre gözenek çapı, göz. mktarı değişimi....	97
6.40: Alümina jellerin (Al-0,Al-2 ve Al-4) kalsinasyon süresine göre gözenek yüzey alanı, gözenek çapı ve gözenek mktarı değişimleri.....	98
6.41: Katkısız (Al-0) alümina jelin TG-DTA analizi.....	100
6.42: %2 La ₂ O ₃ Katkılı (Al-2) alümina jelin TG-DTA analizi.....	101
6.43: %4 La ₂ O ₃ Katkılı (Al-4) alümina jelin TG-DTA analizi.....	102
6.44: Alümina jellerin DTA eğrileri.....	103
6.45: A/B : 1/1 kompozisyonu ile yapılan sol-jel kaplamalı alümina (La ₂ O ₃ - Al ₂ O ₃) membranlarının kırık yüzey SEM fotoğrafları.....	105
6.46: A/B : 2/1 kompozisyonu ile yapılan sol-jel kaplamalı alümina (La ₂ O ₃ - Al ₂ O ₃) membranlarının kırık yüzey SEM fotoğrafları.....	105

ŞEKİLLER DİZİNİ (devam)

<u>Şekil</u>	<u>Sayfa</u>
6.47: Farklı sıcaklıklarda sinterlenmiş Doğaköy kaolin altlıklar ile elde edilen alümina membranların basınç altında su geçirgenliği	106
6.48: Farklı sıcaklıklarda sinterlenmiş Dümbüldek kaolin altlıklar ile elde edilen alümina membranların basınç altında su geçirgenliği	106

ÇİZELGELER DİZİNİ

<u>Çizelge</u>	<u>Sayfa</u>
2.1: M.Kemalpaşa-Emet-Altıntaş-Düvertepe havzası kaolin yataklarının kimyasal bileşimi.....	14
2.2: Kütahya yöresi kaolin yatakları	15
2.3: İleri teknoloji seramikleri kullanım alanları.....	17
2.4: Alüminyum hidroksitlerin bazı mineralojik ve yapısal özellikleri.....	21
2.5: Tek ve çok kristalli alfa alüminanın özellikleri.....	24
3.1: Alüminyum hidroksitlerin farklı asitlerde peptizasyonu.....	37
3.2: Asit miktarının sol oluşumuna etkisi.....	38
4.1: Endüstriyel alanda uygulanan önemli membran ayırım prosesleri ve uygulama alanları.....	46
5.1: Kaolinlerin kimyasal analizi.....	48
5.2: Kaolinlerin piknometre'de ölçülen yoğunlukları.....	48
6.1: 1050 °C'de sinterlenmiş kaolinlerin pişme rengi ve ateş zayıflığı.....	69
6.2: Farklı sıcaklıklarda sinterlenen kaolin altlıkların Hg-porozimetre'de ölçülen gözenek miktarları.....	75

BÖLÜM 1. GİRİŞ

20. yüzyılın sonlarında yaşanan hızlı teknolojik gelişmelere paralel olarak malzeme biliminde de büyük gelişmeler olmuştur. Özellikle ileri teknoloji seramikleri olarak adlandırılan ve başlıca oksitler (Al_2O_3 , MgO , ZrO_2 , SiO_2 vb.) ve oksit olmayan seramikler; karbürler (SiC , TiC , vb.), borürler (TiB_2 , LaB_2 , ZrB_2 vb.) ve nitrürler (AlN , Si_3N_4 vb.) den oluşan bu malzemeler yüksek mukavemet, aşınmaya, kimyasal etkilere ve yüksek sıcaklığa dayanıklılık gibi üstün özellikleri nedeniyle uçak, uzay, tekstil, makina ve savunma sanayiilerinde, ayrıca piezoelektrik (BaTiO_3) özellikleri nedeniyle elektronik ve iletişim sanayiinde kullanılmaktadır.

Yer kürede en yaygın ve bol miktarda bulunan boksit yataklarından genellikle Bayer prosesi ile elde edilen alümina (Al_2O_3) yüksek ısisal kararlılık, yüksek erimezlik (2050°C), yüksek sertlik, yüksek aşınma dayanımı, kimyasallara dayanıklılık ve düşük yoğunluk gibi üstün özellikleri ve hammadde kolaylığı avantajı ile diğer oksit esaslı seramikler arasında kullanım alanı en yaygın ve tüketimi en fazla olanıdır [1]. Bayer prosesinde kalsine alümina ve alüminyum hidroksitli bileşikler halinde elde edilen alümina ürünlerinin çok çeşitli kullanım alanları vardır. Kalsine edilmiş alüminalar başlıca refrakterler, kesici takımlar, parlatıcılar, aşındırıcılar, tekstil sektöründe iplik klavuzları, mekanik bağlantı pulları, ateşleme sistemlerinde buji olarak, püskürtme sistemlerinde nozül olarak ve askeri alanda balistik amaçlı zırh plakaları olarak kullanılabilmektedir. Alüminyum hidroksitlerin kontrollü ıslık işlem göremesiyle elde edilen ince taneli ve yüksek yüzey alanı aktifleştirilmiş alüminalar ise gaz ve sıvılar için adsorbant, nem alıcılar ve katalizör olarak kullanılır. Bunlardan başka bir diğer önemli uygulama sahası ise iki fazın (gaz-katı, katı-sıvı, sıvı-gaz) birbirinden ayırt edilmesinde, bir faz(sıvı,gaz) içerisinde mevcut çok küçük boyutlu empüritelerin filtrasyonunda ve gaz karışımlarının (H_2 , N_2 , CO_2 vb.) ayırt edilmesinde kullanılan seramik membranlardır [2]. Membran olarak genelde organik esaslı polimerik malzemeler kullanılmaktadır. Fakat bu polimerik malzemelerin sınırlı sıcaklık dayanıklılığı ($< 250^{\circ}\text{C}$), sınırlı kimyasal dayanıklılık ve sınırlı mekanik dayanıklılık gibi dezavantajlarından dolayı yüksek sıcaklık ve kimyasal dayanıklılık gerektiren yerlerde kullanılamamaktadır. Bu sebeplerden dolayı polimer yerine inorganik tür (seramik) malzemelerden membran üretimi çalışmaları başlatılmış olup bu çalışmaların ilki 1950'li yıllarda yapılmıştır [3]. Ve halen özellikle gaz karışımlarının ayırt edilmesine yönelik seramik membran üretimi ile ilgili inceleme ve araştırmalar devam etmektedir. Bu

hususla ilgili olarak ülkemizde ilk çalışmalar TÜBİTAK-MAM Malzeme Araştırma Bölümünde yapılmıştır [4]. Yapılan bu çalışmada altlık olarak ticari Alcoa alüminası kullanılmıştır.

Bu tezdeki çalışmalarda ise altlık olarak kullanmak için Kütahya (Doğaköy ve Dümbüldek) ve Balıkesir (Mumcu ve Düvertepe) yöresinden alınan kaolinler incelenmiş ve yapılan analizler (mukavemet testi ve porozite) neticesinde Kütahya yöresi kaolinleri altlık olarak kullanılmıştır. Yapılan deneysel çalışmaları sırasıyla 3 adımda vermek mümkündür. Bunlar;

1) Farklı yörelerden alınan kaolin numunelerinin özelliklerinin incelenmesi, altlık için uygun olanların tesbiti ve altlık hazırlama.

2) Sol-jel prosesi ile katkılı (Al-2:%2 La_2O_3 +%98 Al_2O_3 , Al-4:%4 La_2O_3 + %96 Al_2O_3) ve katkısız (Al-0: %100 Al_2O_3) alümina jellerin hazırlanması, farklı süre (1, 12, 24 ve 48 saat) ve sıcaklıklarda (700, 900, 1000, 1100 ve 1200 °C) kalsınasyonundan sonra karekterize edilerek kaplama için uygun jel kompozisyonunun belirlenmesi.

3) Kaolin altlıkların A/B: 1/1 ve 2/1 oranlarında hazırlanmış olan böhmít solüsyonu ile kaplanması (A: 18 gr böhmít tozu + 1.7 gr $\text{La}_2(\text{NO}_3)_3 \cdot 6\text{H}_2\text{O}$ + 250 ml destile su + 1.5 ml 14.4 M'lik HNO_3 , B:%2'lik PVA çözeltisi). Kaplama işlemi daldırma yöntemiyle gerçekleştirilmiş olup daldırma süresi 5 sn'dir. Kaplama yapılan altlıkların nem dolabında %70 nemde 35 °C'de 12 saat, %60 nemde 45 °C'de 12 saat ve %50 nemde 55 °C'de 6 saat kurutulması ve kontrollü fırında 1°C/dak. ısıtma hızında ve 600 °C'de 3 saat kalsına edilerek kaolin altıklı alümina ($\gamma\text{-Al}_2\text{O}_3$) membran sisteminin elde edilmesi. Membranın kırık yüzey SEM fotoğraflarında yapılan kaplamanın homojen ve iyi bir kaplama olduğu görülmüştür.

BÖLÜM 2. SERAMİK VE SERAMİK MALZEMELER

Seramikler genellikle metal ve metal olmayan elemanların iyonik bileşiklerinden oluşan inorganik malzemelerdir [5]. Bazı seramiklerde kısmen iyonik, kısmen kovalent bağ bulunabilir. Değişik türde eleman içeren seramiklerin yapıları ve özellikleri de çok farklıdır. Çoğunlukla çok sert ve gevrekler. Bir çok seramik malzemedede atomlar arası bağlanmadan dolayı elektronlar lokalize olarak ısı ve elektriği yapı içerisinde iletmeyen. Bu özelliğe bazı seramikler ısı yalıtımında ve elektrik izolasyonunda yaygın olarak kullanılırlar, ancak bir diğer seramik malzeme grubunda (Galyum - Arsenit gibi) yarı iletken ve (Yitriyum - Bakır oksit gibi) sıvı azot ortamında süperiletken nitelikler görülmektedir. Ergime sıcaklıkları yüksek, kimyasal yönden kararlı ve dış etkilere karşı dayanıklıdır. Kristalin yapılmasına ve üretim şekillerine bağlı olarak bünyelerinde değişik oranlarda porozite bulunur.

Seramikler genellikle iki ayrı grupta ele alınırlar . Bunlar ;

- 1) Geleneksel Seramikler
- 2) İleri Teknoloji Seramikleri

2.1. Geleneksel Seramikler

Bunlar kil, kuvars ve feldispat gibi doğal hammaddelerin yüksek sıcaklıkta sinterlenmesi ile elde edilirler. Bileşimlerinde değişik türde silikatlar, alüminatlar ve bunların yanında bir miktar metal oksitleri bulunur. Cam, tuğla, kiremit, aşındırma tozları, porselen, refrakterler ve beton gibi uzun yıllardır kullanılan malzemeler bu gruba girerler.

2.1.1 Başlıca geleneksel seramik hammaddeleri

I) KİL :

Tanımı :

Kıl ifadesi belirli bir minerali ve bir kristalografik yapıyı ifade etmeyip bir çok mineral grubunu ve dolayısıyla mineralleri temsil eden genel bir isimdir. Kil minerallerinin oluşumu bir çok yolla ifade edilmektedir. Kimyasal bozusma yöntemi bunlardan birisidir ve çoğu kilin en yakın kaynağını teşkil etmektedir. Kil minerallerinin yüzeylerinin çok geniş olması nedeniyle oldukça reaktiftirler. Çevrelerindeki iyonlar ile dengeye ulaşıncaya degen tepkimeyi sürdürürler. Bozusma ortamındaki iyonların varlığı ise iki koşula bağlıdır: a) kaynak kayaç tarafından hangi iyonların sağlanmış olduğu ve b)

bozuşma zonunda tutulan iyonların neler olduğu, başka bir deyimle iyonları yıkanma (leaching) ile (ılık, nemli iklimlerde) ortamdan uzaklaştırıldığıdır. Yıkanmanın tümüyle gerçekleşmemesi durumunda K^+ ve Mg^{+2} iyonları ortamda kalır. Eğer bazik kayaçlar bozuşmuş ise bol miktarda Mg^{+2} serbestleyeceğinden montmorillonitik Mg-kili, bazende klorit ve vermekülit oluşur. Eğer asidik kayaçlar bozuşmuş ise K^+ ve Mg^{+2} iyonları süzülen yeraltı suları ile ortamdan uzaklaştırılır ve kaolin oluşur. Sıcaklık oluşumu ise bu kaolin oluşumunu yakından etkiler. Örneğin soğuk ortamlarda kaolin oluşmaz. Nemli tropikal koşullarda uzun sürede Si^{+4} bile kaolinden uzaklaşır ve salt hidratlı alüminyum (Gibsit $Al_2O_3 \cdot 3H_2O$) geriye kalır. [10]

Kil minerallerini kristalin yapıları gözönüne alınarak üç grubu ayırmak mümkündür [8].

a) KAOLEN grubu kil mineralleri

- Nakrit, Dickit, Kaolinit ($Al_2O_3 \cdot 2SiO_2 \cdot 2H_2O$)
- Anoksit ($Al_2O_3 \cdot 3SiO_2 \cdot 2H_2O$)
- Halloysit ($Al_2O_3 \cdot 2SiO_2 \cdot 4H_2O$)
- Allofan ($Al_2O_3 \cdot mSiO_2 \cdot nH_2O$)

b) MONTMORİLLONİT grubu kil mineralleri

- Pyrophyllit ($Al_2O_3 \cdot 4SiO_2 \cdot H_2O$)
- Montmorillonit ($Al_2O_3 \cdot 4SiO_2 \cdot H_2O + nH_2O$)
- Beidellit ($Al_2O_3 \cdot 3SiO_2 \cdot H_2O \cdot nH_2O$)
- Nontronit ($(Al,Fe)_2O_3 \cdot 3SiO_2 \cdot H_2O \cdot nH_2O$)
- Saponit ($2MgO \cdot SiO_2 \cdot nH_2O$)

c) İLLİT grubu kil mineralleri:

İllit grubu kil mineralleri muskovit ($K_2O \cdot 3Al_2O_3 \cdot 6SiO_2 \cdot 2H_2O$) ve biotit ($K_2O \cdot 4MgO \cdot 2Al_2O_3 \cdot 6SiO_2 \cdot H_2O$) gibi tabakalı yapıda olan kil minerallerin bozuşması ile oluşmuştur ve üç tabakalı kristalin yapıya sahip minerallerdir. Ancak burada kil mineralleri grubu olarak seramik sektöründe en çok kullanılan Kaolen grubuna ait kaolinit mineralinden ve Montmorillonit grubuna ait montmorillonit mineralinden bahsedilecektir.

a) KAOLİNİT (Kaolin) :

Tanımı:

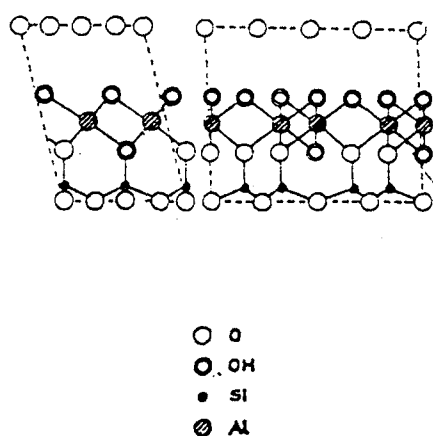
$Al_2O_3 \cdot 2SiO_2 \cdot 2H_2O$ bileşimine sahip olup kaolen grubu kil minerallerindendir. K-Feldispat türü kompleks alümina silikatlarının ortam şartlarına (su, sıcaklık, pH, asitlik vb.)

bağlı olarak aşağıda verilen hidroliz, desilikasyon ve hidrasyon reaksiyonları sonucu oluşmuştur [6].

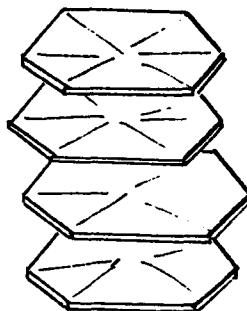
- (1) $K_2O \cdot Al_2O_3 \cdot 6SiO_2 + 2H_2O \rightarrow Al_2O_3 \cdot 6SiO_2 H_2O + 2KOH$ (Hidroliz)
Feldispat
- (2) $Al_2O_3 \cdot 6SiO_2 H_2O \rightarrow Al_2O_3 \cdot 4SiO_2 H_2O + 2SiO_2$ (Desilikasyon)
- (3) $Al_2O_3 \cdot 6SiO_2 H_2O \rightarrow Al_2O_3 \cdot 2SiO_2 H_2O + 4SiO_2$ (Desilikasyon)
- (4) $Al_2O_3 \cdot 6SiO_2 H_2O + H_2O \rightarrow Al_2O_3 \cdot 2SiO_2 \cdot 2H_2O$ (Hidrasyon)
Kaolinit
- (5) $Al_2O_3 \cdot 2SiO_2 H_2O \rightarrow Al_2O_3 \cdot H_2O + 2SiO_2$ (Desilikasyon)
Diaspor
- (6) $Al_2O_3 \cdot 2SiO_2 H_2O + 2H_2O \rightarrow Al_2O_3 \cdot 3H_2O$ (Hidrasyon)
Gibsit

Özellikleri:

Kaolinitin mineral yapısı **Şekil 2.1**'de görüldüğü gibi iki tabakalı olup, bu tabakalar tetrahedral ve oktaedral tabakalarıdır. Tabakalar içinde elektriksel nötrilik sağlanmıştır. Tabakalar arasında ise zayıf Van der waals bağı vardır [7]. %41.2 Al₂O₃, %48 SiO₂, %10.8 H₂O kimyasal bileşimindedir. Diğer tür kil minerallerine oranla daha az plastiki özelliği sahiptirler. Mohs'a göre sertlikleri 2-3 dolayındadır. C:7.2 A°'dur (1A° = 10⁻⁸cm). Kaolinit kristalleri genelikle hezagonal lameller şeklindedir (**Şekil 2.2**) [8].



Şekil 2.1 : Kaolinitin kristal yapısı [7].

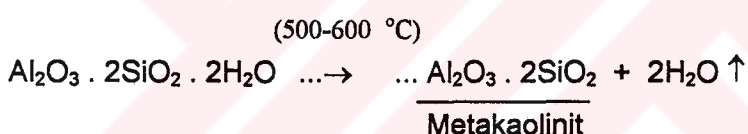


Şekil 2.2 : Kaolinitin hezagonal (altigen) yaprakçıkları [8].

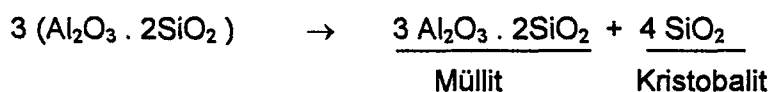
Isıl işlem sırasında meydana gelen değişimler :

a) kristal yapı değişikliği

Kaolinit 500-600 °C'de metakaolinite dönüşür. Bu sırada 2 molden oluşan kristal suyu uçar ve %14 civarında bir kızdırma kaybı (ateş zayıflığı) ortaya çıkar [8].



Plastikliğin kaybolması ile ilgili olarak, bu reaksiyon endotermik (ısı alan) bir reaksiyondur. Oluşan metakaolinit, reaksiyonlara karşı ilgili bir bileşik olduğundan 850 °C'nin üzerinde kuvvetli egzotermik (ısı veren) reaksiyon sonucu Müllit ve Kristobalite dönüşür.



Metakaolinit ile mullit arasında geçiş oluştururan bir reaksiyon daha vardır ve bu geçişde silimanit oluşur.



Reaksiyonlar sonucu oluşan serbest SiO_2 , diğer reaksiyonlarda da rol oynar. Silimanit ve özellikle müllitin aracılığı ile seramik malzemede yoğunlaşma ortaya çıkar. Müllit kristalleri sert olup iğne şeklinde dir.

b) cam fazının oluşumu :

Silikattan oluşan erimelerin soğumaları sırasında akışkanlık o kadar çabuk azalır ki iskelet oluşumunu sağlayan tanecik hareketleri gerçekleşmez. Iskelet oluşturma düzene girmişken aniden donan tanecikler camsı oluşumlara dönüşürler. "Cam fazı" denen bu oluşumlar seramik hammadde karışımının içindeki erimeyiş mineralleri birbirine bağlayarak pekişmeyi sağlarlar. Cam fazı oluşumunun artmasıyla orantılı olarak, porların azalması ve yoğunlaşma hızlanır.

Kullanım alanları :

Kaolin, yeryüzünün en başta gelen endüstriyel hammadde indendir. Kullanıldığı alanların başında kağıt, boyalı lastik, seramik, kauçuk, çimento ve kozmetik sanayiileri gelir [9].

Tarihte kaolin ilk defa seramikte kullanılmıştır. Seramikte kullanılan kaolinin, pişme renginin beyaz olması, suda dağılması, plastik olması, pişme küçülmesinin fazla olmaması gibi özellikler taşılması istenir. Kaolin, porselen, duvar fayansı, izolatör, yer karosu, refrakter ve kaplama tuğlalarında da kullanılır.

Seramik kaolinin özellikleri:

Al_2O_3	:	%30
SiO_2	:	%70'den az
$\text{CaO} + \text{MgO}$:	%2'den az
Fe_2O_3	:	%0-0.5

Geleneksel seramik ürünlerinin kompozisyonu içerisinde kullanılan kaolin miktarları :

Kaolin miktarı (%)

Duvar karosu , poröz süs eşyası	25
Porselen	50
Sağlık gereçleri ve vitrifiye malzemeler	25 - 35
Elektroporselen	25 - 35
Stone -ware	50

Ülkemizde kaolin üretimi 1986'da 150000 ton/yıl olmuştu [9].

Rezervi .

MTA Genel Müdürlüğü'nün yaptığı çalışmalara göre kaolin potansiyeli 90 milyon ton civarındadır [9]. Bu potansiyelin 63 milyon ton'luk bölümü Balıkesir- Sındırgı- Düvertepe 'de bulunmaktadır. Diğer kaolin yatakları Kütahya - Çanakkale - Bolu - Nevşehir - Niğde ve Doğu Karadeniz kuşağında (Giresun - Ordu - Trabzon - Rize) bulunmaktadır.

b) MONTMORİLLONİT

Tanımı ve Özellikleri :

Montmorillonit mineralinin kristalin yapısı aşağıda **Şekil 2.3**'de görülmektedir. Kuru haldeki montmorillonit bünyesine su alarak ilk hacminin 16 katına kadar kristal iskeletini genişletebilir. Plastisite ve absorbsyon (su emme) özelliği diğer tür kıl minerallerine göre çok yüksektir. Mohs skalasına göre sertliği 1'dir. Kaolinitin iki tabakalı mineral yapısına karşın, montmorillonit kıl minerallerinin özelliği üç tabakalı mineral yapısında olmalarıdır. Montmorillonitin ideal formülü $\text{Al}_2\text{O}_3 \cdot 4\text{SiO}_2 \cdot \text{H}_2\text{O}$ kabul edilirse bunun %28 Al_2O_3 , %67 SiO_2 ve %5 H_2O bileşiminde olduğu saptanır. Montmorillonit doğada hiçbir zaman saf olarak bulunmaz. Yüksek oranda Al_2O_3 ve MgO ile oluşan formuna Bediellit ve yüksek oranda Fe_2O_3 içeren formuna da Nontronit denir. İnce tane (< 0.06 mikron) içeriği bentonitik (Montmorillonit grubuna dahil) killerde %40'dır. Bu sayı kaolinlerde %0.5-1.5 arasındadır.

Kullanım alanı :

Montmorillonit tür killerin en büyük tüketim alanı alüminyum silikat bazlı refrakter seramik sanayiidir. Refrakter sanayiinde kullanılan killerde refrakterlik, %2'den az Fe_2O_3 (pişmişte) içeriği, bağlama amacıyla kullanılan killerde kuru bağlama dayanımında yükseklik istenmektedir. Seramik sanayiinde kullanılan killerde ise;

- Düşük demir ve titan içeriği
- Kuru bağlama dayanımı
- Dökülebilme özelliği
- İnce tane miktarının fazla olması

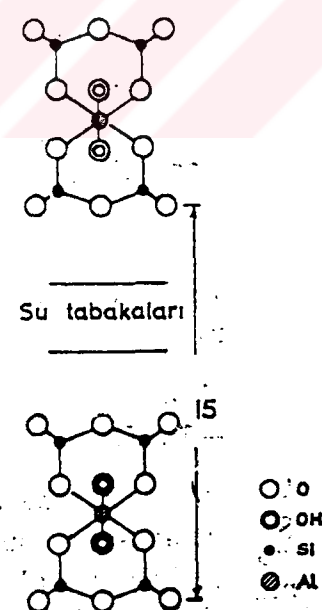
gibi özellikler aranmaktadır. Seramik sanayiinde tüketilen kıl miktarı 1986 yılında 140.000 ton olmuştur [9].

İnce seramik sanayiinde ürünlerin kompozisyonu içerisinde yer alan kil miktarları aşağıda verilmiştir

	% Kil
Duvar karosu, poröz süs eşyası	25
Porselen	50
Sağlık gereçleri	30
Elektro porselen	30
Stone-ware	20
Tuğla-kiremit	100

Rezerv durumu :

Ülkemiz iki büyük kil havzasına sahiptir. Bunlar Söğüt ve İstanbul havzalarıdır. Ayrıca Zonguldak şiferton sahası da önemli bir refrakter hammadde kaynağıdır. Bu sahalardaki potansiyel kil miktarı şöyledir [9]. Zonguldak şiferton 25.000.000 ton, İstanbul havzası 338.500.000 ton ve Söğüt havzası 5.600.000 ton.



Şekil 2.3 : Montmorillonit'in kristal yapısı [7].

II) FELDİSPAT :

Tanımı , Özellikleri ve kullanım alanları :

Genellikle her kayada muhtelif şekil ve oranlarda bulunan feldispat mineralleri, mağmanın soğuyarak kristallenmeye başladığı devrede oluşmuştur. Alkali içeriklerine göre Albit ($\text{NaAlSi}_3\text{O}_8$), Ortoklas (KAISi_3O_8) ve Anortit ($\text{CaAl}_2\text{Si}_2\text{O}_8$) olarak adlandırılmaktadır. Bunlardan başka Li, Ba, gibi diğer alkaliler de bünyelerinde bulunabilmekte ve isimleri de buna göre değişmektedir. Hava, su veya hidrotermal etmenlerle ayrışarak kaolin, zeolit, kalsit vb. gibi minerallere dönüşürler [7].

Spoduman ($\text{Li}_2\text{O} \cdot \text{Al}_2\text{O}_3 \cdot 4\text{SiO}_2$) dışında tüm feldspatlar üç boyutlu bir Si - Al doku iskeletine sahiptir. Sertlikleri 6-6.5 mohs civarındadır, yoğunluğu ise $2.56 - 2.63 \text{ gr/cm}^3$ arasında değişmektedir. Saf potasyum feldspatin (ortoklas) erime sıcaklığı 1170°C , sodyum feldspatin (albit) ise 1120°C 'dir. Ancak ortoklasın tam ergime sıcaklığı yaklaşık 1280°C dolayına ulaşmaktadır. Bu durum özellikle porselen sanayiinde iyi bir sırlaşumu için önemlidir.

Feldispat eritici olarak seramik sanayiinde ve eritici özelliği yanında Na, K, Al kaynağı olarak cam sanayiinde kullanılmaktadır. Her iki sanayii kolunda da ; yüksek alkali içeriği, renk verici (TiO_2 , Fe_2O_3 , vb) olmaması ve beyaz renkte pişmesi aranılan özelliklerdir. İnce seramik sanayiinde ürünlerin kompozisyonu içerisinde yer alan feldispat miktarları aşağıda verilmiştir.

<u>% Feldispat</u>	
Duvar karosu	15
Porselen	25
Sağlık gereçleri (vitrifiye)	15-25
Elektro porselen	30
Stone ware	20

Rezervi .

Ülkemizde seramik sanayinin ihtiyacı şimdije kadar selektif madencilik yapılarak Kütahya-Simav, Manisa-Demirci, Aydın-Çine ve Muğla-Milas 'da bulunan yataklardan karşılanmıştır. Bu yataklarla ilgili detaylı ve kesin bir rezerv tesbit çalışması henüz yapılmamıştır. Fakat özellikle ülkemizdeki K-Feldspat'a olan ihtiyacın , seramik ve cam sanayiindeki üretim ve ihracaatın artmasına paralel olarak hızla arttığı ifade edilmektedir [A.İ.Şahin, kişisel görüşme, 1995]. 1986 yılında ülkemiz feldspat üretimi 100.000 ton/yıl olarak gerçekleşmiştir [9].

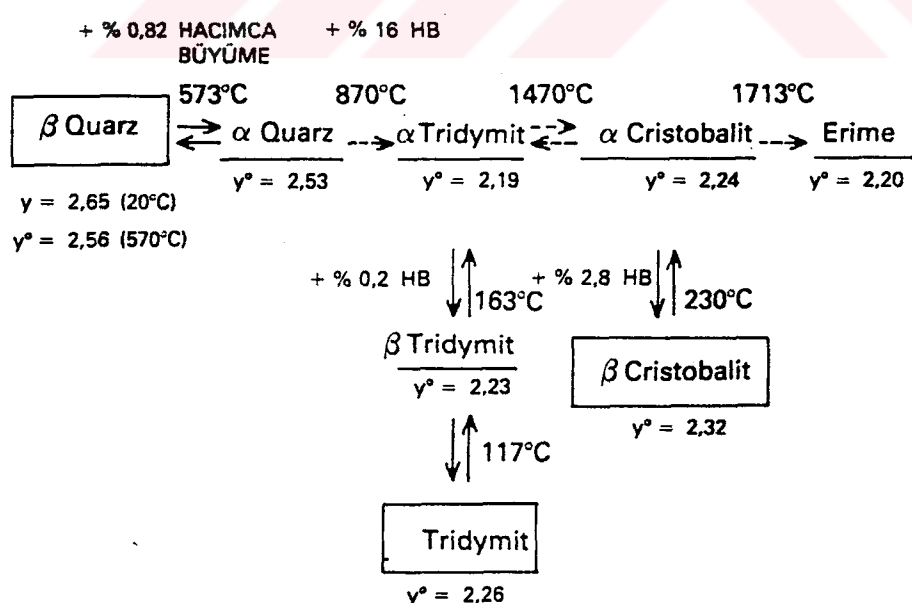
III) KUVARS :

Tanımı, özellikleri ve kullanım alanları :

SiO_2 bileşiminde ve farklı kristal yapılarında olan çeşitli mineraller vardır. Bunlar kuvars, tridimit, kristobalit, koesit ve stishovittir. Ayrıca doğada su içeren silisyum dioksit, ve opal de bulunur. Kuvars, tridimit ve kristobalit'in düşük sıcaklık ve yüksek sıcaklıkda oluşan polimorfları vardır (**Şekil 2.4**). Yüksek sıcaklık şekillerinin düşük sıcaklık şekillerine dönüşmesi SiO_4 dörtyüzlülerinin yeniden düzenlenmesini gerektirmez. Sadece hafif yer değiştirmeler ve dönmeler olur ki bu da simetriyi değiştirir. Diğer polimorfların birbirlerine dönüşümleri ise yapının tamamen bozulup tekrar düzenlenmesi ile olur [7]. Normal koşullardaki basınç ve sıcaklık altında kararlı olan SiO_2 polimorfı α -kuvars'dır. 573°C 'de β -kuvars'a dönüşür. Bu dönüşüm tersinirdir. β -kuvars hezagonal sistemde kristalleşir, sertliği 7, özgül ağırlığı 2.65 gr/cm^3 , ergime sıcaklığı 1765°C 'dir [8].

Kuvars doğada çok çeşitli koşullarda bulunabilir ve çoğu kez de çeşitli mineral yataklarını içeren ana kaya durumundadır ve yerkürenin %25'lik kısmını oluşturur.

En önemli kullanım alanları metalurji, cam, seramik, optik, ve fizik aletleri yanında, dielektrik - piezoelektrik özelliği nedeniyle elektrik -elektronik sanayiinde kullanılmaktadır.



Şekil 2.4 : SiO_2 modifikasyonları [8].

Rezervi:

Kuvarsit (kuvars taneciklerinin silisli çimento ile cimentolaşması sonucu oluşur) olarak ; Antalya'da 3.750.000, Zonguldak'da 755.000.000, Yozgat'ta 4.016.925, Kastamonu'da 301.000.000, Adana'da 1.220.000.000 ve İstanbul'da 60.000 ton'dur.

Kuvars kumu (0.075 - 2 mm arasında tane boyutuna sahip silis tanecikleri) olarak;

	<u>ton</u>	<u>%SiO₂</u>
İstanbul Şile (Görünür + Muhtemel)	435.000.000	80 - 96
İstanbul-İhsaniye (")	3.220.000	91 - 98
Tekirdağ-Safaalan (")	6.338.000	90 - 91
Sinop-Sarıkum (Muhtemel)	37.000	90 - 91

Ülkemizde 1985 yılı kuvarsit üretimi 315.846 ton, kuvars kumu üretimi ise 491.027 ton olarak gerçekleşmiştir [11].

2.1.1.1. Kütahya yöresi geleneksel seramik hammadde potansiyeli

Bu tezdeki deneysel çalışmalarında altlık olarak kullanılan kaolinler Kütahya yöresine aittir. Bu sebeple aşağıda, Kütahya bölgesinin geleneksel seramik hammadde potansiyeline ilişkin bilgiler verilmektedir.

Kütahya yöresine ait seramik hammadde potansiyelinin tesbitine ilişkin ilk çalışmalar MTA tarafından 1974 yılında başlatılmıştır ("Kırka- borat yataklarındaki kil mineralleri üzerine inceleme" [44]). Daha sonra bu çalışmalar farklı yerlerde yine MTA Bölge Müdürlüğü tarafından 1978, 1980, ve 1982 yıllarında belirli sürelerde devam ettirilmiştir.

Aşağıda anlatılmakta olan Kütahya yöresi kaolin ve feldspat kaynaklarına ilişkin tespitler ve analizlerde, MTA bölge müdürlüğünce hazırlanan jeolojik etüd ve raporlardan [43] ve DPT Madencilik Ana Planı ve Özel İhtisas Komisyonu çalışma raporlarından yararlanılmıştır [9]. Ayrıca bu tez çalışması kapsamında TÜBİTAK-MAM Malzeme Araştırma Bölümündeki X-işınları ve Kimyasal analiz laboratuarlarında yapılan analizlerde Kütahya yöresine ait dört ayrı hammadde (kaolin ve montmorillonit tür kil) numunesinin mineralojik ve kimyasal bileşimleri tesbit edilmiştir.

M.KEMALPAŞA - EMET - ALTINTAŞ - DÜVERTEPE HAVZASI (Sekil 2.6):

Tavşanlı-Tunçbilek, Gediz-Gökler ve Sazköy linyit yatakları ile birlikte oluşan birinci safha kil yataklarının ticari açıdan pek önemi yoktur [12].

İkinci safha kil yatakları .

Kütahya-Gevrekseydi köy, dere, Kızılıçukur Emet-Ulaşlar, Kurtdere ve Saklar köyleri Altıntaş-Yünlük ve Alliorenen köyleri, M.Kemalpaşa Kayabaşı köyü, Sındırığı-Düvertepe, Devletlibaba ve Mumcu köyleri Kaolin yataklarından oluşur. Bu yataklar esas itibariyle Kaolinit mineralinden meydana gelmekte, buna kaynak kayadan artakalan ince feldspat ve kuvars kırıntıları ile, kaolinle birlikte olmuş bir miktar alünit refakat etmektedir. Alünit tavan ve taban kesimlerinde ortalama %1-7 orta kesimlerde %1'den azdır. Alliorende alünitin %18'e çıktıgı kısımları bulunmaktadır. Düvertepe ve Kayabaşı yataklarında yer yer bir kaç m kalınlıkta yeşil renkli dikit damarcıklarına rastlanmaktadır. Emet civarındaki kaolin yatakları, bentonitik killeşmiş proklastik çökeller içinde mercek halinde bulunmaktadır. Bu yataklardaki kil numunelerinin kimyasal analizleri aşağıdaki çizelgede verilmiştir (Çizelge 2.1).

Kütahya-Merkez-Çaydere, Bursa - Harmancık-Çamoluk köyü Sepiolit oluşumları:

Buralarda neojen tabanındaki, peridotit çakıllarının oluşturduğu konglomeralar içindeki sepiolit yumruları bulunmaktadır.

Üçüncü safha kil yatakları(Sekil 2.5):

Kütahya-Seyitömer, M.Kemalpaşa-Kestelek Emet -Hisarcık ve Çatak köylerinde, bu safhada linyit yatakları olmuşdur. Linyit yataklarının tabanında ve tavanında bentonitik killeşmiş proklast tabakaları bulunmakla birlikte buralarda ticari değeri olan kil bulunamamıştır.

Dördüncü safha kil yatakları (Sekil 2.5) :

M.Kemalpaşa -Kestelek, Emet ve Hisarcık Kolemanit yatakları bu safhada olmuşdur. Kolemanit ile birlikte alüminyum ve mağnezyum montmorillonitten oluşan büyük kil yatakları teşekkül etmiştir. Ancak bunlardan endüstride faydalanılıp faydalananılamayacağı araştırılmamıştır.

Simav - Yağmurlar köyü kil yatağı :

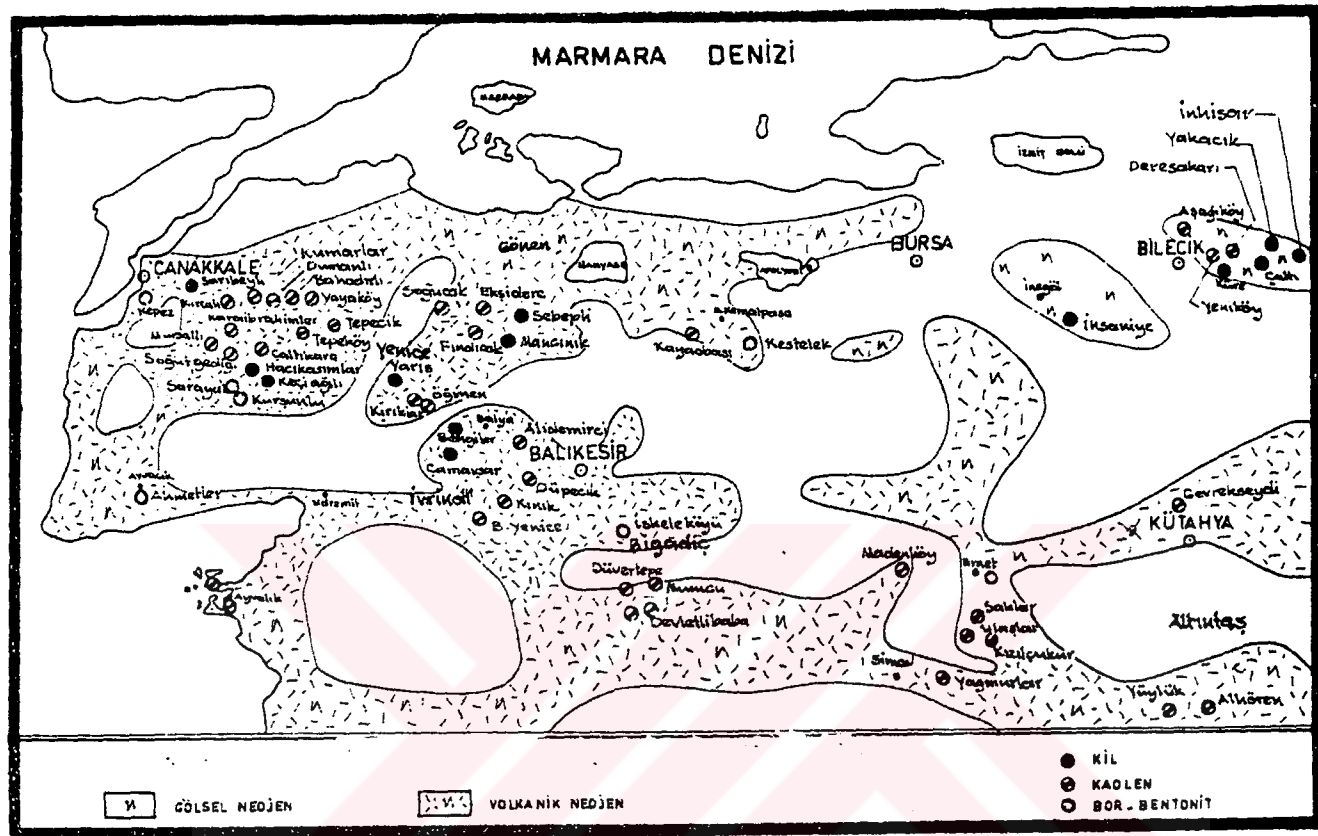
İstifin en üzerinde yer alan bu yatak illit ve kaolinit gibi kil mineralleri ile proklast kırıntılarından oluşmuştur.

Yatağın Adı	% Al ₂ O ₃	%SiO ₂	%Fe ₂ O ₃	%SO ₃	% A.Z.
Ulaşlar	26.5	58	0.5	4.25	12.74
Gevrekseydi	24	64	0.71	2.47	10.46
Kızılıçukur	28.5	53	0.75	1.76	11.16
Allörön	39.05	22.48	0.24	18.75	21.28
Yüylük	27.21	62.23	0.72	1.58	9.2
Düvertepe	19.56	63.18	.91	5.2	12.67
Kayabaşı	39.15	41.07	0.5	1.71	16.48
Mumcu	20.64	71.19	0.1	—	7.53
Devletlibaba	14.57	79.56	0.04	—	5.43

Çizelge 2.1: M.Kemalpaşa-Emet-Altıntaş-Düvertepe havzası kaolin yataklarının kimyasal bileşimi [12].



Şekil 2.5 : M.Kemalpaşa-Emet-Altıntaş-Düvertepe havzasındaki birimlerin şematik sütun kesiti [12].



Şekil 2.6 :Kütahya yöresi geleneksel seramik hammadde yatakları [12].

Kütahya Kaolin Yatakları	Miktar (ton)
Gevrekseydi	727.924
Altıntaş-Alliören	1.210.477
Altıntaş-Balotluğu-Meşetepe	2.500.000
Altıntaş-Oysu-Çamlıtepe	10.904
Emet- (Ulaşlar,Kızılıçukur,Kurdere,Saklar)	1.070.286
Simav-Yağmurlar,Madenköy	87.300

Çizelge 2.2 .Kütahya yöresi kaolin yatakları [9].

2.2. İleri teknoloji Seramikleri

Bunlara yeni, ince veya mühendislik seramikleri de denir. Bu tür seramikler genellikle arı bileşikler olup başlıca oksitler, karbürler ve nitrürlerden oluşurlar. Bunların iyonik ve kovalent bağ nitelikleri bileşimlerindeki elemanların elektronegatiflik dereceleri arasında farka bağlıdır. Örneğin MgO % 73 iyonik ve % 27 kovalent, SiC ise % 11 iyonik ve % 89 kovalent eğilimlidir. İleri Teknoloji seramiklerinin bileşim ve mikroyapı olarak kontrol edilebilme özellikleri, uygulama açısından istenen kimyasal, fiziksel, ıslı, mekanik ve elektriksel ihtiyaçlara göre tasarımlarını mümkün kılar. Özellikle gelişen teknolojilerin getirdiği tasarım kolaylığıyla arzu edilen niteliklere sahip kritik seramik malzeme oluşturulması pek çok yeni teknolojilerin süratle gelişmesine ve önemli atılımlar yapmasına yol açmıştır ki bunlardan en önemli olanları uçak, uzay, iletişim, bilgisayar ve mikro elektronik teknolojileridir [13].

2.2.1. İleri teknoloji seramiklerinin özellikleri

- İleri teknoloji seramiklerinin genel özelliklerini şu şekilde sıralayabiliriz;
- Yüksek aşınma dayanımı
- Yüksek dielektrik direnci
- Isısal şoklara dayanıklılık
- Yüksek ısı dayanımı
- Kimyasallara dayanıklılık
- Yüksek sertlik ve aşındırıcılık
- Metallerden hafif olmaları
- Hammadde olarak bol miktarda bulunması ve genellikle metallere kıyasla ucuz olması
- Pahalı ve stratejik metallere ihtiyaç göstermemesi
- Oksitlenmeye karşı dirençlerinin yüksek olması
- Yüksek basma mukavemeti

Bu üstünlüklerinin yanında seramik malzemelerinin en önemli dezavantajı gevrek karakterde olmaları ve dolayısıyla kırılma topluklarının çok düşük olmasıdır.

2.2.2. İleri teknoloji seramiklerinin uygulama alanları

İleri teknoloji seramiklerinin kullanım alanları aşağıda çizelge halinde gösterilmektedir.

Uzay ve Havacılık	Roket nozulları, uçak jurnalleri, bilyeli yataklar
Otomotiv	Katalizör ve ateşleme elemanları, benzin ayar sensörleri, piston çeperleri
Savunma	Balistik amaçlı uygulamalar (Tank, helikopter ve kurşun geçirmez zırhlar)
Elektrik-elektronik	Termokupl, fırın termostat elemanları, ateşleme elektrotları vb. gibi yalıtıcı, taşıyıcı ve koruyucu parçalar
Tekstil sanayii	Iplik rehberleri, halkaları ve makaraları
Tıp	Suni kemik, biyo aktif camları, dolgu malzemesi, dış kemik protezi
Diğer endüstriyel alanlar	Kesici takım uçları, tel çekme kalıpları, Pompa salmastra pulları, matbaa ve boyama sanayii bilyaları

Çizelge 2.3 : İleri teknoloji seramikleri kullanım alanları [14].

2.2.3. İleri teknoloji seramiklerinin sınıflandırılması

İleri teknoloji seramikleri işlevleri açısından 1) Fonksiyonel Seramikler ve 2) Yapısal Seramikler olmak üzere iki gruba ayrırlılar [13].

2.2.3.1. Fonksiyonel seramikler

Fonksiyonel seramikler terimi, elektronik, elektromekanik, optik, opto-elektronik veya manyetik fonksiyonları olan seramikleri içermektedir.

Geleneksel seramiklerin iyi bir refrakter malzeme olduğu bilinmesine rağmen, çok yüksek sıcaklık ve yükler altında kullanımları sınırlıdır. Oysa, ileri teknoloji seramikleri saflik dereceleri ve yapılarının çok kontrollü olması nedeniyle kullanım alanları çok genişir. İnce seramiklerin % 60'dan fazlası elektro manyetik parçalarda, % 25'i makina parçası olarak ve % 6-7'si biyokimyasal amaçla üretilmektedir.

Fonksiyonel seramikler, tasarım ve proses yönünden cazip malzemelerdir. Seramiklerdeki temel araştırmaların önemli bir bölümü bu alandadır. Bunlara ilaveten, ergimiş fazın katlaştırılması, tozların şok dalgaları ile sinterlenmesi ve mikro işin teknolojisi gibi yeni teknolojiler fonksiyonel seramiklerin kullanımı için yeni kapılar açmaktadır. Örneğin hızlı soğutulmuş LiNbO_3 ve PbTiO_3 çok yüksek dielektrik katsayısına sahiptir. Katı elektrolitler, gaz sensörü, iyon sensörü, elektronik bellek parçaları, pil ve iyon pompası olarak kullanılabilmekte ve genellikle polikristal seramiklerden üretilmektedirler. Halen β -alümina, sodyum sülfür pilleri için önemli bir

adadır. Kısmen stabilize zirkonya (PSZ) demir-çelik endüstrisinde ve oksijen pompalarında başarı ile kullanılmaktadır. Saydam alümina halen sodyum lambalarında kullanılmaktadır. Diğer taraftan nitrür camları, yüksek sıcaklık pencereleri için en cazip malzemelerdir. Bunlara ilaveten çeşitli termistörler, varistörler, gaz sensörleri, elektrik resistans ıstıticıları ve CdS-Cu₂S çifti gibi lineer olmayan yarı-iletkenler Japonya'da geliştirilmiş bulunmaktadır. Ülkemizde de özellikle ZnO varistörü ile ilgili üretim çalışmaları TÜBİTAK-MAM bünyesindeki Malzeme Araştırma Bölümünde gerçekleştirilmiş olup bire bir ölçekte ZnO varistörler üretilmiştir [15].

2.2.3.2. Yapısal seramikler

Yapısal seramikler daha karmaşık bir yapıya sahip olup özellikle yüksek sıcaklığa dayanıklı makina (veya konstrüksiyon) parçalarını içermektedirler. Yüksek sıcaklığa dayanıklı yapısal seramiklerin çeşitli ısı motorlarında ve enerji santrallarında kullanılması önemli ölçüde enerji tasarrufu sağlamaktadır. İnce seramikler ayrıca kesici takım olarak kullanıldığında hızlı bir üretim yapma imkanı doğmaka ve sorunsuz bir üretim gerçekleştirmektedir.

Alümina (Al₂O₃), zirkonya (ZrO₂), müllit (3Al₂O₃.2SiO₂) gibi bazı oksit seramikler, yapısal seramikler olarak kullanılmakta ve buji, valf, kesici takım ve mekanik bağlantı pulu olarak üretilmektedir. Bu tür malzemelerin mekanik özellikleri, yapının çok inceltilmesi ile veya ince partiküllerin dispersiyonu ile gerçekleşmektedir. Kısmen stabilize zirkonya, otomobillerdeki egsoz gaz temizleme sistemlerinde kullanılan katalitik oksijen sensöründe ve ayrıca demir-çelik endüstrisinde kullanılan oksijen sensöründe, yumuşak metallerin soğuk çekme kalıplarında, manyetik kayıt bantlarının kesilebilmesi için manyetik olmayan kesici olarak kullanılmaktadır.

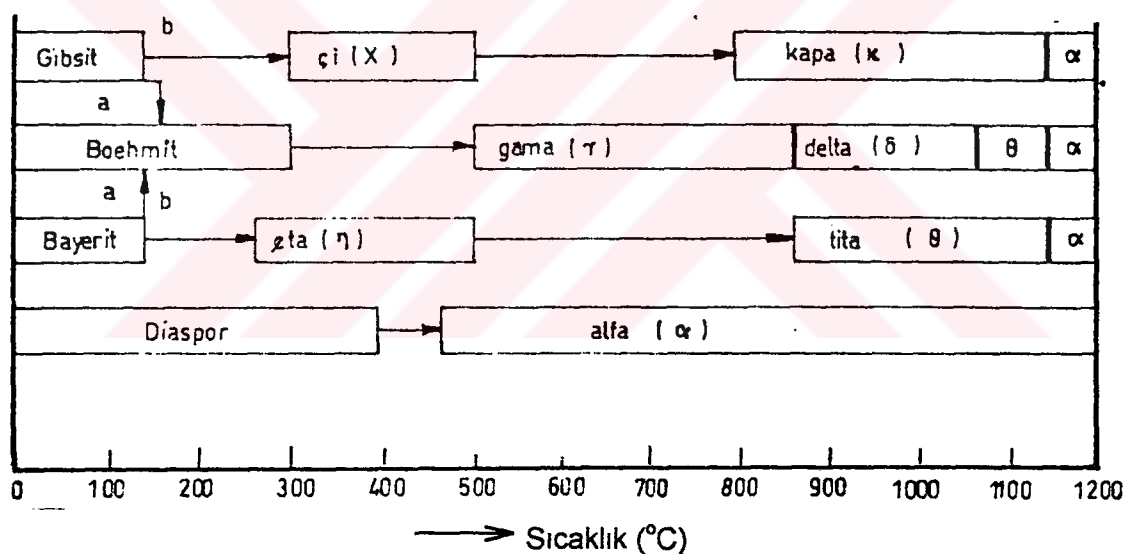
Silisyum nitrür (Si₃N₄), silisyum karbür (SiC) ve sialon (SiAlON) yapısal amaçla kullanılan en önemli oksit olmayan seramiklerdir. SiC başlıca aşındırıcı toz olarak ve çelik üretiminde refrakter tuğla olarak kullanılmaktadır. Karbon-karbon kompozitler ise özellikle grafitin kristal yapısındaki özellikli hali (farklı yönlerde farklı manyetik ve elektriksel bir yapıya sahip olabilmesi) nedeniyle nükleer ve füzyon reaktörlerinde, biyo malzeme olarak, uzay teknolojisinde, uçak fren sistemlerinde ve daha birçok alanda kullanılmaktadır.

2.2.4. Oksit seramikler

İleri teknoloji seramiklerinin işlevleri açısından fonksiyonel seramikler ve yapısal seramikler olmak üzere iki gruba ayrıldığı yukarıda ifade edilmiştir. Bundan başka kimyasal yapılarına göre de oksit ve oksit olmayan seramikler olarak bir sınıflandırma yapmak mümkündür. Oksit seramikler içerisinde en fazla kullanım alanına sahip olanı ise alümina (Al_2O_3) seramikleridir. Bu nedenle sadece alümina seramik konusu ele alınmıştır.

2.2.4.1. Alümina (Al_2O_3) ve diğerleri

Alümina sözcüğü alüminyum hidroksitlerin termal işlemleri (Şekil 2.7) sırasında oluşan fazların genel adıdır. Eğer 1000°C 'nin altında bir ısıl işlem neticesinde elde edilmiş ise "aktifleştirilmiş alümina", 1150°C 'nin üzerindeki işlemde ise "kalsine edilmiş $\alpha\text{-Al}_2\text{O}_3$ (korundum)" olarak ifade edilmektedir (Şekil 2.10) [16].



Şekil 2.7: Alüminyum hidroksitlerin termal ve hidrotermal değişimi [16].

Oksit esaslı seramikler arasında tüketimi en fazla olanıdır. Yüksek sertlik, düşük yoğunluk, ıslasal kararlılık ve korozyon dayanımı gibi üstün özelliklerinin yanında düşük birim maliyeti ve ham madde kaynağı olan boksit yataklarının yaygın olması alümina tüketiminin diğerlerine göre en fazla olmasını sağlamaktadır.

Alümina ve metal alüminyum üretimi için en büyük ve kullanılan yataklar Boksit

yataklarıdır. Boksit bir cins mineral değil, en az bir cins alüminyum hidroksit içeren amorf bir kayacı anlatır [17]. Alüminyum hidroksitler; gibsit veya hidrargilit ($\text{Al}_2\text{O}_3 \cdot 3\text{H}_2\text{O}$), böhmít ($\text{Al}_2\text{O}_3 \cdot \text{H}_2\text{O}$) ve diaspor ($\text{Al}_2\text{O}_3 \cdot \text{H}_2\text{O}$) mineralleridir. Boksitler bunlardan sadece birindenoluştugu gibi çoğu kez ikili karışımından oluşur. Boksitler genel anlamda bünyesinde % 40 civarında Al_2O_3 , % 30'dan fazla Fe_2O_3 ve bir miktarda SiO_2 içermektedir. Alüminyum hidroksitlerin bazı mineralojik ve yapısal özellikleri aşağıda Çizelge 2.4'de verilmiştir [18]. Yer kürede doğal olarak bulunan bu minerallerden hariç nadiren korund (Kristalın Al_2O_3) minerali de bulunmaktadır. (**Şekil 2.8**).

Genel olarak boksitin işlenmesin için ;

- a) Yağ alkali yöntem (Bayer Prosesi)
- b) Yağ asidik yöntem (düşük pH'lı yöntem)
- c) Alkali fırınlama yöntemi
- d) Karbotermik fırınlama yöntemi
- e) Elektrolitik yöntem

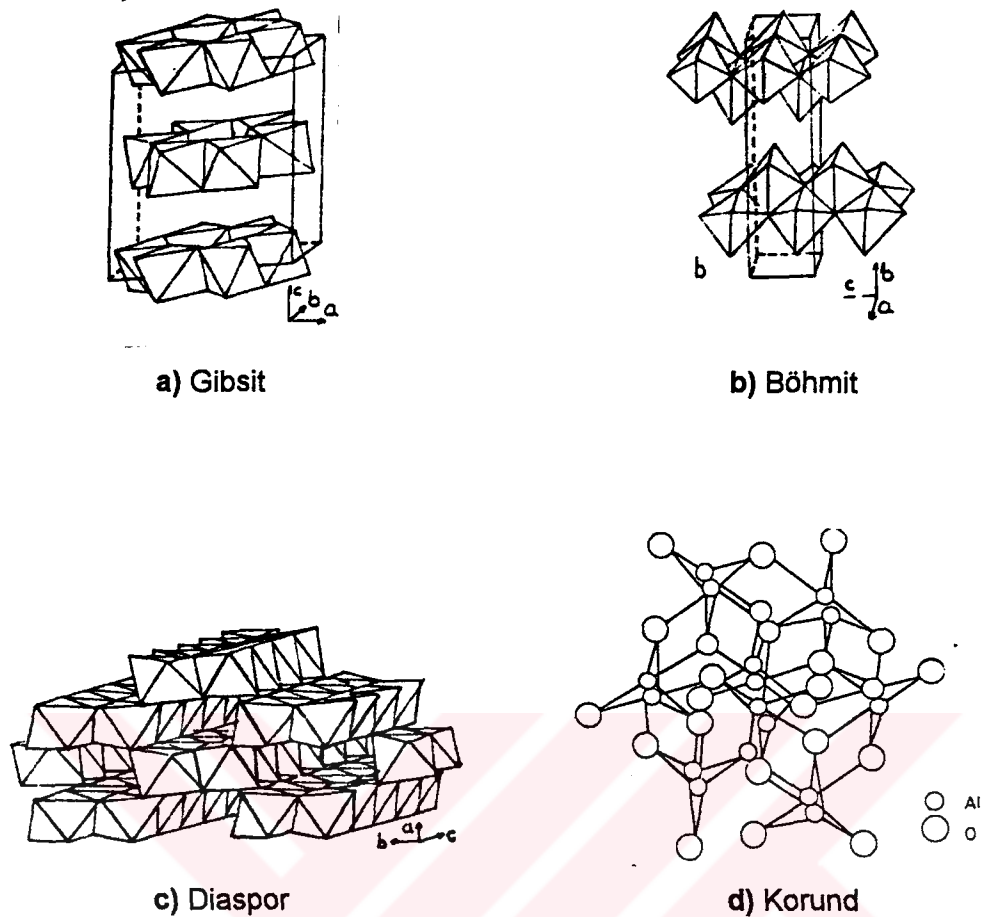
geliştirilmiş olmasına rağmen, dünyadaki uygulamanın % 95'lik payını Bayer Prosesi oluşturmaktadır (**Şekil 2.9**).

Boksit Bayer Prosesi ile en fazla emprütesi Na_2O (%0.01-0.6) olarak genelde % 99,5 Al_2O_3 içerecek şekilde saflaştırılabilir (**Şekil 2.10**). Dünya alümina üretiminin yaklaşık % 90'ı alüminyum metal üretiminde kullanılırken, geriye kalan %10'luk kısım ise ısiya dirençli dolgu malzemeleri, pigment, katalist, refrakterler, aşındırıcılar ve diğer teknolojik malzemelerin üretiminde kullanılır [19]. Seramik sektöründe kullanılan alüminanın dünya yıllık üretiminin 4 milyon ton civarında olduğu ileri sürülmektedir [1].

Özellikleri :

Bayer yöntemi neticesinde oluşan alüminyum hidroksitler, yapıdaki kristal suyunu uçurmak için yapılan kalsinasyon işlemleri sırasında birçok ara fazlardan geçtikten sonra alfa (α) formu olarak kararlı nihai kristal yapıya ulaşırlar. Yapısal amaçlı seramiklerin (**Şekil 2.11**) üretiminde kullanılan temel alümina girdisi kalsine edilmiş alfa alümina ($\alpha\text{-Al}_2\text{O}_3$) 'dan oluşurken, katalist, membran gibi soğurma ve geçirgenlik özellikleri istenen uygulamalarda alüminanın ara geçiş fazları kullanılır (Bkz **Şekil 2.7**).

Bayer yöntemiyle elde edilen, az miktarda kalsine olmuş ve aynı zamanda bir miktar safsızlık içeren alfa alümina, yüksek miktarda ara geçiş fazları gösterdiğinden teknik seramik sektöründe doğrudan kullanılamaz. Ülkemizde de Seydişehir Alüminyum



Şekil 2.8:Bazı alümina fazları ve minerallerinin kristalin yapıları [18].

İsim	Kimyasal Formül	Kristal Yapı	Birim Hücredeki Mol Sayısı	Yoğunluk gr/cm ³	Mosh Sertliği
Gibsit (Torrey 1982)	$\text{Al}(\text{OH})_3$	Monoklinik	4	2.42	2.5- 3.5
Gibsit	$\text{Al}(\text{OH})_3$	Monoklinik	16	-	-
Hidrarjilit (Cleavend 1992)	$\text{Al}(\text{OH})_3$	Triklinik	-	-	-
Bayerit	$\text{Al}(\text{OH})_3$	Monoklinik	2	2.53	-
Böhmit (Delipparent 1927)	AlOOH	Ortorombik	2	3.01	3.5-4.0
Diaspor (Haüy 1801)	AlOOH	Ortorombik	2	3.44	6.5-7.0

Çizelge 2.4 : Alüminyum hidroksitlerin bazı mineralojik ve yapısal özellikleri [18].

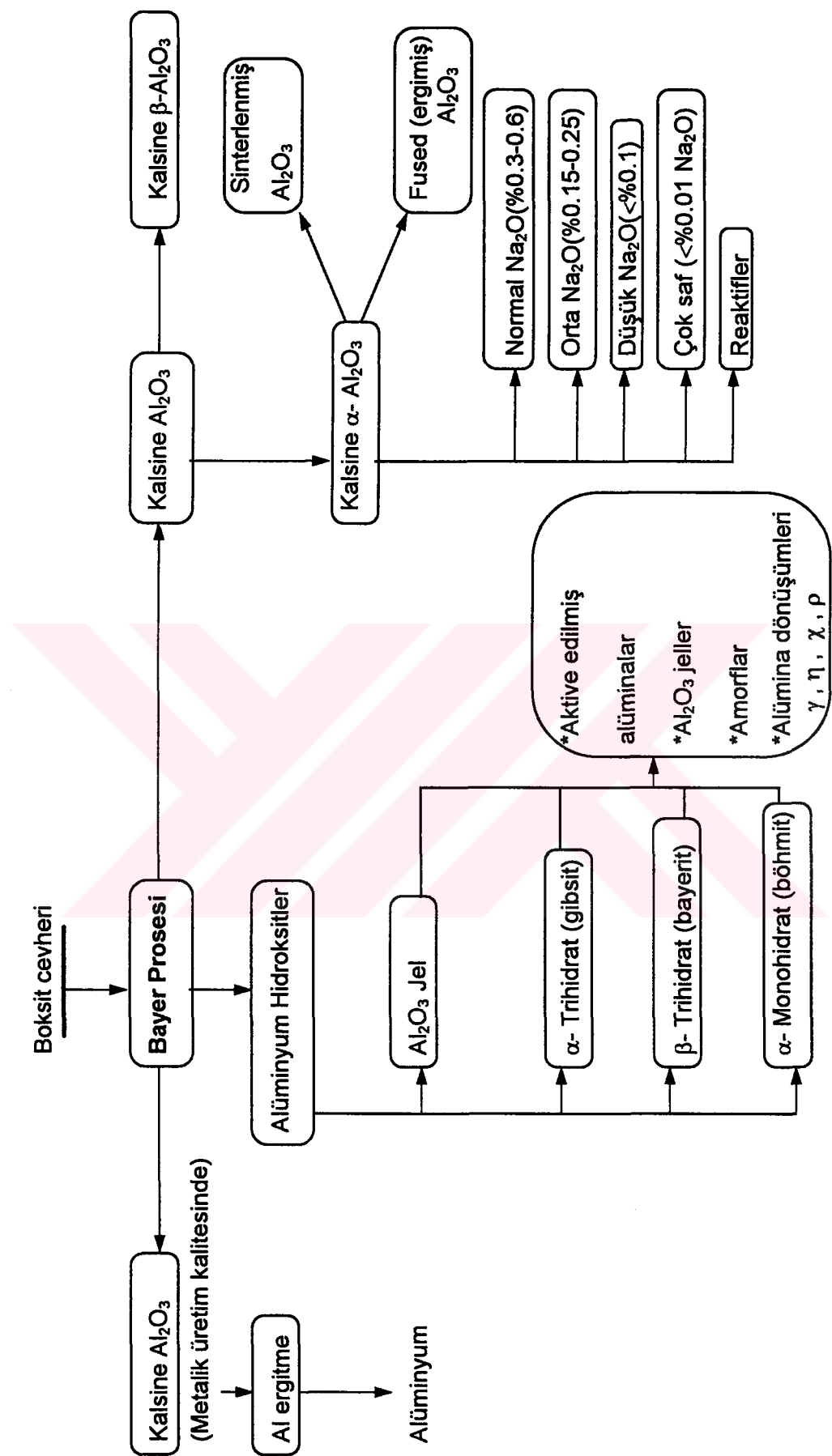
İşletmeleri'nde özellikle elek altı olarak tabir edilen alümina tam olarak α fazına dönüşmemiş olduğundan, doğrudan yapısal seramik uygulamasında kullanılamamaktadır. Elek altı alüminanın çeşitli kalsinasyon ve temizleme işlemleri ile yapısal seramiklerde de kullanılabilirliği TÜBİTAK-MAM, Malzeme Bölümü bünyesinde yapılan çalışmalar ile ortaya konulmuştur [22]. Ergime noktası 2050°C olan alüminyum oksit, yüksek sıcaklıklarda kimyasal maddelere ve mekanik yüklerle karşı en dayanıklı refrakter malzemelerden birisidir (Çizelge 2.5)

Özellik	Tek Kristalli	Çok Kristalli
Yoğunluk (gr/cm³)	3.97	3.9
Sertlik (GPa)	22.5	15-22
Young Modülü (GPa)	470	250-380
Eğme Mukavemeti (MPa)	686	150-350
Basma Mukavemeti (MPa)	2940	2100-2500
Isısal Genleşme Katsayısı	5.3×10^{-6} (C ekseninde)	7.8×10^{-6}

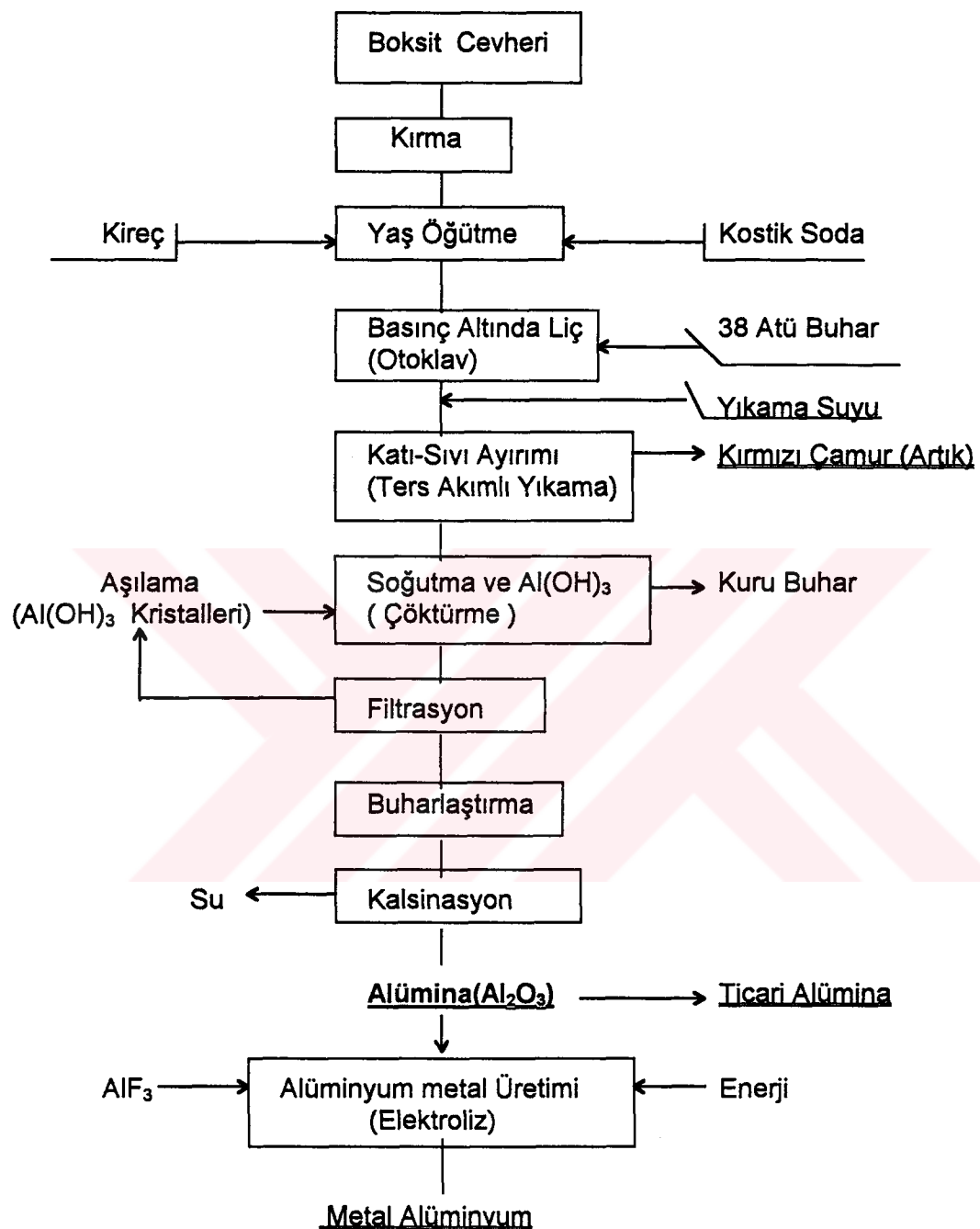
Çizelge 2.5 : Tek ve çok kristalli alfa alüminanın özellikleri [22].

Uygulama Alanları :

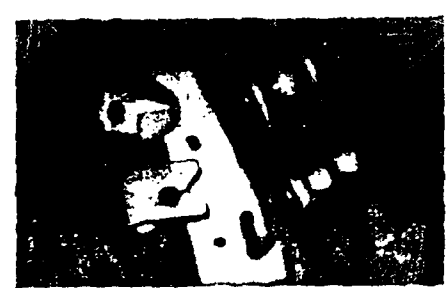
Porz (gözenekli) olmayan alümina yüksek sertliği ve aşınmaya karşı direnci nedeniyle, iplik meziklerinde, sprey nozullarında kullanılmakta, ayrıca bilyali değirmenlerde öğütme bilyası ve laboratuar malzemesi olarak kullanılmaktadır. Yoğun alümina , buji üretiminde de kullanılmaktadır. Poroziteye ve yüksek yüzey alanına sahip γ -alümina ve yine ince taneli yüksek yüzey alanına sahip saf alüminyum hidroksitler ise özellikle gaz ve sıvılar için adsorbant , nem alıcılar ve katalizör olarak kullanılmaktadır.



Şekil 2.10: Bayer Prosesi boksit ürünler [16, 21].



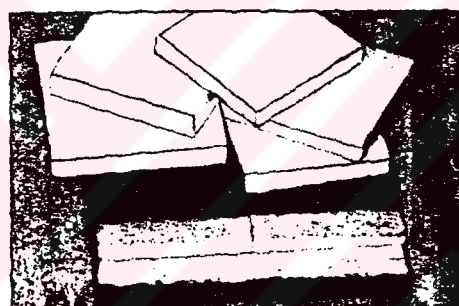
Şekil 2.9: Bayer Prosesi akım şeması (Seydişehir Alüminyum İşletmeleri) [20].



a) Tekstil iplik kılavuzları



b) Pompa, salmastra ve vana contaları



c) Balistik amaçlı kullanılan alümina zırh seramikleri

Şekil 2.11: İleri teknoloji yöntemleri kullanılarak üretilmiş bazı alümina esaslı yapısal uygulaması olan seramikler [22].

Diger bazı oksit seramikler :

Alümina (Al_2O_3) dışında diğer oksit seramikler; MgO , BaO , ZrO_2 , Y_2O_3 vb..

2.2.5. Oksit olmayan seramikler

İleri teknoloji seramiklerinin oksit harici önemli bir bölümünü de bor karbür, siliyum nitrür, sialon, silisyum karbür gibi oksit olmayan seramikler teşkil etmektedir.

2.3. İleri Teknoloji Seramikleri Üretim Aşamaları

Yüksek teknoloji seramik ve kompozit malzemelerin üretim aşamaları basit olarak şu şekilde sıralanabilir [23].

1. Toz sentez ve hazırlama
2. Şekil verme (yaş, yarı yaş veya kuru)
3. Sinterleme
4. Test, analiz ve kontrol

İleri teknoloji seramik tozları son derece ince boyutlarda olması arzu edilir. Seramik tozlarının özellikleri, seramik üretiminin en kritik faktörlerinden birisidir. Mükemmel tozun saf, homojen, boyutunun ise mikronun altında ve dar bir dağılım aralığına sahip olması gereklidir. Bu nitelikteki tozlarla yapısal ve elektronik seramikler kusursuz olarak üretilebilir. Üstün kalitedeki ürünler için araştırmacılar çeşitli prosesler üzerine çalışmaktadır. Bu prosesler arasında, düşük sıcaklık yöntemleri (bunlar kimyasal ve kolloidal yaklaşımına dayanır) ve yüksek sıcaklık yöntemleri (buhar fazı veya egzotermik reaksiyon içeren) mevcuttur. Kolloidal veya kimyasal yöntemler, düşük sıcaklıkta toz üretimine imkan verir. Bu yöntemler Sol-Jel yönteminden katıların uçurularak parçalanmasına kadar değişir.

Yüksek teknoloji seramigi olacak kalitede hazırlanan tozlar daha sonra yaş, yarı yaş veya kuru olarak şekillendirilirler. Bu şekillendirme yöntemleri şunlardır;

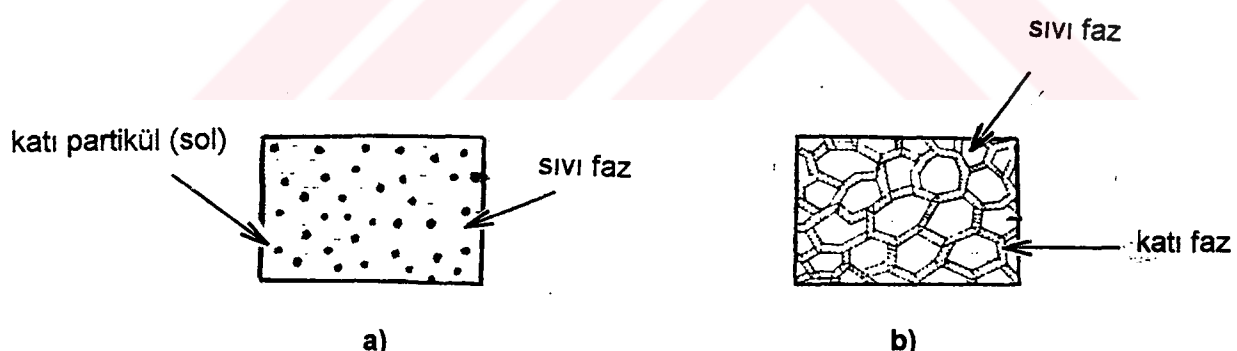
- Soğuk izostatik presleme (CIP)
- Sıcak izostatik presleme (HIP)
- Enjeksiyon kalıplama
- Ekstrüzyon presleme
- Slip döküm
- Sol-jel teknikleri

Yaş şekil verilen malzemeler daha sonra yüksek sıcaklıklarda sinterlenir. Sinterleme işleminden sonra bir dizi deneylerle iç yapı, yüzey ve mekanik özellikleri muhafaza edilir. En son işlem olarak da uygulamalı performans testine tabi tutularak verimleri ve kullanım ömrüleri tespit edilir.

BÖLÜM 3. SOL-JEL PROSESİ

Sol-jel prosesinin esası metal alkoksit ($M-OR$; $M: Al, Ti, Si, Zr$ vb., $R: Alkil grubu (CH₃, C₂H₅ vb.)$) çözeltileri veya metal tuzları ($Al_2(SO_4)_3$, $AlCl_3$, $FeCl_3$ vb.), nitratlar ($Ti(NO_3)_2$, $La_2(NO_3)_3$, $Na(NO_3)_2$ vb.), hidroksitler ($Al(OH)$, $Zr(OH)_4$ vb.) ve oksitler (SiO_2 , TiO_2 vb.) gibi inorganik bileşiklerin belirli oranlarda su ve asitle birleştirilerek bir solüsyon meydana getirilmesi ve bu solüsyonun belirli sıcaklıkta ($90^{\circ}C$ civarında) karıştırılması neticesinde solüsyon içerisinde birbirine izleyen bir dizi kimyasal reaksiyon (hidroliz, kondensasyon) ve taneciklerin sahip olduğu yüzey yüklerinin elektro kimyasal etkileşimleri ile bir ağ(network) meydana gelmesi (jelleşme) ve bu ağın gitgide büyüp (polimerleşme) sistem içerisindeki bütün noktalara ulaşarak komple bir yapı (Jel) meydana getirmesidir.

Sol(Solution) - Jel(Gelation) prosesi camlar, cam-seramikler fiberler, seramikler ve kompozitler gibi yüksek teknoloji malzemelerinin üretiminde, aynı zamanda bu üretimin en önemli safhasını oluşturan mikronaltı, çok saf ve homojen tozların elde edilmesinde ve elektrik, optik, kimyasal ve fiziksel dayanımın sağlanması gibi farklı amaçlı kaplama işlemlerinde uygulanan bir yöntemdir. Burada sol sözcüğü bir sıvı faz(sürekli faz) içerisinde dağılmış katı tanacıkları, jel ise katı faz ile sıvı faz arasındaki bir yapıyı (sürekli faz katı fazıdır) ifade eder (Şekil 3.1 a, b).



Şekil 3.1: a) Kolloidal sistem , b) Jel yapı [13].

Sol-jel ile ilgili çalışmalar ilk defa geçen yüzyılın sonlarında "su içerisindeki silis asidi esterlerinin alkol ile dekompoze edilmesi ve böylece silisik asit jelinin elde edilmesi" konulu bir araştırma ile başladığı ileri sürülmektedir [24]. Daha sonra ilk kez 1939 yılında sol-jel kaplamalarla ilgili olarak patent başvurusu yapılmış [25]. Ve bunu takiben 60'lı yıllara kadar da oksit kaplama çalışmaları yapılmıştır. 1970'li yılların başında çok bileşenli

oksitlerin sol-jel ile sentezi çalışmalarından sonra sol-jel prosesi ile ilgili yayınlar hızla çoğalmıştır[26, 27]. Daha sonra "Jellerden Cam ve Cam Seramiklerin Elde Edilmesi (Glasses and Glass-Ceramics From Gels)" konulu sol-sel prosesi ile ilgili ilk toplantı 1981 yılında gerçekleştirilmiştir. Bundan sonra ise bu toplantı ve sempozyumlar uluslararası boyutlarda devam etmiştir. Halen bu proses ile ilgili araştırmalar devam etmektedir. Şu an yürütülmekte olan araştırma konuları şunlardır [28].:

- Moleküler seramik kompozitler
- Optik amaçlı lineer olmayan aktif sol-jeller
- Yapısal amaçlı seramiklerin mikroyapıları
- Sol-jel optikler
- Yapısal amaçlı seramiklerin UV ışın geçirgenliği
- Polimer network teorisi ve jelleşme
- Çok amaçlı nanokompozitler
- Mikro porozite ve moleküler dizayn
- Malzeme yapılarının düşük sıcaklıkda kararlılıklarını
- Sol-jel başlangıç malzemeleri kimyası

Sol-jel prosesinde kullanılan elementler periyodik cetvelin çoğunluğunu oluşturmaktadır. Bunlar aşağıdaki şekilde gösterilmiştir.

IA	IIA	IIIB	IVB	VB	VIIB	VIB	VIIIB	IB	IIIB	IIIA	IVA	VA	VIIA	VIA	VIIA
H															He
Li	Ba														
Na	Mg														
K	Ca	Se	Tl	V	Cp	Mn	Fg	Co	Ni	Cu	Zn	Ga	Ge	As	Se
Rb	Sr	Y	Zr	Mo	Mo	Tc	Ru	Rh	Pd	Ag	Cd	In	Sp	Sb	Te
Cs	Ba	La	Hf	Ta	W	Re	Os	Ir	Pt	Au	Hg	Tl	Pb	Bi	Po
Fr	Ra	Ac	Ungi	Ungi											
Ce	Pr	Nd	Pm	Sm	Eu	Gd	Tb	Dy	Ho	Er	Tm	Yb	Lu		
Tb	Pa	U	Np	Pu	Am	Cm	Bk	Cf	Esr	Fm	Md	No	Lr		

Şekil 3.2: Sol-jel prosesinde kullanılan elementler [29].

Ayrıca sol-jel prosesi inorganik kimya, organik kimya, kolloid kimyası, fiziksel kimya, polimer kimyası ve mühendislik kimyası olarak çok geniş bir kimyasal alan bilgisini kapsamaktadır.

3.1. Sol-jel Tekniğinin Esasları

Sol-jel prosesini solüsyon halinden jel'e geçişteki kimyasal reaksiyonlar, elektrokimyasal etkileşimler ve kullanılan başlangıç malzemeleri gözönüne alınarak iki grubta incelemek mümkündür.

- I) Kolloidal jelleşmenin meydana geldiği sol-jel prosesleri
- II) Polimerik jelleşmenin meydana geldiği sol-jel prosesleri

I) Kolloidal jelleşmenin meydana geldiği sol-jel prosesleri :

Başlangıç malzemesi olarak genelde inorganik tuzlar ($\text{Al}_2(\text{SO}_4)_3$, AlCl_3 , FeCl_2 vb.), nitratlar ($\text{TiO}(\text{NO}_3)_2$, $\text{Na}(\text{NO}_3)_2$, $\text{La}(\text{NO}_3)_3 \cdot 6\text{H}_2\text{O}$ vb.), hidroksitler (AlO(OH) , Zr(OH)_4 vb.) ve oksitler (SiO_2 , TiO_2 vb.) veya hatta çok bileşenli sistemler ($\text{CaO} - \text{Al}_2\text{O}_3 - \text{SiO}_2$, $\text{SiO}_2 - \text{TiO}_2$ vb.) gibi alkoksit olmayan kimyasal malzemeler kullanılır [30]. Kolloidal sistemler partikül boyutu 500 nm'den küçük tozları ve bu tozların içerisinde disperse olduğu sıvı (katı ya da gaz da olabilir.) bir fazdan meydana gelen sistemlerdir (Bkz. Şekil 3.1 a). Kolloidal disperse sistemlerde sıvı faz içerisinde bulunan partiküler elektrostatik bir yüze sahiptirler, bu yük partikülün sahip olduğu kristalin yapıdan veya sıvı (su) içerisinde iyonize halde bulunan OH^- ve H^+ iyonlarının partikül yüzeyine adsorbe olmasından kaynaklanmaktadır. Aynı tür yüzey yüküne sahip partiküler birbirlerini iterek sıvı faz içerisinde çökmeden disperse halde bulunabilmektedir (Şekil 3.4. a). Burada stabil bir dispersiyon yani sol(katı partikül)lerin peptizasyonunu sağlamak için sistemin sahip olduğu zeta potansiyel değerine bakmak gereklidir. Eğer negatif bir zetapotansiyel değerine sahip bir sistem ise buna uygun olarak, solüsyona negatifliği artıracak yani ortama OH^- iyonları verecek elektrolitler katmak gereklidir. Sistemin sahip olduğu yük eğer pozitif bir zeta potansiyel değerini gösteriyor ise o zaman bu değeri artıracak yönde ortama H^+ iyonları verecek asidik elektrolitler katmak gerekmektedir. Ayrıca sistemin sahip olduğu zeta potansiyel değerinin sıfır olduğu bir nokta (Isoelectric point) vardır ki eğer pH değeri zetapotansiyelin sıfır olduğu bu noktaya ayarlanırsa sistem içerisindeki partiküler birleşerek çökmeye başlar, fakat bu oluşması istenmeyen bir durumdur. Sol-Jel prosesini etkileyen diğer hususlar su miktarı (Polimerik jeller için çok önemlidir), asit cinsi

(Çizelge 3.1), asit miktarı(Çizelge 3.2) ve proses sıcaklığıdır. Sıcaklığın jel oluşumuna etkisini Yoldaş(1975) incelemiştir [31]. Alüminyum hidroksitler için 80 °C'den yüksek sıcaklıklarda çalışıldığında amorf AlO(OH) kristal AlO(OH)'e dönüşmeye ve yaşandırma ile böhmıt yapısı görülmektedir. Eğer düşük sıcaklıklarda (< 80 °C) çalışılırsa yaşandırılan jel bayerite($\text{Al}(\text{OH})_3$)'e dönüşmektedir.

Kolloidal jel oluşumunda bir diğer önemli husus da her oksit veya hidroksitlerin (aynı katyona sahip olsalar dahi) sol oluşturmamasıdır. Örneğin alüminyum nitratlarının hidrolizi ile elde edilen böhmıt sol oluştururken bayerit sol oluşturmaz [32].

Prosesin asitle muamele edilip , belirli bir sıcaklık da karıştırılarak peptizasyonunun yani partiküllerin solüsyon içerisinde dispersyonunun sağlanması esnasında ısı etkisiyle sistemden belirli miktarda su uzaklaşır. Bu arada elektrostatik olarak aslında birbirlerini itmekte olan yüklü partiküller ortamdan suyun uzaklaşmasıyla birbirlerine yaklaşırlar. Ve gitgide partiküller arası mesafenin daralmasıyla partiküller birbirine dezmeye başlar ve bir ağ (Şekil 3.6 c) meydana gelir. Bu andan itibaren solden jelle geçiş yani jelleşme başlamış olmaktadır. Bu ağ taneciklerin birbirine temas etmesi ve sistem hacminin de daralmasıyla(suyun uzaklaşmasından dolayı) bütün bir sistemi kaplamakta ve böylece sistem tamamen jel haline gelmektedir (Şekil 3.7b).

Sol'den jel'e geçişde suyun uzaklaştırılması yönteminden başka Dell'e göre iki ayrı yöntem daha vardır. Bunlar dengeyi sağlayan anyonun nötralizasyonu ve asitin uzaklaştırılmasıdır [41].

II) Polimerik jelleşmenin meydana geldiği sol-jel prosesleri :

Başlangıç malzemesi olarak genellikle metal alkoksitler (Alüminyumtrisekbütoksit ($\text{C}_{12}\text{H}_{24}\text{AlO}_3$), Metilpolisilaxon ($\text{CH}_3\text{Si}(\text{OR})_3$), Tetraetilortosilikat ($\text{Si}(\text{OC}_2\text{H}_5)_4$) vb.) gibi reaktif malzemeler kullanılır. Sol-jel çalışmalarının büyük çoğunluğu metal alkoksitler kullanılarak yapılmıştır. Alkoksitlerin en fazla kullanılmasını sağlayan sebepler;

- Alkoksitler değişik tür çözücülerde ve özellikle alkollerde çözünebilmesi
- Sistemden kolayca ayrılabilen uçucu bileşikler olması
- Meydana gelen reaksiyonlar (hidroliz ve kondenzasyon)ın kontrol edilebilir olması
- Hidroliz veya ısıtma ile oksitlenebilir olmasıdır.

Polimerik ielleşme prosesini üç temel adımda ifade etmek mümkündür [33].

1) Başlangıç Maddeleri:

M(OR)_n : Metal alkoksitlerin genel formülü

M: Metal (Al, Ti, Si, Zr, Pb.)

n: M'nin valans değeri

R: Alkil grupu (CH_3 , C_2H_5 , C_3H_7 vb.)

Başlangıç malzemesi olarak n valans değerine sahip M metalinden oluşan ve genel formülü $M(OR)_n$, olan metal alkoksitler kullanılmaktadır. Burada R C_kH_{2k+1} genel formülüne sahip alkil grubunu ifade etmektedir ve bunlar alkol ($R(OH)$)lerin bir türevi olarak kabul edilebilir.

Metal alkoksitlerin üretiminde iki yöntem kullanılır:

a) Metal ve alkol kullanarak



b) Metal tuzu ve lityum alkoksit kullanarak



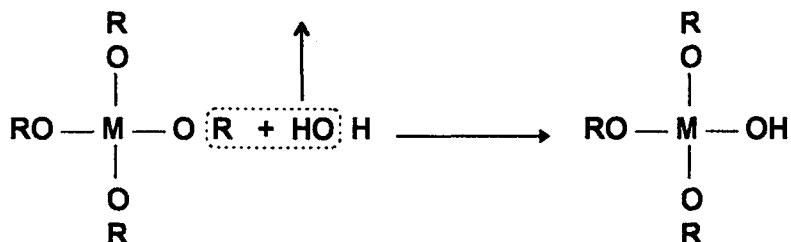
Sol-jel prosesinde kullanılacak metal alkoksitler su / metal alkoksit molar oranı ayarlanarak sıcak su içerisinde konur ve sürekli bir şekilde karıştırılır. Bu sırada ilk adım olarak hidroliz reaksiyonu başlar.

2) Hidroliz Reaksiyonu :

Bol sıcak su içerisindeki metal alkoksitler karıştırma esnasında aşağıda verilen hidroliz reaksiyonunu gerçekleştirirler



Bu reaksiyonu daha açık olarak ifade edersek :



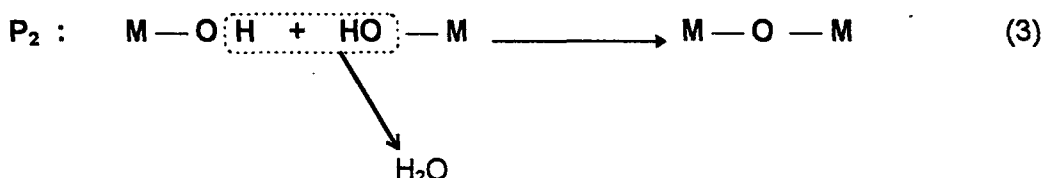
Metal alkoksitteki alkiller sudaki OH iyonları ile bağ kurup ısı etkisiyle ortamdan uzaklaşır ve bunun yerine metal hidroksit ($M — OH$) bağı teşkil eder. Böylece polimerleşmeyi sağlayacak olan monomerler meydana gelir (Şekil 3.3). Daha sonra bu monomerler kondensasyon reaksiyonları ile polimerleşerek jel oluşumunu sağlarlar.

Hidroliz reaksiyonunu etkileyen önemli parametreler su miktarı, solvent cinsi, sıcaklık ve pH değerleridir. Örneğin alüminyum alkoksitler için optimum Su/Alkoksit molar oranı 100, proses sıcaklığı ($> 80^{\circ}\text{C}$) olarak tespit edilmiştir [31]. Ayrıca yine yapılan çalışmalar asit cinsinin pH değerinden daha önemli olduğunu göstermiştir [31].

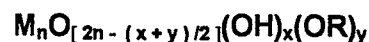
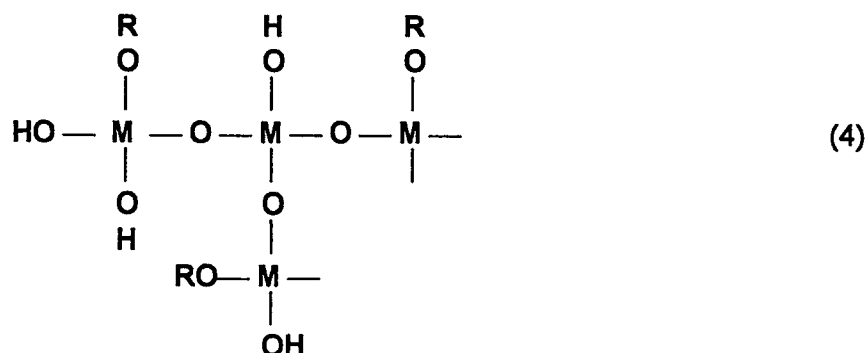
Hidroliz reaksiyon hızı sol ve jel özelliklerini meydana getiren en önemli adımlardan birisidir [33]. Ve bu reaksiyonların hemen ardından kondensasyon reaksiyonları başlamaktadır.

3) Kondensasyon Reaksiyonları :

Kondensasyon işlemi hidrolizden ayrı düşünülemez. Çünkü hidroliz reaksiyonu ile oluşan yüksek aktif özellikteki monomerlerin kondensasyon reaksiyonları (2, 3) ile polimer hale gelmesi ile hidroliz reaksiyonu (1) oluşum hızı da dengelenmektedir [33]. Kondensasyon reaksiyonları ile polimerlerin oluşumu:

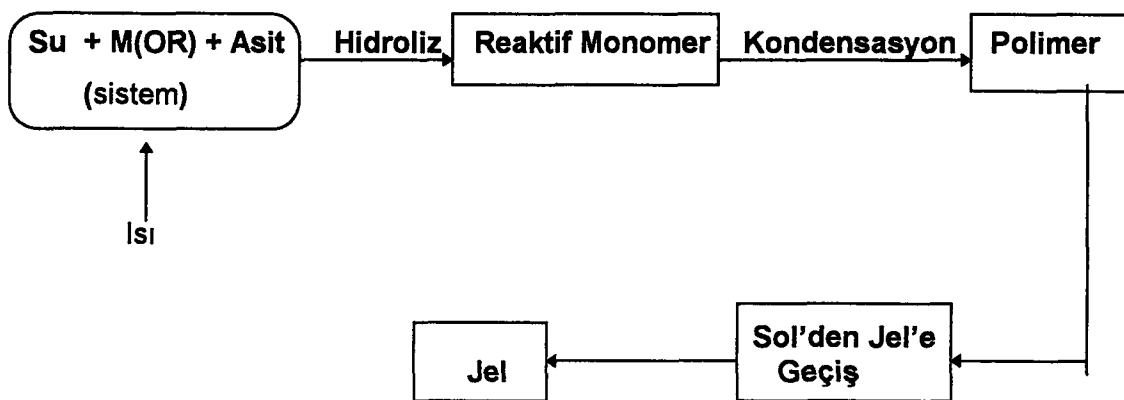


Oluşan bu polimerlerin gelişmesiyle ürün (Jel) elde edilmesi :



Kondensasyon reaksiyonlarının (2,3 ve 4) oluşumunda en önemli husus bu reaksiyonlar başlamadan önce sistemin çok iyi peptize edilmesidir. Solüsyon içerisinde homojen ve iyi bir peptizasyonun sağlanması yani sollerin biraraya gelerek yiğişmalarının önlenmesi belirli bazı parametrelere bağlıdır [31]. Bunların başında asit cinsi ve asit miktarı gelmektedir (Çizelge 3.1 ve 3.4). Örneğin IO_4^- ve F^- gibi asit anyonları peptizasyon için gerekli özelliklere sahip olmamasına karşın NO_3^- ve ClO_4^- anyonları oluşan yapıyı kırıp peptizasyonu sağlama özelliğine sahiptir. Çizelge 3.2'den de görüleceği gibi asit miktarı asit/alkoksit molar oranı 0.03-0.1 değerleri arasında olduğunda iyi disperse olmuş berrak bir solüsyon elde etmek mümkündür. Diğer parametreler su miktarı ve ısıl işlem sıcaklığıdır. Yoldaş (31) alüminyum alkoksitler üzerine yaptığı çalışmada su/alkoksit molar oranı optimum 100 olarak tesbit etmiş ve aynı zamanda işlem sıcaklığının ve karıştırma işleminin de çok önemli olduğunu ortaya koymustur. Örneğin alüminyum alkoksitler için 80°C 'nin altında yapılan çalışmada peptizasyon aniden düşmekte, buna karşın 80°C 'den yüksek sıcaklıklarda ve kuvvetli karıştırma ile birlikte peptizasyon hızlanmaktadır.

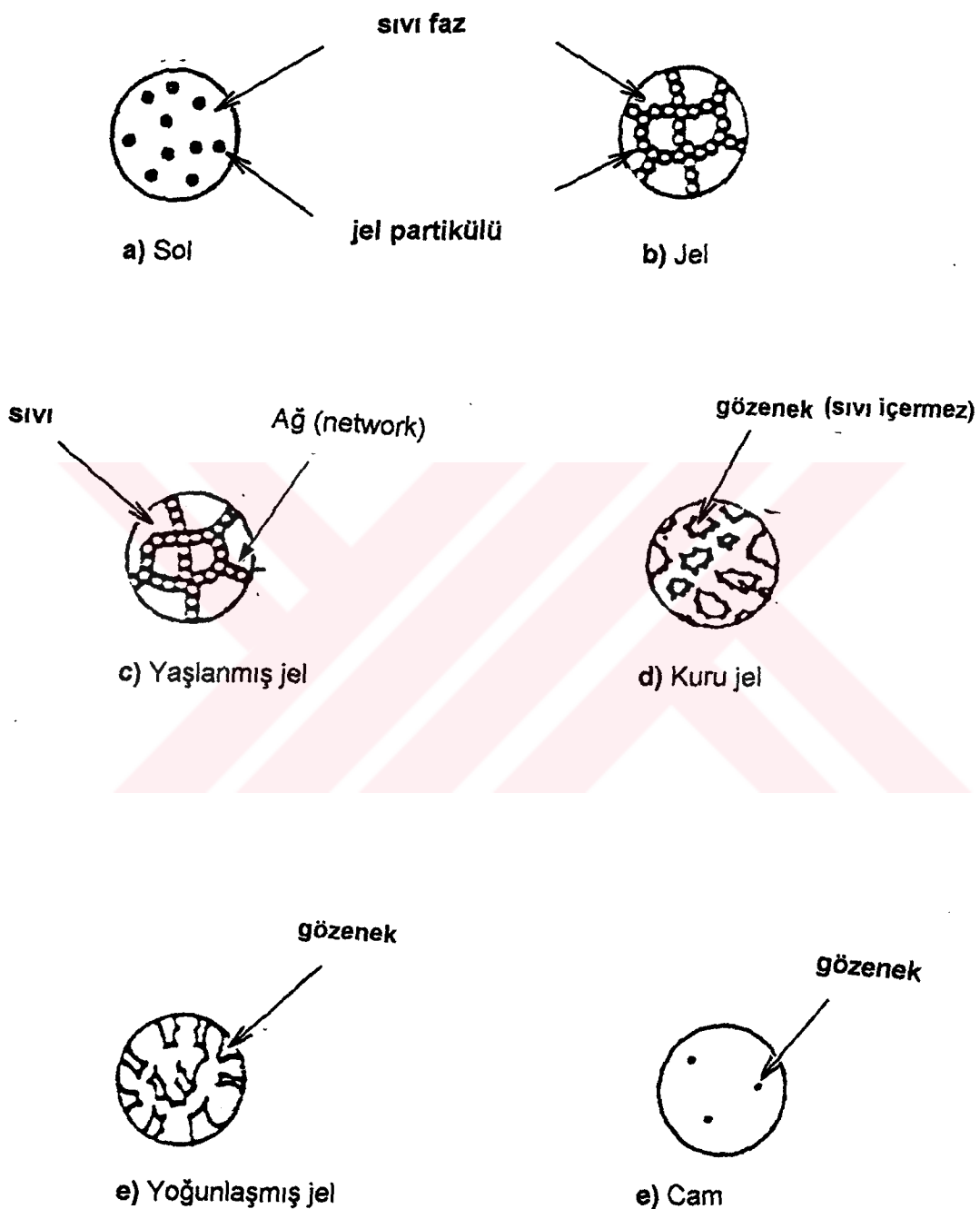
Aşağıda polimerik jelleşmenin meydana geldiği sol-jel prosesinin şematik resmi görülmektedir.



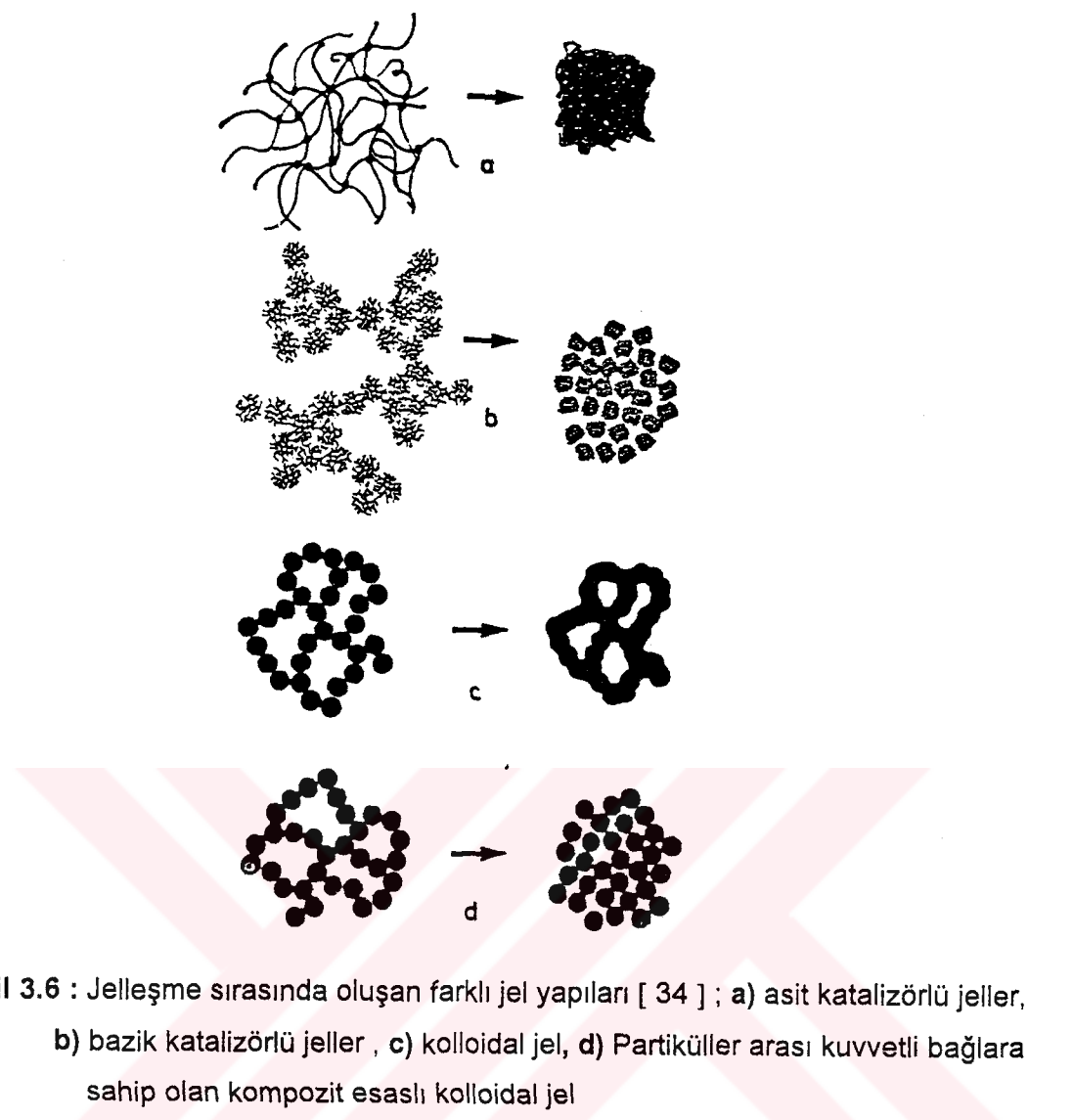
Şekil 3.3 : Sol-jel prosesi (Polimerik jelleşme)



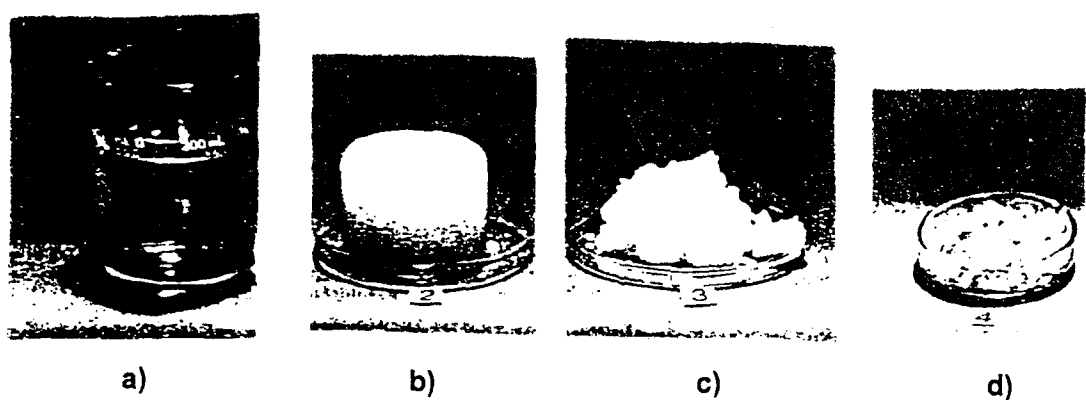
Şekil 3.4 : a) İyi peptize olmuş sistem , b) İyi peptize olmamış sistem



Şekil 3.5 : Sol-jel prosesinde oluşan yapı değişimleri [28].



Şekil 3.6 : Jelleşme sırasında oluşan farklı jel yapıları [34] ; a) asit katalizörlü jeller, b) bazik katalizörlü jeller , c) koloidal jel, d) Partiküller arası kuvvetli bağılara sahip olan kompozit esashı koloidal jel



Şekil 3.7 : Sol-jel prosesindeki yapısal değişim safhalarının fotoğraf görüntüleri [34]
a) Sol, b) Jel, c) Yaşlanmış jel d) Kuru jel

Asit	Formül	7 gün 95°C'de tutulan karışımın durumu
Nitrik	HNO ₃	Berrak
Hidroklorik	HCl	"
Perklorik	HClO ₄	"
Hidroflorik	HF	Bulanık
Sülfürik	H ₂ SO ₄	"
Fosforik	H ₃ PO ₄	"
Borik	H ₃ BO ₃	"
Asetik	CH ₃ COOH	Berrak
Triklorasetik	CCl ₃ COOH	Yarıberrak
Monoklorasetik	CH ₂ ClCOOH	"
Formik	HCOOH	Bulanık
Sitrik	H ₃ C ₆ H ₅ O ₇ - H ₂ O	"
Karbolik	C ₆ H ₅ OH	"
Pitalik	C ₈ H ₄ O ₃	"

Çizelge 3.1 : Alüminyum hidroksitin farklı asitlerde peptizasyonu [31].

Numune	Mol _{Asit} /Mol _{Hidroksit}	4 gün 95 °C'de tutulan durumu
1	0.0154	Bulanık
2	0.0231	"
3	0.0384	Berrak
4	0.0467	"
5	0.0537	"
6	0.0691	"
7	0.1075	"
8	0.154	"
9	0.207	"
10	0.246	"

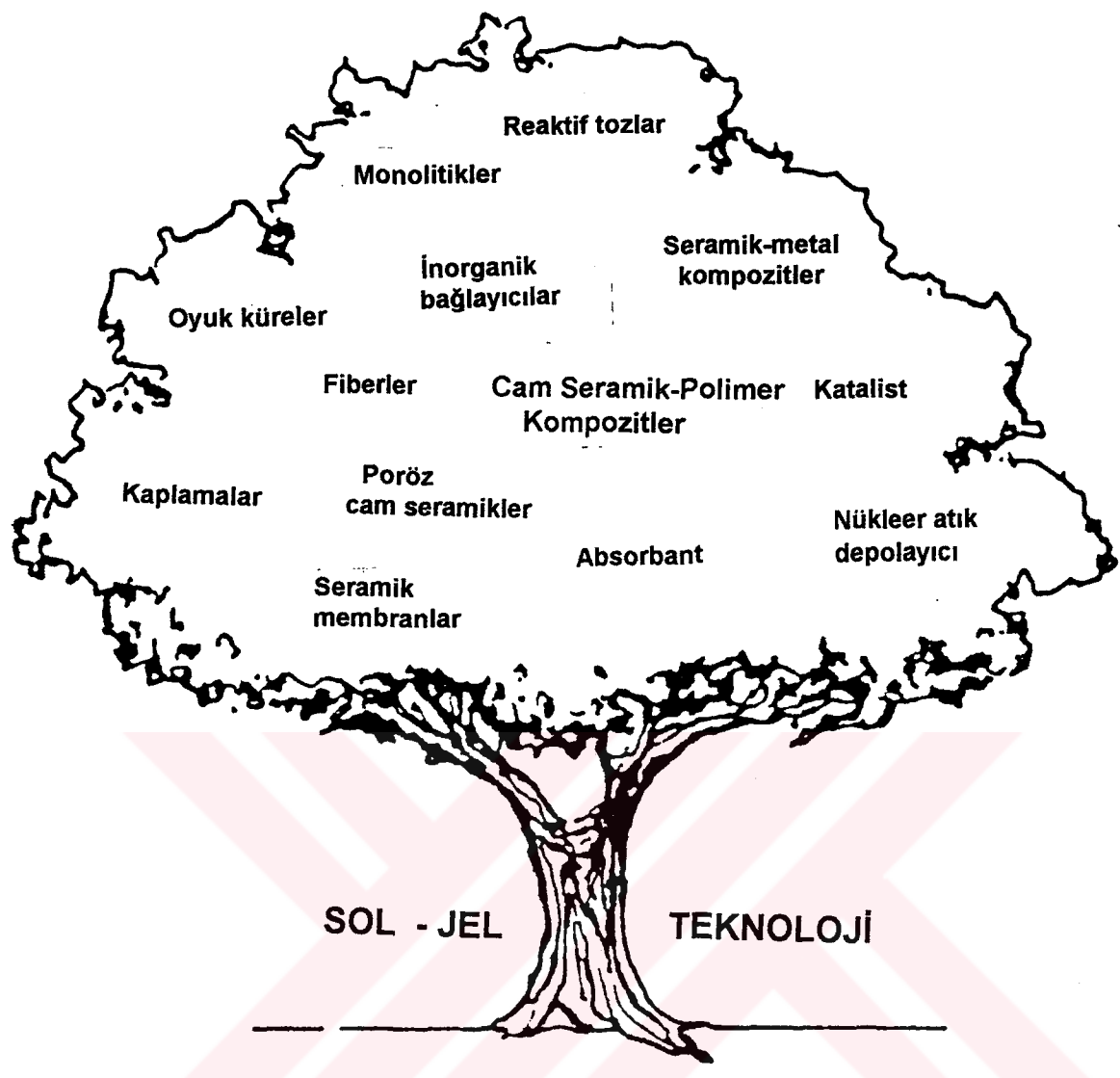
Çizelge 3.2 . Asit miktarının sol oluşumuna etkisi [31].

3.2. Sol - Jel Tekniğinin Avantajları

- Sol-jel teknijinin avantajları şu şekilde özetlenebilir [30] :
- Kullanılan başlangıç malzemelerinin sistem içerisinde homojen dağılımını sağlar.
 - İleri teknoloji malzemelerinin üretiminde kullanılan ve öğütme ile çok zor elde edilebilecek çok ince ($< 1\mu\text{m}$), saf ve homojen tozların elde edilmesi mümkündür.
 - Kimyasal kontrol reaksiyonlarının kullanılması mümkündür.
 - Solutyon içerisinde ön inorganik ağıñ(network) şekillenmesini sağlar
 - Kaplamalar için istenen oranda uygun viskozite elde edilmesini sağlar
 - Düşük sıcaklık prosesi olmasından dolayı yüksek kristalizasyon hızını engelleyerek yeni cam kompozitlerin hazırlanmasını sağlar.
 - Şekil olarak Kompleks yapıda ürünlerin elde edilmesi mümkündür
 - Ayrıca yine düşük sıcaklık prosesi olması nedeniyle enerji tasarrufu sağlar

3.3. Sol-Jel Prosesinin Uygulama Alanları

- Aşınmaya dayanıklı kaplamalar
- Optik amaçlı kaplamalar (anti reflektif TiO_2 - SiO_2 , lenslerde vb uygulamalarda)
- Fiber optik malzeme üretiminde (Al_2O_3 - B_2O_3 - SiO_2)
- Yüksek mukavemetli fiber üretiminde (Na_2O - SiO_2 - ZrO_2 vb.)
- Elektronik ve manyetik malzemelerin üretimi (V_2O_5 , WO_3 , Fe_2O_3)
- Katalizör taşıyıcı amaçlı SiO_2 , TiO_2 , Al_2O_3 kaplamalarda
- Küresel şekilli ve dar boyut aralığında , düşük sıcaklıkta sinterlenebilen PbTiO_3 ,
 ZnO , $3\text{Al}_2\text{O}_3 \cdot 2\text{SiO}_2$ (mullit), Kordierit vb. tozlarının üretiminde
- Kompleksi ve şekilli malzemelerin slip-casting yöntemiyle üretiminde
 ve daha birçok alanda sol - jel prosesi uygulamalarını görmek mümkündür (**Şekil 3.8**)



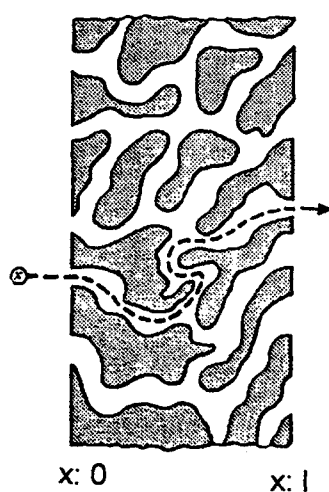
Şekil 3.8 . Sol-Jel prosesi uygulama alanları [29]

BÖLÜM 4. MEMBRANLAR VE MEMBRAN AYIRIM PROSESLERİ

4.1. Ayırım prosesinin Matematiksel İfadesi ve Por Transport Modeli

Bir membran, statik yapıda ve por çapı şekilde modelleme olarak gösterilen “⊗” molekülünün boyutlarından daha büyük ise transport işlemi membranın sahip olduğu fiziksel ve kimyasal yapıdan fazla etkilenmeden gerçekleşmektedir. Fakat bununla birlikte por içerisinde akışkan fazına uygun olarak çevresel engeller meydana gelmekte ve bu ortamda gerçekleşen transport işlemi konsantrasyon, basınç veya elektriksel potansiyel miktarına bağlı olarak izah edilmektedir [35].

Şekil 4.1 en fazla kullanılan membran yapısı olan düzensiz (irregular) por yapısını göstermektedir. Söz konusu şekilde görülen “⊗” molekülü katettiği düzensiz yol faktörü (τ)'ne bağlı olarak membran kalınlığından daha uzun bir yol takip edecektir. Ayrıca bu molekül membranın porozite hacmi (ϵ) ve boyutları içerisinde girmekte zorlanacaktır. Basınç etkisinin sözkonusu olmadığı yerde serbest bir molekül, por çapının molekül boyutuna göre daha büyük olmasına bağlı olarak membran içerisinde difüze olarak sistemden geçecektir.



Şekil 4.1 : Poroz bir membranda bir molekülün difüzyonu [35]

Permabilite (geçirgenlik) [35, 36] :

1) Basınç etkisi olmadığı zaman :

$$P_s = D^L \cdot \varepsilon / \tau$$

P_s : Permabilite

D^L Akışkan faza bağlı difüzyon katsayısı

ε : Porozite

τ : Yol düzensizlik faktörü

2) Basınç etkisi altında :

a) sıvılarda:

$$J = n \cdot \rho \cdot \pi \cdot r^2 / 8 \cdot \mu \cdot l \cdot (P - P_i) \quad \text{"Düzenli por yapısına sahip membranlar"}$$

J : Permabilite

r : Por yarıçapı

n : Birim alanda bulunan üniform por sayısı

ρ : Akışkan yoğunluğu

μ : Akışkanın viskozitesi

l : Membran kalınlığı

P_o : Membrana giren akışkanın basıncı

P_i : Membrandan çıkan akışkanın basıncı

$$J = K \cdot (P_o - P) / \mu \cdot l \quad \text{"Kompleks por yapısına sahip membranlar"}$$

($K = \varepsilon \cdot r^2 / 8 \cdot \mu$) K: Viskoziteye bağlı katsayı

b) gazlarda :

$$\text{gaz akımı (mol) / akım geçen por alanı} = G / (2\pi \cdot R \cdot M \cdot T) \cdot (P_o - P) / l$$

G: Por geometrisine bağlı faktör

M: Gaz molekül ağırlığı

T: Kelvin

R: Sabit sayı

3) Elektrokimyasal potansiyel güç sözkonusu olduğunda:

$$\mu_e / \mu = (1 - 8\beta Z (1-G)F / K_r)^{-1}$$

μ : Membrana giren akışkanın viskozitesi

μ_a : Kılcal porlar içine girmiş akışkanın viskozitesi

β : Akışkanın elektrolitik özelliklerine bağlı parametre

Z : Zeta potansiyele bağlı boyutsuz değer

r : Por yarıçapı

K : Debye-Hückel parametresi

G : Porun sahip olduğu elektrostatik potansiyelin zeta potansiyele oranı

F : Zeta potansiyele ve ince kapiler miktarına bağlı faktör

$$Z = e \cdot z / k \cdot T$$

$$\beta = \zeta^2 \cdot K^2 \cdot T^2 \cdot K^2 / 16\pi^2 \cdot \mu \cdot \lambda \cdot e^2$$

T : Sıcaklık

k : Boltzman sabiti

e : Proton yükü

λ : Elektrolitik iletkenlik

ζ : Dielektrik sabiti

4) Konsantrasyon miktarı, pH ve İyonik etkenler sözkonusu ise :

$$J = \Delta p / \mu \cdot (R_m + R_c + R_{cp})$$

J : Permabilite

Δp : Uygulanan basınç farkı

μ : Akışkan viskozitesi

R_m : Membran direnci

R_c : Kek tabakasının direnci

R_{cp} : Zamana bağlı konsantrasyon direnci (ihmali edilebilir, $R_{cp} \ll R_c$)

$$R_m = 8 \cdot \tau \cdot l / f \cdot r^2$$

τ : Yol düzensizlik faktörü

l : Membran kalınlığı

f : Membran yüzeyindeki açık por alanı

r : Por yarı çapı

4.2. Temel Esaslar

H.Strahtman membranların yapısını ve ayırma proseslerindeki kullanımının daha iyi anlaşılabilmesi için iki ana grupta inceleme yapmıştır [2].

- 1) Fiziksel yapı ve fonksiyonel özelliklerine göre membranlar
 - 2) Ayırma işlemini gerçekleştiren kuvvetler ve akışkanlar.

4.2.1. Fiziksel yapı ve fonksiyonel özelliklerine göre membranlar

Membranları fiziksel yapı ve fonksiyonlarına göre beş gruba ayrılabilir. Bunlar:

- a) Mikroporoz yapıda olan membranlar
 - b) Homojen yapıda olan membranlar
 - c) Asimetrik yapıda olan membranlar
 - d) Elektriksel yüke sahip engeller
 - e) Selektif ayırım yapan sıvı filmi

4.2.1.1. Mikroporoz yapıda olan membranlar

Mikroporöz membranlar seramik, grafit, metaller, metal oksitler ve polimer gibi malzemelerden yapılabilir. Yapıları simetrik (membran por çapları farklı olmayan) veya asimetrik (por çapları bir kenardan diğer yöne artan) olabilir. Mikroporoz membranların por çapları 0,1 - 10 μm arasındadır. Mikro ve ultra filtrasyon (**Şekil 4.2**) proseslerinde ve aralarında belirli bir boyut farkı olan  kütleyelerin ayırt edilmesinde kullanılır.

4.2.1.2. Homojen yapıda olan membranlar

Homojen membranlar basınç, konsantrasyon ve elektriksel potensiyel güçlerinin etkisiyle, farklı moleküllerden meydana gelen bir karışımın ayırt edilmesinde kullanılan sıkı bir zar tabakasıdır. Moleküllerin membran fazı içerisinde farklı difüzyon hızlarına sahip olması ile ayırım işlemi gerçekleşir. Homojen membranlar polimerler, metaller veya metal alasımlarından zar şekillendirme tekniği ile hazırlanmaktadır. Permabiliteleri çok düşüktür. Homojen membranlar esas itibariyle aynı boyutta fakat farklı kimyasal özelliklere sahip komponentlerin reverse osmosis, gaz ve buhar ayırım prosesleri gibi sistemlerde kullanılmaktadır.

4.2.1.3. Asimetrik yapıda olan membranlar

Membranların çoğu belirli bileşenler için yüksek kütle transferi ve iyi mekanik özelliklerin arandığı asimetrik yapıdaki fizikal ayırm proseslerinde kullanılır. Bir asimetrik membran 100 - 200 μm kalınlığında yüksek poroziteye sahip bir altlık üzerinde çok ince ($0.1 - 10 \mu\text{m}$) bir tabakaya sahiptir. Asimetrik poröz yapı üzerinde bulunan bu ince tabaka gerçek manada selektif membranı oluşturur. Asimetrik membranlar basınç kuvvetinin etkin olduğu reverse osmosis, ultrafiltrasyon veya gaz filtrasyonu gibi yüksek kütle transferi hızı ve iyi mekanik stabilité istenen ayırm proseslerinde kullanılır. Mikroporöz altlık üzerine çok ince bir polimer filmi kaplanarak üretilir.

4.2.1.4. Elektriksel yükle sahip engeller

Elektriksel yükle sahip engeller iyon değişimi esasına dayanan membranlardır. Organik polimerlerden veya inorganik (zeolit, bentonit vb.) malzemelerden üretilir.

Katyon - değişimli (cation - exchange) membranlarda polimer matriks içerisinde negatif grublar yerleştirilmiştir. Anyon - değişimli (anion - exchange) membranlarda ise polimer matriks içerisinde pozitif yükle sahip grublar yerleştirilmiştir. Yakıt hücrelerinde, bataryalarda ve elektrodializlerde kullanılmaktadır.

4.2.1.5. Selektif ayırm yapan sıvı filmi

Sıvı membranların son zamanlarda özellikle endüstriyel atıklardaki organik solventlerin ve ağır metal iyonlarının selektif olarak ayırt edilmesi proseslerindeki kullanımı gittikçe artmaktadır. Sıvı membranların üretiminde iki teknik kullanılmaktadır. Birinci yöntemde selektif ayırm yapacak olan sıvı bariyer malzemesi ince bir film tabakası şeklinde bir emülsiyon içerisinde dengede tutularak sıvı membran meydana getirilir. İkinci yöntemde ise bir mikroporöz polimer yapı bir sıvı membran fazı ile doldurulması suretiyle sıvı membran elde edilmiş olur.

4.2.2. Membran ayırm proseslerinde etkin olan kuvvetler

Teknik ve ticari açıdan membran ayırm prosesleri ve uygulama alanlarında etkin olan başlıca üç önemli kuvvet söz konusudur. Bunlar ;

I) Hidrostatik basınç :

Eğer membranın hidrodinamik permabilitesi farklı komponentlere karşı farklı değerde olursa o zaman ayırt edilecek olan iki faz arasındaki oluşabilecek herhangi bir

hidrostatik basınç farklı kimyasal komponentlerin ayrılmasını ve akımın meydana gelmesini sağlar.

II) Konsantrasyon :

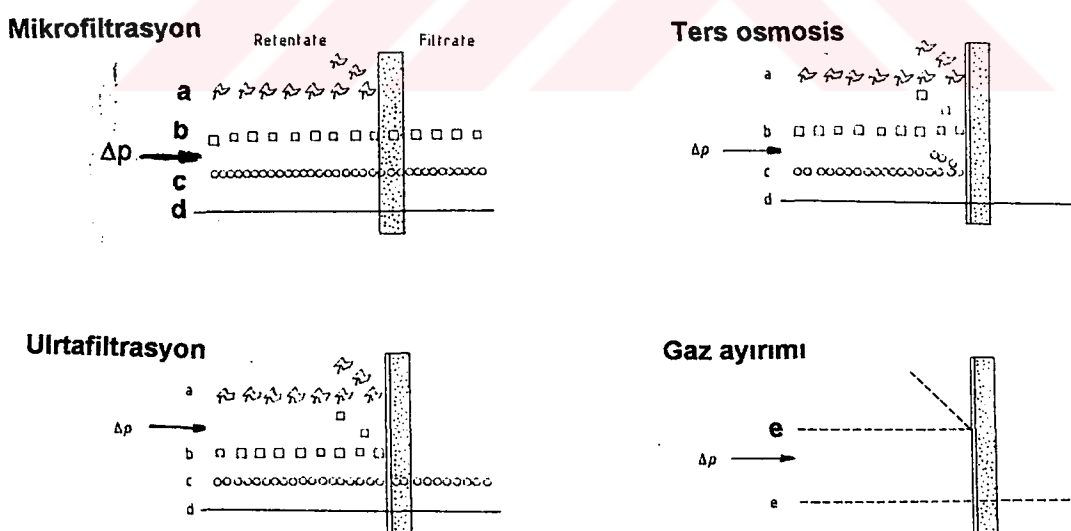
Eğer ayırt edilecek olan komponentlerin difüzyonu veya konsantrasyonları membran ortamında farklı değerlerde iseler o zaman fazlar içerisinde bulunan bu komponentlerin aralarındaki bir konsantrasyon farkı ayırım işleminin gerçekleşmesini sağlar.

III) Elektriksel potansiyel :

Eğer farklı yüze sahip partiküller membran ortamında farklı hareket ediyor ise o zaman ayırt edilecek olan iki faz arasında varolabilecek bir elektro potansiyel farkı bu partiküllerin (komponentlerin) ayırt edilmesini sağlar.

4.2.3. Membran ayırım prosesleri

Aşağıda Çizelge 4.1'de membran ayırım proseslerinin endüstriyel uygulama alanları, ayırım işleminde etkin olan kuvvetler ve kullanılan membran tipleri verilmiştir. Ayrıca yine Şekil 4.1'de ayırt edilecek olan materyal boyutları gözönüne alınarak ayırım proseslerinin şematik bir resmi görülmektedir.



Şekil 4.2 : Partikül boyutlarına göre sınıflandırılmış ayırm prosesleri [2]

- a) Partiküler (0.1-1 μm)
- b) Makromoleküler (veya 0.1 μm 'den küçük partiküler)
- c) Düşük molekül ağırlıklı maddeler , d) Solvent e) Gaz

Ayrılma Prosesi	Membran Tipi	Etkin Kuvvet	Ayrılma Metodu	Uygulama Alanları
Mikro filtrasyon	Simetrik , mikro poröz (0.1-10 μ m)	Hidrostatik basınç (10-100 KPa)	Por çapına bağlı eleme ve adsorbsiyon	Steril filtrasyon, arıtma
Ultra filtrasyon	Asimetrik, mikro poröz (1-10 nm)	Hidrostatik basınç (0.1-1 MPa)	Eleme mekanizması	makro molekülü solusyonları ayırmı
Ters osmosis	Asimetrik, skin-tip	Hidrostatik basınç (2-10 Mpa)	Sıvı difüzyon mekanizması	Soluşyondağı iyonların ayırmı
Dializ	Simetrik, mikro poröz (0.01-1 μ m)	Konsantrasyon	Boş- dolu katmanlarda difüzyon	Makro molekülü solusyonlardan tuzların ayırmı
Elektrodializ	Katyon-anyon değişim esasına dayalı membran	Elektro potansiyel	Partikülerin elektriksel yükleri	Iyonik solusyonların tuzsuzlaştırılması
Gaz ayırimı	Asimetrik, homojen polimer	Hidrostatik basınç ve konsantrasyon	Çözünürük, difüzyon	Gaz karışımının ayırmı
Ön buharlaştırma	Asimetrik,homojen polimer	Buhar basıncı	Çözünürük, difüzyon	Sıcak karışımının ayırmı
Bağlı transport	Taşıyıcı, sıvı membran	Konsantrasyon	Sıvıda çözünürük ve difüzyon	Iyonların selektif ayırmı ve gaz ayırmı
Membranla süzme	Simetrik, hidrofobik poröz	Buhar basıncı	Buhar basıncı farkı	Sulu solusyonların tuzsuzlaştırılması

Cizelge 4.1: Endüstriyel alanda uygulanan önemli membran ayırm prosesleri ve uygulama alanları [2]

BÖLÜM 5. DENEYSEL ÇALIŞMALAR

5.1. Malzemeler

- 1) Malzeme : Böhmit
Formül : AlO(OH)
Marka : Keith Ceramics Ltd. (İngiltere)
Mol ağ. : 60 gr/mol
- 2) Malzeme : PVA (Polivinilalkol)
Marka : Merck (Almanya)
Mol ağ. : 72000 gr/mol
- 3) Malzeme : Nitrikasit
Formül : HNO_3
Marka : Merck
Mol ağ. : 63 gr/mol
Molarite : 14.4 M
Yoğunluk : 1.4 g/cm³
- 4) Malzeme : Lantanyum nitrat
Formül : $\text{La}_2(\text{NO}_3)_3 \cdot 6\text{H}_2\text{O}$
Marka : Sigma (USA)
Mol ağ. : 433 gr/mol
- 5) Malzeme : Kaolin

Deneysel çalışmalarında kullanılan kaolinler şunlardır:

- Doğaköy kaolini (Kütahya yöresi)
- Dümbüldek kaolini (Kütahya yöresi)
- Mumcu kaolini (Balıkesir yöresi)
- Düvertepe kaolini (Balıkesir yöresi)

Kaolinlerin kimyasal analizleri aşağıdadır. Kütahya yöresine ait killerin kimyasal ve mineralojik analizleri TÜBİTAK-MAM malzeme bölümünün atomik adsorpsiyon,gravimetrik analiz ve X ışınları laboratuarlarında yapılmış olup diğer yöreye ait kaolinlerin kimyasal analizleri daha önce bu yörede MTA 'nın yürüttüğü çalışmalarдан alınmıştır [42].

%	<i>Doğaköy kaolini</i>	<i>Dümbüldek kaolini</i>	<i>Mumcu Kaolini</i>	<i>Düvertepe kaolini</i>
Al_2O_3	64.35	8.8	20.64	16.12
SiO_2	26.3	80	71.19	73.16
TiO_2	0.57	0.38	-	-
CaO	0.73	4.4	-	-
MgO	1.26	1.96	-	-
Fe_2O_3	1.36	0.31	0.10	0.73
Na_2O_3	0.22	0.06	-	-
K_2O	2.98	1.33	-	-
SO_3			-	0.60
A.Z	15.7	6	7.53	6.33

Çizelge 5.1: Kaolinlerin kimyasal analizleri

Toz halindeki kaolin numunelerin inert gaz (He, N_2) ortamında piknometre ile yoğunlukları, BET ile yüzey alanları (sadece altlık olarak kullanılanların) ölçülmüştür. Ayrıca yine toz halindeki kaolin numuneleri mili molar (%0.05 M) kalgon çözeltisi içerisinde ultrasonik cihazı ile 2 dakika disperse edildikten sonra sedigraf'da tane boyut dağılımı analizleri yapılmıştır (Şekil 5.5)

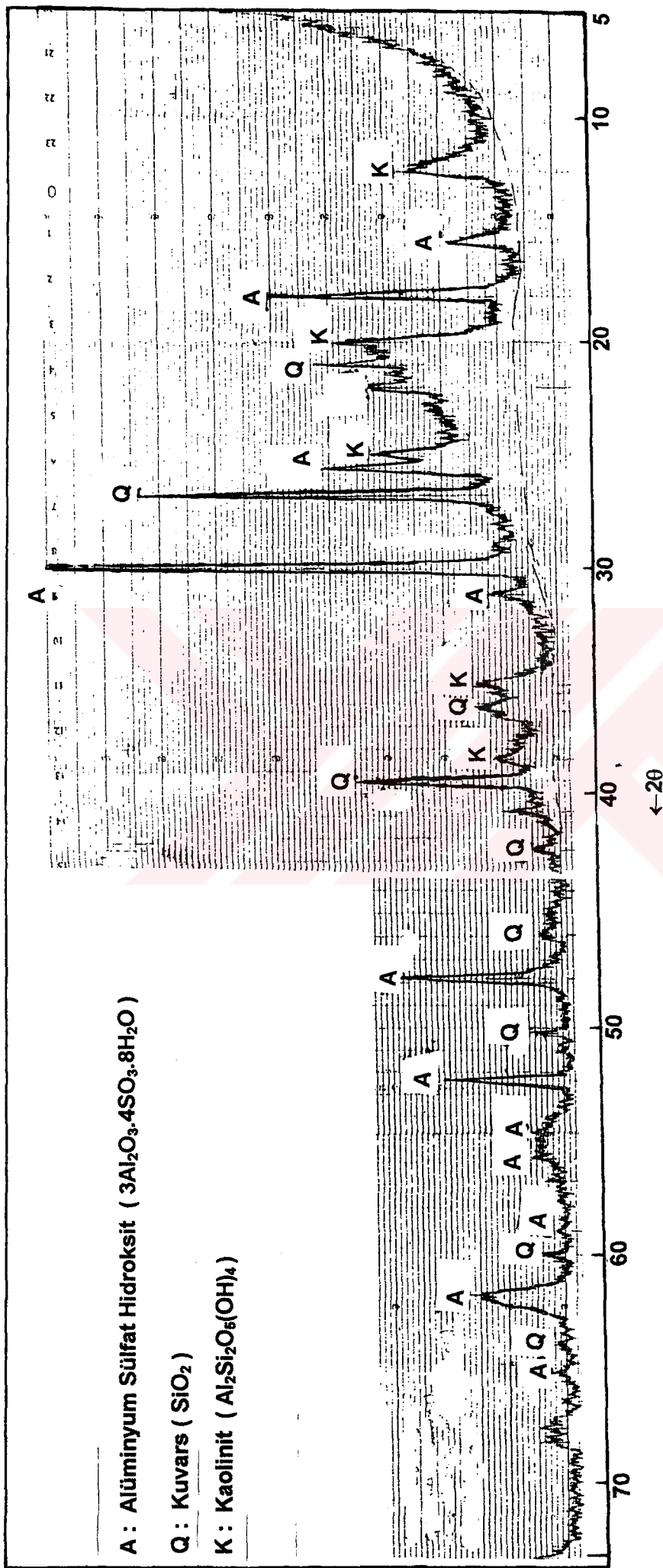
<i>Numune</i>	<i>Yoğunluk (gr/cm³)</i>
Doğaköy Kaolini	2.484
Dümbüldek Kaolini	2.699
Mumcu Kaolini	2.384
Düvertepe Kaolini	2.570

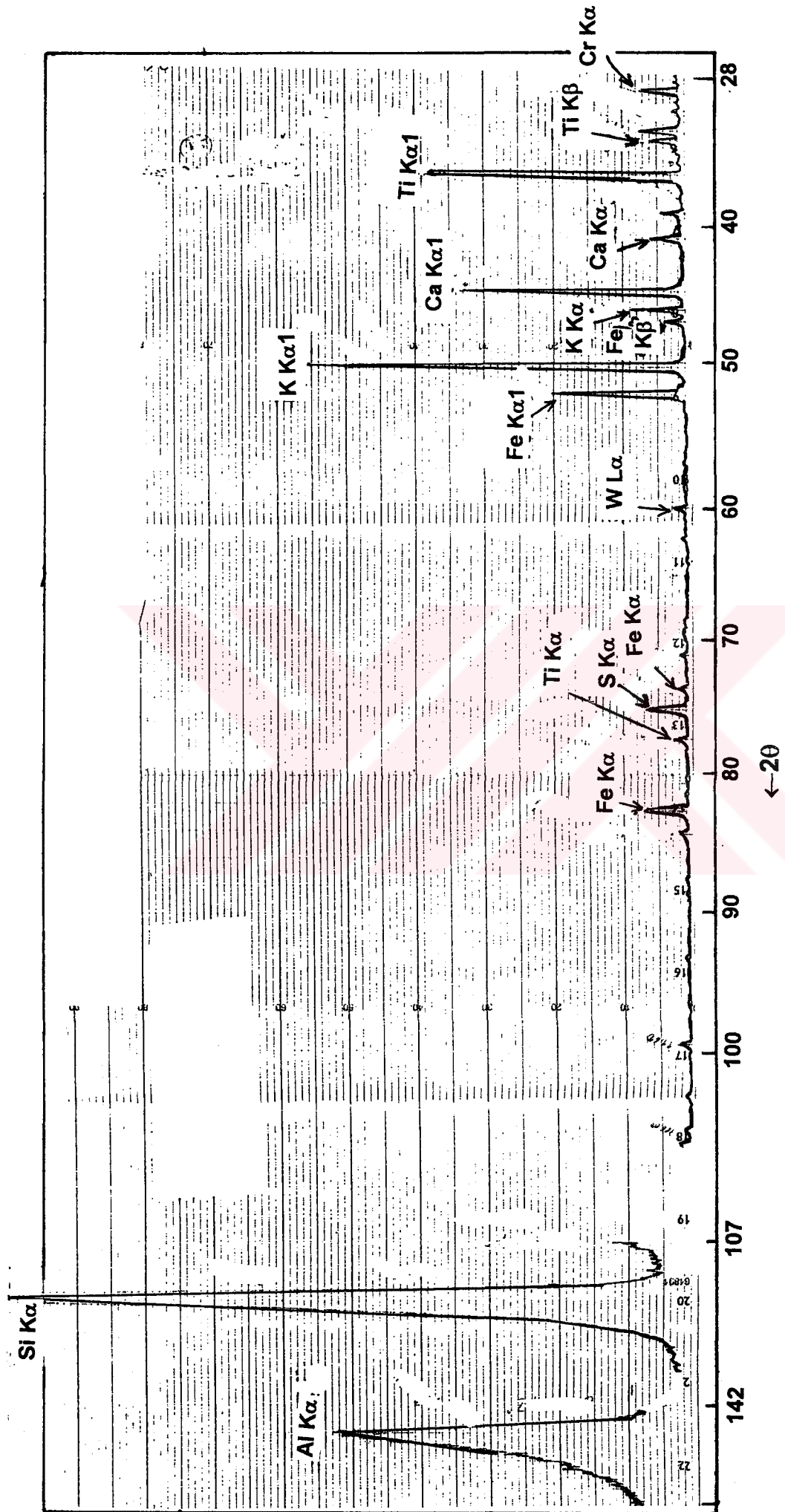
Çizelge 5.2: Kaolinlerin piknometrede ölçülen yoğunlukları

Micromeritics Flowsorb II 24300 (BET) cihazı ile yapılan yüzey alanı ölçüm sonuçları :

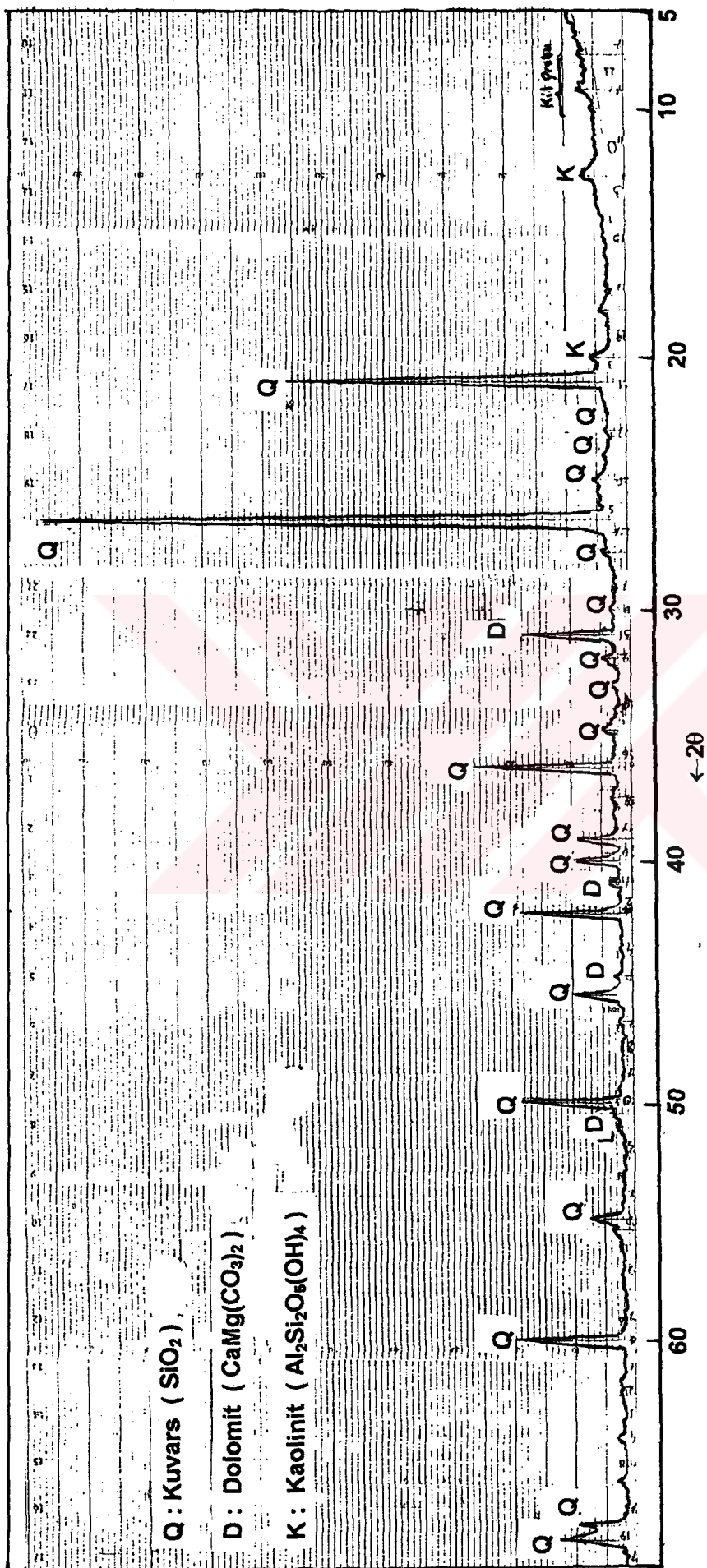
Doğaköy kaolini : $41.20 \text{ m}^2 / \text{gr}$

Dümbüldek kaolini : $5.77 \text{ m}^2 / \text{gr}$

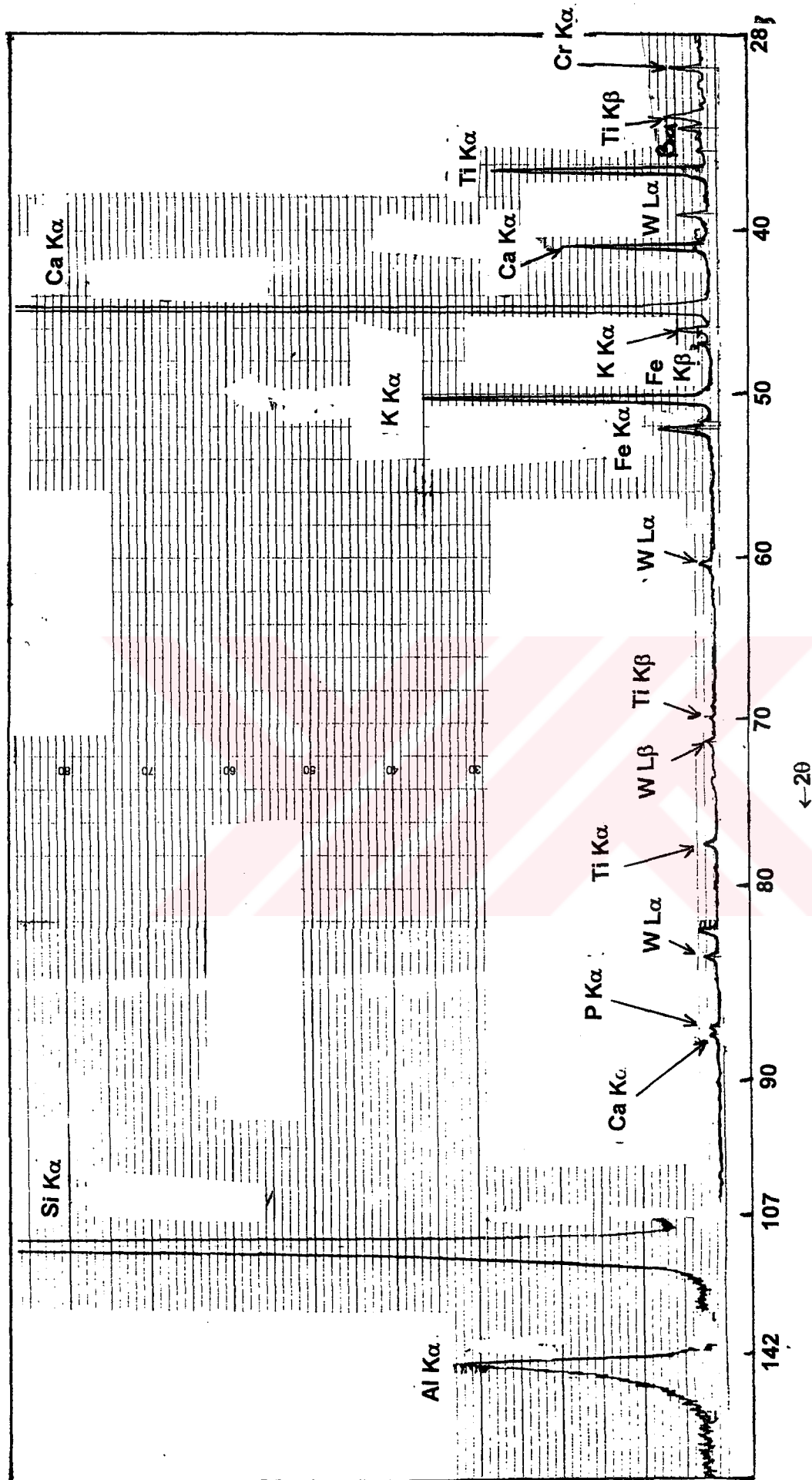




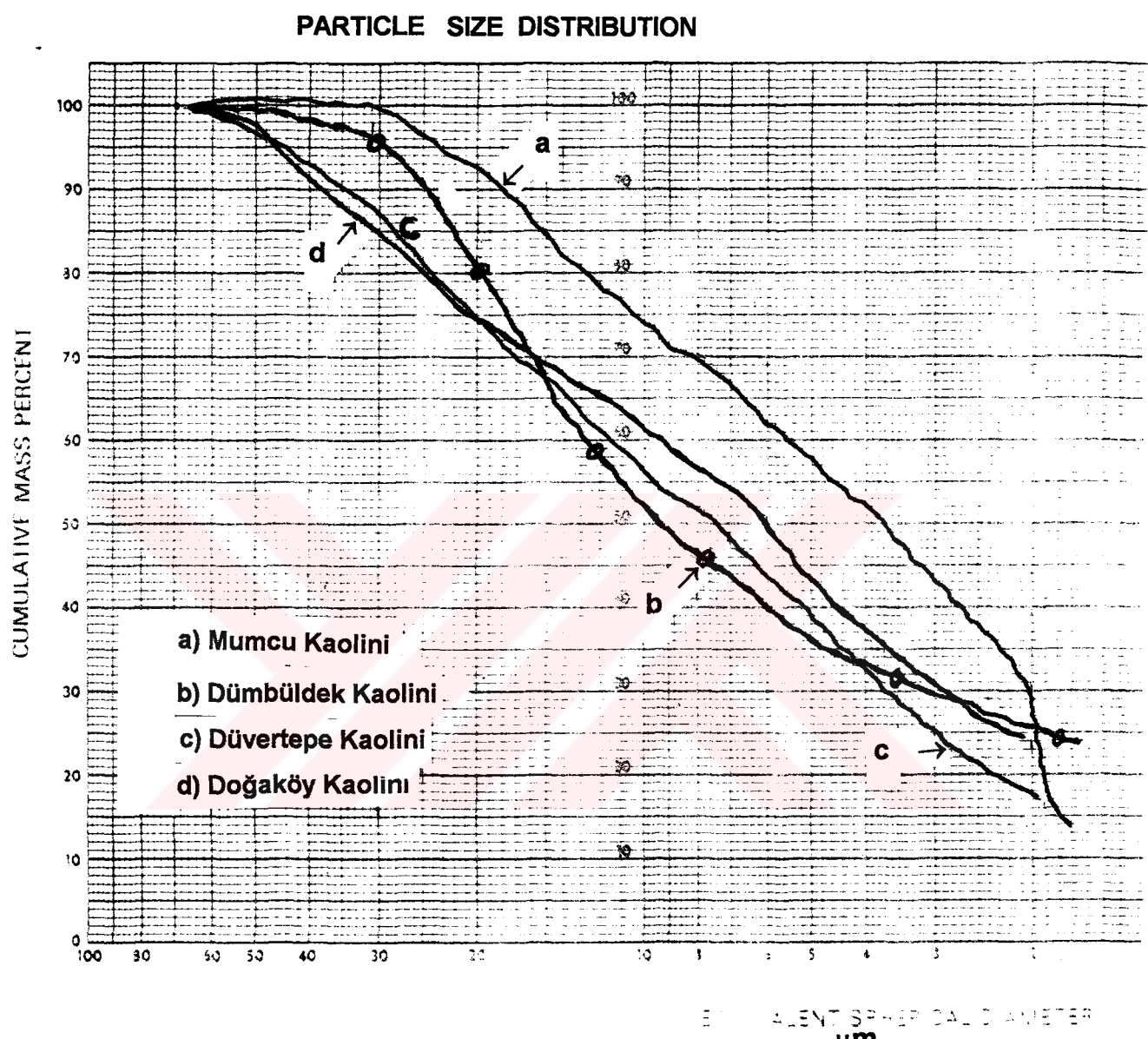
Sekil 5.2 : X-Ray Spektrometresi ile Doğaköy kaolin allığının elementer analizi



Şekil 5.3 : XRD ile Düm慅ildek kaolin altlığının mineralojik analizi



Şekil 5.4 : X-Ray Spektrometresi ile Dümbülidek kaolin altlığının elementer analizi



 **micromeritics**
instrument corporation

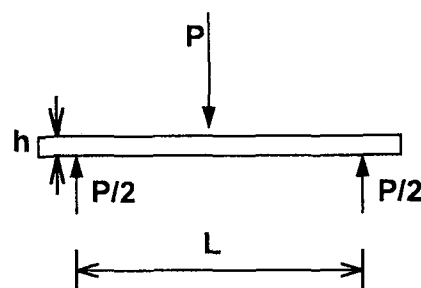
Şekil 5.5 Kaolinlerin tane boyut dağılımları (Particle Size Distribution)

Deneysel çalışmalar esas olarak üç kısımda ele alınmıştır ;

- I) Farklı yörelere ait kaolinlerden altlık seçimi ve altlık hazırlama
- II) Katkılı (La_2O_3) ve katkısız alümina jellerin hazırlanması ve uygun jel kompozisyonunun tesbiti.
- III) Sol-Jel kaplama ve membran eldesi

5.2. Farklı Yörelere Ait Kaolinlerden Altlık (Support) Seçimi ve Altlık Hazırlama

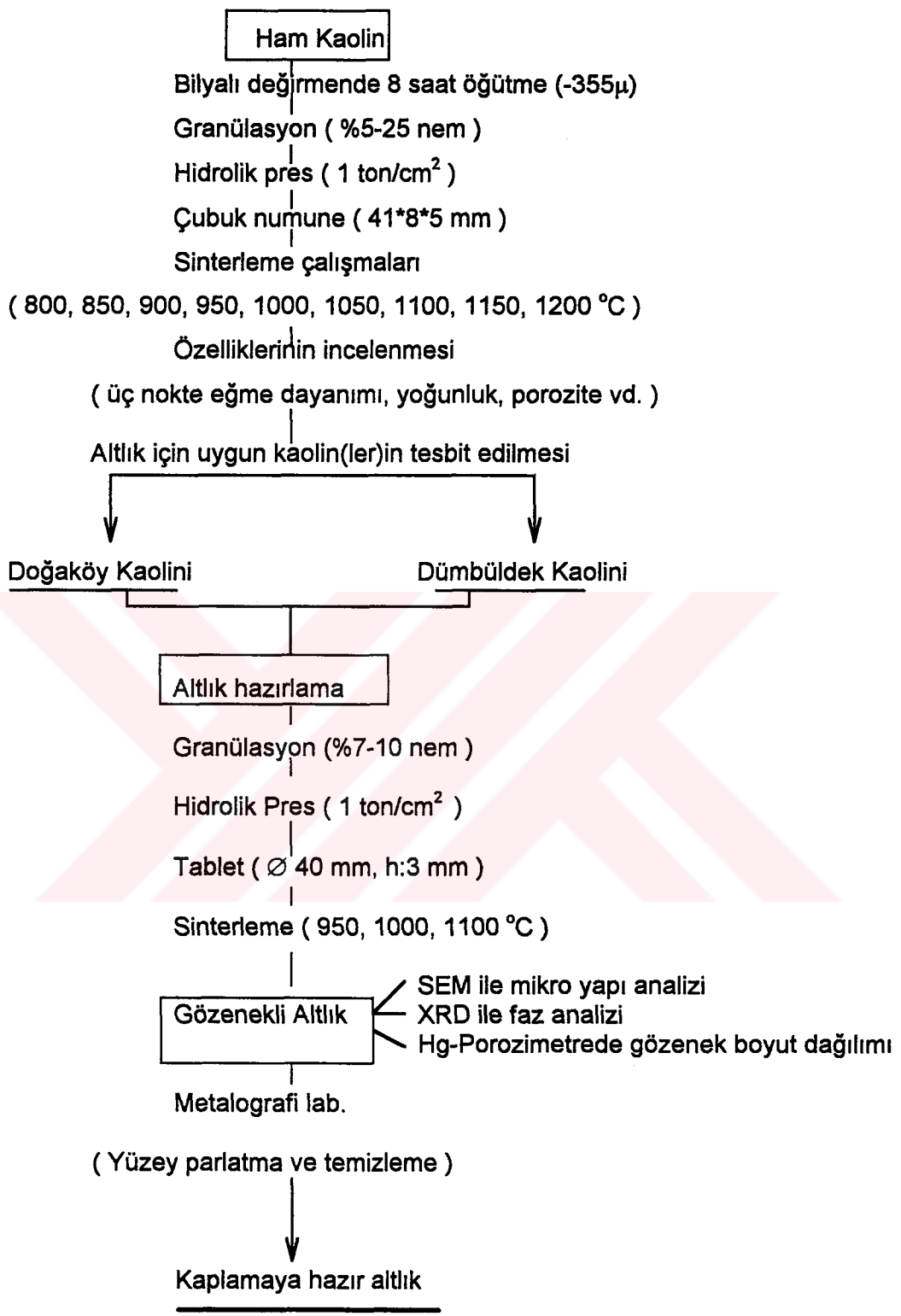
Altılıkla ilgili çalışmalarında yukarıda da belirtildiği gibi Kütahya ve Balıkesir yöresine ait dört ayrı yerden alınan kaolin numuneleri kullanılmıştır. Bu kısımda yürütülen tüm çalışmalar **Şekil 5.7**'de verilen akım şemasında gösterilmiştir. Burada da görüldüğü gibi kaolinler ilk önce bilyalı dejirmende 8 saat öğütülerek -355μ boyutuna indirgenmiştir. Sonra numunelerin özelliğine göre %5-%25 oranında nemlendirilip granüle edildikten sonra tek yönlü hidrolik presde (max 40 ton/cm², USSR) 1 ton/cm² basınçda $41*8*5$ mm ebadında çubuk numuneler basılmıştır. Daha sonra bu çubuklar kontrollü fırında $4^{\circ}\text{C}/\text{dak}$. ısıtma hızında 800, 850, 900, 950, 1000, 1050, 1100, 1150 ve 1200 $^{\circ}\text{C}$ 'de sinterlenmişlerdir. Sinterleme süresi 1 saattir. Bu işlemden sonra kaolin çubuklarının "Instron 1150" marka cihazda üç nokta eğme mukavemetleri ölçülmüştür. Deney düzeneği **Şekil 5.6**'da gösterilmiştir. Mukavemet testi $V_g = 1 \text{ mm/dak}$. çene hızında ve 25 mm mesnet aralığında yapılmıştır.



Şekil 5.6: Üç nokta eğme mukavemeti deney düzeni

$$\text{Eğme Mukavemeti (MPa)} = \frac{3.P.L}{2.b.h^2}$$

P : Kırma ağırlığı (Nt)
 L : Mesnet aralığı (mm)
 b : Numune genişliği (mm)
 h : Numune kalınlığı (mm)



Şekil 5.7: Kaolin altlık seçimi ve altlık hazırlama

Sinterlenmiş olan çubukların teorik yoğunluk, porozite ve su emme miktarlarının tespit edilmesi için Arşimet prensibi uygulanarak suda kaynatma deneyi yapılmıştır. Kaynar suda 2 saat bekletilen çubukların tartım işlemlerinden sonra aşağıdaki formüller yardımıyla bu değerler hesap edilmiştir.

$$\text{Bulk Yoğunluk (gr/cm}^3) = (M_1 / M_3 - M_2) \times d_{\text{su}}$$

$$\text{Rölatif Yoğunluk (\%)} = \frac{\text{Bulk yo\u0111unluk}}{\text{Ger\c{e}k yo\u0111unluk}} \times 100$$

$$\text{Porozite Miktarı (\%)} = [(M_3 - M_1) / (M_3 - M_2)] \times 100$$

$$\text{Su Emme Oranı (\%)} = [(M_3 - M_1) / M_1] \times 100$$

Gerçek yoğunluk : Piknometrede elde edilen sonuçlar (**çizelge 5.2**).

M_1 : Numunenin kuru ağırlığı (100 °C'de etüvde kurutulmuş) (gr).

M_2 : Numunenin ya\u0111 (su emmi\u0111 hali) ağırlığı (gr).

M_3 : Numunenin su içindeki asılı ağırlığı (gr).

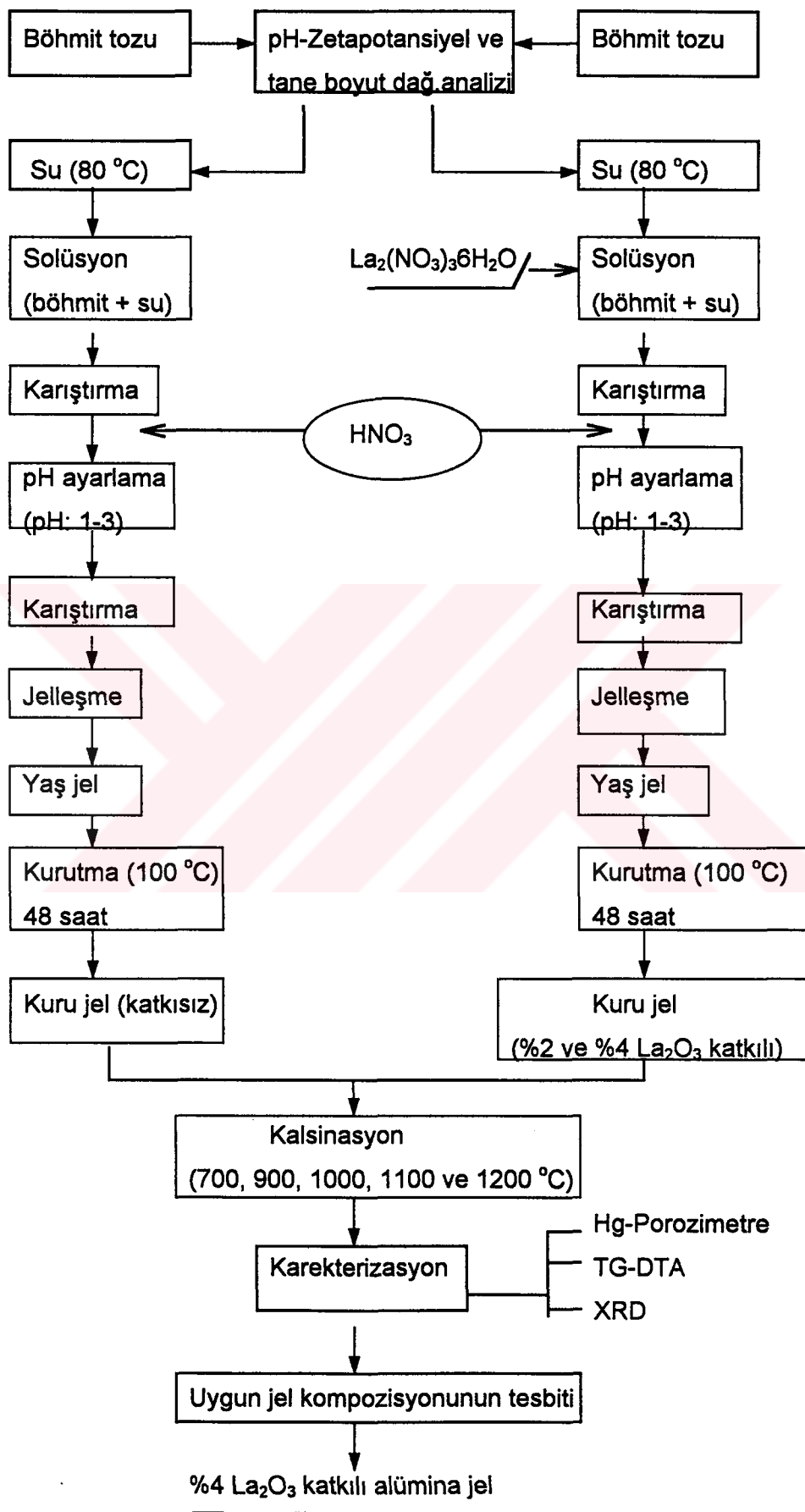
d_{su} : Su yoğunluğu (1 gr/cm³)

Bu \u011fekilde kaolin çubuklarının özellikleri incelendikten sonra porozite miktarı ve mukavemet değerleri gözönüne alınarak bir değerlendirme yapılmış ve altlık olarak Do\u011faköy ve D\xf6mbüldek kaolinleri seçilmiştir. Böylece bu iki kaolin tozları tekrar %7-10 oranında nemlendirilip granüle edildikten sonra hidrolik presde 1 ton/cm² basınc\u0111a 45 mm \u0131apında ve 2-3 mm kalınlığında tablet şeklinde basılmışlardır. 950, 1000 ve 1100 °C'de kontrollü fırında 4 °C/dak. \u0131ısıtma hızı ile 1 saat sinterlenen altlıklar daha sonra metalografi laboratuarında elmas pasta ile parlatılıp saf alkol (etanol) ile temizlendikten sonra kaplamaya hazır hale getirilmiştir.

Farklı sıcaklıklarda sinterlenen altlıkların Hg-porozimetrede gözenek boyut dağılımları, Cu K α radyasyonu kullanılarak X-ray difraktometresinde faz dönüşümleri ve SEM'de mikro yapıları incelenmiştir.

5.3. Katkılı (%2 ve %4 La₂O₃) ve Katkısız Alümina Jellerin Hazırlanması ve Kaplamaya uygun Jel Kompozisyonunun Tesbiti

Deneysel çalışmaların ikinci kısmını olu\u0111tan bu bölümde yürütülen işlemler yine akım şeması olarak verilmiştir (**Şekil 5.8**).



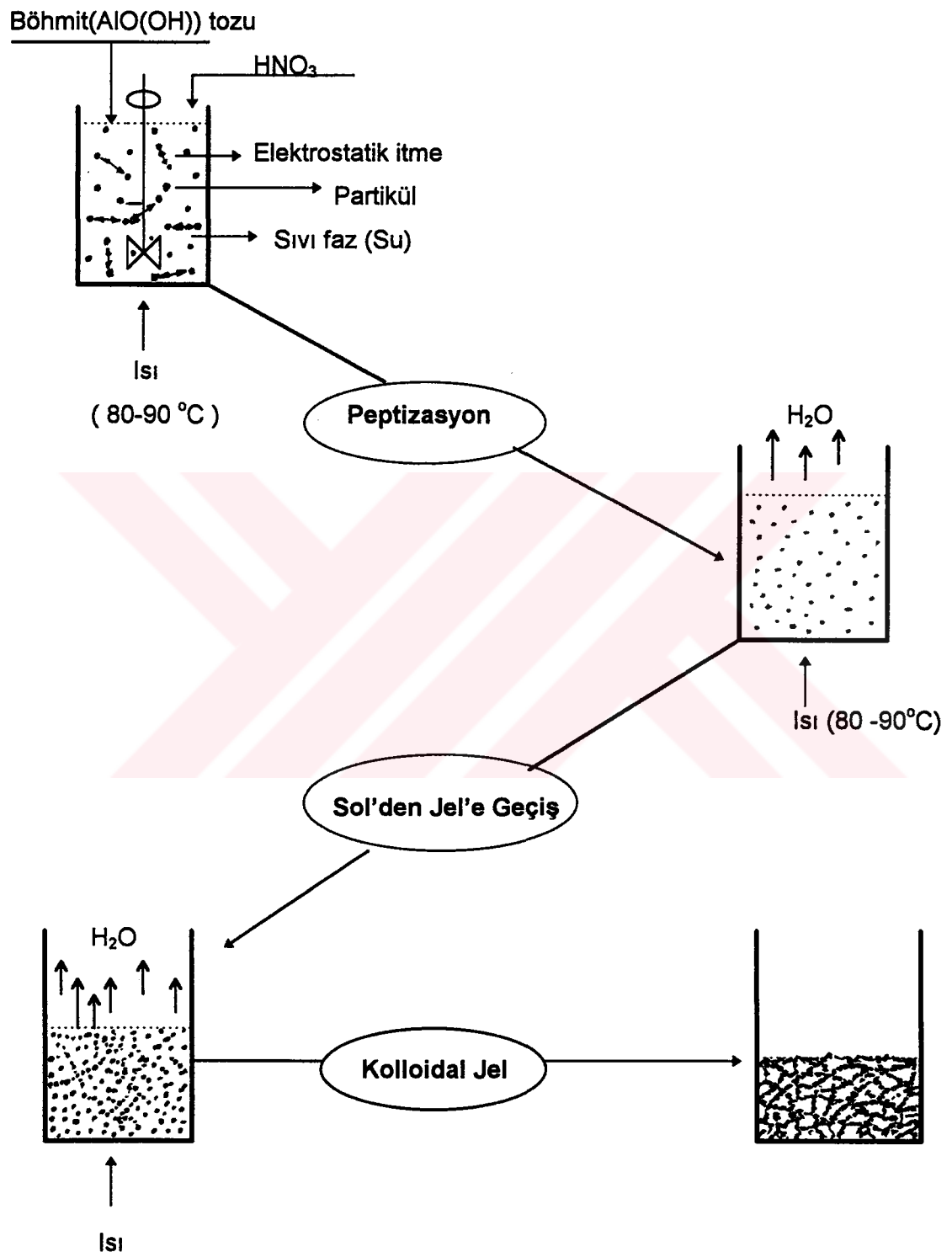
Şekil 5.8 Alümina jellerin hazırlanması ve kaplama yapılacak jelin tesbiti

Şemada da görüldüğü gibi sol-jel deneylerine başlamadan önce hangi pH değerlerinde çalışılacağını ve dolayısıyla iyi bir peptizasyonun sağlanabileceğini belirlemek için böhmit tozunun laser teknigi ile çalışan Malvern Zetasizer-3 cihazında pH'ya göre zetapotansiyel değişimi analizi yapılmıştır. Sistemde elektrolit olarak KCl ve pH ayarları için ise KOH ve HCl asit kullanılmıştır. Ayrıca yine Zetasizer'da kalgon çözeltisi içerisinde ultrasonikte 2 dakika disperse edilen böhmit tozlarının tane boyut dağılımları ölçülmüştür. Bu işlemlerden sonra sol-jel çalışmaları başlamıştır.

Sol-jel çalışmaları :

- 1) 3 ayrı beher içeresine 250 ml destile su doldurularak ısıtıldı (80°C).
- 2) Bu beherlerin içeresine 30'ar gr böhmit tozu katıldı.
- 3) Manyetik karıştırıcı üzerinde hem ısıtılp hem de karıştırılmaya başlandı
- 4) Katkılı deneysel çalışmalar için 2 ayrı behere %2 ve %4 La_2O_3 miktarına karşılık gelecek şekilde 1.41 ve 2.89 gr $\text{La}_2(\text{NO}_3)_3 \cdot 6\text{H}_2\text{O}$ bir miktar su içerisinde çözündürülerek ilave edildi.
- 5) Her 3 beher içeresine 1.5 ml 14.4 M HNO_3 ilave edilerek ilk pH değerleri 5-7 civarında olan çözeltilerin pH değerleri 1-3'e indirildi ve bulanık halde olan çözeltiler berrak bir görünüm aldılar ($\text{HNO}_3 / \text{AlOOH} : 0.07$ mol olarak alındı).
- 6) Karıştırma ve ısıtma işlemeye devam edildi.
- 7) Yaklaşık 2.5 saat sonra çözeltiler jelleşmeye başladı.
- 8) Jelleşme başladığından bir müddet sonra karıştırma işlemi durduruldu.
- 9) Beherler manyetik karıştırıcı ve ısıticiden alınarak etüve bırakıldı (100°C).
- 10) 48 saat sonra jeller tamamen kuruyarak katkılı ve katkısız alümina jeller elde edildi. Bu işlemler **Şekil 5.9'de** gösterilmiştir.

Alkoksit kullanılmadan yapılan bu sol-jel çalışmasında meydana gelen jel koloidal olarak oluşan jeldir. Burada çözeltideki mevcut partiküllerin (AlOOH) suda bulunan ve ayrıca sisteme ilave edilen asit (HNO_3)'den gelen H^+ iyonları ile çevrilmesiyle partiküller pozitif bir elektrostatik yük kazanarak birbirlerini itmektedirler. Ama aynı zamanda sisteme verilen ısı etkisiyle ortamda mevcut olan su belirli miktar buharlaşarak uzaklaşmakta ve bu sebeple partiküller birbirine yaklaşmaktadır. Isıtma ve karıştırma işlemeye devam ettiği sürece partiküller birbirlerine iyice yaklaşarak temas etmeye başlarlar ve bir ağ oluştururlar. İşte bu anda sol'den jel'e geçiş başlamaktadır. Bu andan itibaren oluşan bu ağ hızla yayılarak tüm yapıyı sarmakta ve böylece sistem jel haline gelmiş olmaktadır.



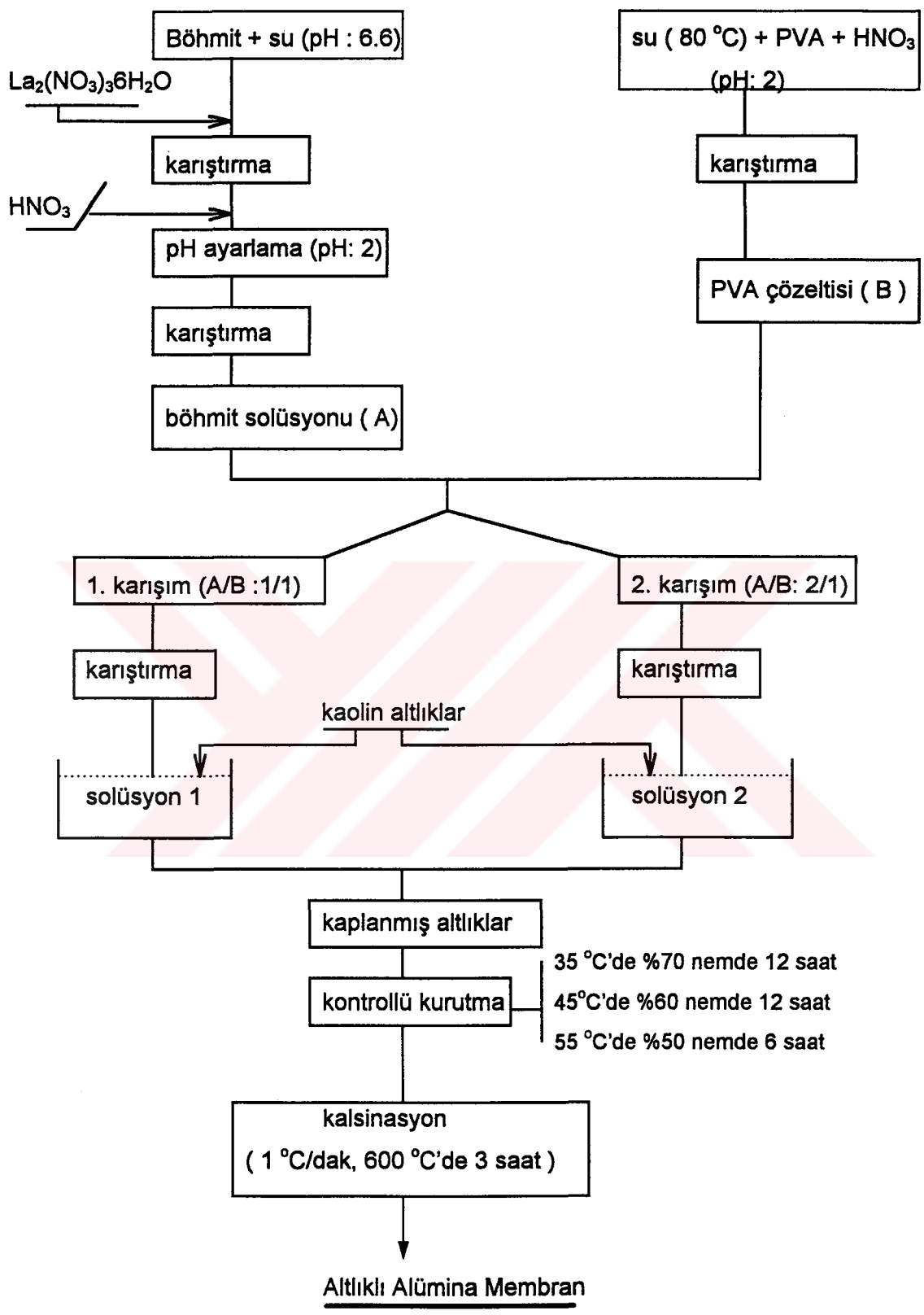
Şekil 5.9: Kolloidal sistemde suyun uzaklaştırılması yöntemiyle kolloidal jel eldesi

Daha sonra 100 °C'de 48 saat etüvde bırakılarak kurutulmuş olan jeller kontrollü fırında 4°C/dak ısıtma hızı ile 700, 900, 1000, 1100 ve 1200 °C'de 1 saat ve aynı ısıtma hızı ile 1000 °C'de 1, 12, 24 ve 48 saat süre ile kalsine edilmişlerdir. Farklı sıcaklıklarda ve sürelerde kalsine edilen jellerin (%0, 2 ve 4 La₂O₃) Hg-porozimetrede gözenek boyut dağılımları, Setaram TG-DTGA 92'de TG ve DTA analizleri, XRD ile faz analizleri ve SEM ile mikroyapıları incelenerek La₂O₃ katkısının γ-Al₂O₃ fazından α-Al₂O₃ fazına dönüşümüne olan etkisi tespit edilmiş ve böylece jellerin yüksek sıcaklıklarda stabil olup olmadığı incelenmiştir. Bu incelemelere göre kaplama için uygun jel kompozisyonu tespit edilmiştir.

5.4. Kaplama İşlemi ve Membran Eldesi

Aşağıda **Şekil 510**'da verilen şema kaplama işlemi ve membranın meydana getirilmesi sırasında yapılan çalışmaları göstermektedir. Ayrıca yürütülen bu çalışmalar yine aşağıda sırasıyla izah edilmektedir.

- 1) 2 beher içeresine 250 ve 170 ml destile su katıldı.
- 2) 250 ml su bulunan beher içeresine 18 gr Böhmit tozu ve 1.7 gr La₂(NO₃)₆H₂O (suda çözündürülülmüş olarak) katıldı ve başlangıç pH değeri(pH₁: 6.6) ölçülerek manyetik karıştırıcıda bir miktar ısıtılarak karıştırılmaya başlandı.
- 3) 170 ml su bulunan beher ısındıktan (70-80 °C) sonra içeresine 3.5 gr PVA (72000 gr/mol) ve 0.5 ml HNO₃ (14.4 M) katılarak manyetik karıştırıcı ile karıştırılmaya başlandı. Bu karıştırılarak ısıtma işlemeye PVA tümyle çözünene kadar devam edildi (4 - 4.5 saat) ve böylece %3'lük PVA çözeltisi (B) elde edildi.
- 4) Diğer beherdeki Böhmit solüsyonuna 1ml HNO₃ ilave edilerek pH 2'ye indirildi. Ve karıştırma işlemeye homojen bir dağılım sağlanıncaya kadar (yaklaşık 1 saat) devam edildi. Böylece böhmit solüsyonu (A) elde edildi.
- 5) Sonra A ve B'den A / B : 1/1 oranında 40 ml A ve 40 ml B alınarak karıştırdı ve böylece "Solüsyon 1" elde edildi. Daha sonra ise kaolin altlıklar bu solüsyona daldırılıp (daldırma süresi: 5 sn) çıkarılarak kaplama işlemi gerçekleştirilmiş oldu.
- 6) Yine A ve B 'den A / B : 2/1 oranında 40 ml A ve 20 ml B alınarak karıştırdı ve böylece "Solüsyon 2" elde edildi. Daha sonra yine kaplamaya hazır hale getirilen kaolin altlıklar bu solüsyona daldırılarak kaplama yapıldı. Daldırma süresi 5 sn'dir.
- 7) Kaplanmış olan altlıklar nem dolabında 35 °C'de %70 nemde 12 saat, 45°C'de %60 nemde 12 saat ve 55 °C'de %50 nemde 6 saat kurutulduktan sonra kontrollü fırına verildi. 1 °C/dak ısıtma hızında ve 600 °C'de 3 saat süre ile kalsine edildi. Böylece kaolin altlıklı alümina (γ) membran elde edildi.



Şekil 5.10: Kaplama işlemi ve membran eldesi

Daha sonra membranın taramalı elektron mikroskop (SEM) ile kaplama morfolojisini incelenmiş ve hava basıncı kullanılarak su geçirgenliği (water -flux) ölçülebilir basınç dayanımları test edilmiştir.



Şekil 5.11 : Kaolin altlıklı alümina membran (kesit görünüş)

5.5. Karakterizasyon İşlemleri

5.5.1. Yoğunluk

Micromeritics Autopipnometer 1320 marka cihazda toz halindeki nemi giderilmiş (100 °C'de 24 saat etüvde kurutularak) kaolinlerin inert gaz (He) yardımıyla yoğunlukları tesbit edilmiştir. Cihazın hacim ölçme hassasiyeti 0.015 cm³, yoğunluk ölçme aralığı ise 0 - 19.9 gr/cm³'dür. Ayrıca sinterlenmiş kaolin çubuklarının yoğunlukları da ölçülmüş olup bunlar suda kaynatma deneyi ile tesbit edilmiştir.

5.5.2. Yüzey alanı

100 °C'de etüvde kurutulmuş kaolin tozlarının Micromeritics Flowsorb II 2300 (BET) cihazında sıvı azot ortamında (-198 °C'de) gaz (He) adsorblaması ve bu adsorblanan gazın su ortamında (oda sıcaklığında) desorbsiyonu tekniği ile yüzey alanları ölçülmüştür. Bu yöntem Brunauer, Emmet ve Teller'in adlarına izafeten BET yöntemi olarak da bilinir.

Bu cihazda tek ve çok nokta yüzey alanı, toplam gözenek hacmi ve gözenek alanı ve hacmi dağılım ölçümleri yapılabilir. Çalışma aralığı $0.1 - 280 \text{ m}^2/\text{gr}$ 'dır ve en düşük ölçüleceği gözenek hacmi 0.005 cm^3 'dür.

5.5.3. Tane boyut dağılımı

Micromeritics Sedigraph 5000-D tane boyut dağılımı analizi cihazıdır. Analiz yapabildiği boyut aralığı $150 - 0.1 \mu\text{m}$ 'dur. Boyut dağılımı ölçmek istenen toz numuneler reaksiyona girmeyecekleri bir sıvı ortamında topaklaşmaya yol açmayacak şekilde karıştırılarak askiya alınırlar. Askıya alınan bu tanecikler karıştırma işlemi durdurulup serbest düşmeye bırakıldıklarında $150 - 0.1 \mu\text{m}$ boyut aralığındaki tanecikler stoke denklemine göre uygun olarak düşüşe geçerler. Bu arada x işinları ile sürekli izlenerek parçacık boyutları ölçülür. Bu yöntem farklı yoğunluklara sahip parçacık içeren numunelere uygulanamaz. Ayrıca parçacıklar manyetik özellik göstermemeli ve aynı zamanda içerisinde disperse edildiği sıvının yoğunluğundan daha yüksek yoğunluğa sahip olmalıdır [37]. Karşılaşılabilecek en büyük hatalar parçacıkların dispersant sıvı içerisinde tam olarak askiya alınamaması nedeniyle parçacıkların topaklaşması ve kendisi yerine bu topakçık boyutlarının ölçülmesidir. Bu nedenle numunenin ultrasonik karıştırıcılarında iyice disperse edilmesi ve oluşan topakçıkların kırılması gereklidir.

Altılık çalışmalarında kullanılan kaolin tozlarının tane boyut dağılımları $\%0.05 \text{ M}$ kalgon çözeltisi içerisinde ultrasonikte 2 dakika disperse edildikten sonra bu cihazda ölçümleri yapılmıştır.

5.5.4. Zetapotansiyel

Böhmit tozlarının pH'göre zetapotansiyel ölçümleri laser teknigi ile çalışan Malvern Zetasizer-3 cihazında gerçekleştirılmıştır. Sistemde elektrolit olarak KCl ve pH ayarlamaları için de KOH ve HCl kullanılmıştır. $120 \text{ v}'\text{luk gerilim uygulanmıştır.}$

Cihazın çalışma aralığı $-10 + 10 \mu\text{Ms}^{-1} / \text{v.cm}^{-1}$ ve max voltaj miktarı 400 v 'dur. Laser kaynağı olarak He - Ne kullanılmaktadır. Ayrıca bu cihazda $5\mu\text{m} - 5\text{nm}$ boyut aralığındaki numunelerin boyut dağılım analizleri yapılmaktadır. Böhmit tozlarının tane boyut dağılımları kalgon içerisinde ultrasonikde disperse edildikten sonra bu cihaz ile yapılmıştır.

5.5.5. Gözenek boyut dağılımı ve miktarı (Hg-Porozimetre)

Farklı sıcaklık ve sürelerde kalsine edilen alümina jeller ve sinterlenmiş olan

kaolin çubuklarının bünyelerindeki gözenek boyutlarının nasıl bir dağılıma sahip olduğu ve gözenek miktarının ne kadar olduğunu tesbit etmek için Micromeritics Autopore II 9220 marka Hg-porozimetre cihazı kullanılmıştır. Civanın malzeme yüzeyine ıslatmaması esasından yaralanılarak hidrolik basınç uygulanarak civanın bünye içerisindeki gözeneklere girmesi sağlanır. Daha sonra aşağıda verilen Washburn denklemiyle R gözenek yarıçapı bilgisayar donanımlı cihaz tarafından hesap edilir [37]. Sonuçları çıktı olarak alınır. Cihazın maksimum çalışma basıncı 414 Mpa ve ölçüleceği por çapı ise 360 - 0.003 μm 'dir.

$$R = -2 \gamma \cdot \cos\theta / p$$

R: gözenek yarıçapı (μm)

γ : civanın yüzey gerilimi dyn / cm

θ : civanın temas açısı

p : uygulanan basınç (MPa)

5.5.6. Mineralojik ve faz analizi (X ışınları)

Farklı sıcaklık ve sürelerde kalsine edilen katkılı ve katkısız alümina jellerin faz analizleri ve ayrıca kaolin altlıkların mineralojik ve faz analizleri x ışınları toz difraksiyonu yöntemiyle CuK α radyasyonu kullanılarak Philips PW 1440 Diffractometry cihazında yapılmıştır. Ayrıca yine kaolin numunelerinin ağır, hafif element analizleri Philips PW 1410 X-Ray Fluorescence Spectrometry cihazında gerçekleştirilmiştir.

5.5.7. Mekanik mukavemet testi

800 - 1200 °C arasında sinterlenen kaolin çubuklarının üç nokta eğme dayanımları Instron 1150 marka test cihazında ölçülmüştür. Deney sırasında uygulanan çene (yük) hızı 1 mm/dak. ve mesnet aralığı 25 mm olarak alınmıştır. Ayrıca bu cihazla çekme, basma ve burma deneyleri de yüksek bir hassasiyetle (%0.25) tesbit edilebilir. Yük skalarının ve deney hızının geniş bir aralıkta seçilebilmesi (20 - 10.000 kg , 0.5 - 500 mm/dak) değişik malzemelerin deneylerinin yapılmasını mümkün kılar.

5.5.8. Kimyasal analiz

Kütahya yöresi kaolin numunelerinin kimyasal analizleri Atomic Absorbsiyon Spectrophotometer (A.A.S.) cihazında yapılmıştır. Ayrıca yaşı analiz yöntemiyle SiO₂

analizi yapılmıştır. Atomik absorpsiyon cihazı katod lambaları yardımıyla değişik dalga boylarına sahip 76 elementin analizini yapabilmektedir. Asetilen ve azot gazı ile çalışmaktadır. Düşük sıcaklıkta atomize olabilen elementler asetilen gazında, yüksek sıcaklıklarda atomize olabilen elementler ise azot gazında bakılmaktadır.

5.5.9. TG - DTA analizi

Katkılı ve katkısız jellerin 25 - 1250 °C arasında 10 °C/dak ısıtma hızında ve argon gazı ortamındaki ısıl işlemi Setaram TGDTA'92 (Fransa) cihazında gerçekleştirilmiştir. Bunun neticesinde jellerin sıcaklığa göre kütle kaybı ve bünyelerinde meydana gelen egzotermik ve endotermik reaksiyonlar dolayısıyla faz dönüşümleri tespit edilmiştir. Cihazın çalışma aralığı oda sıcaklığı ile 1600 °C arasındadır.

5.5.10. Mikroyapı analizi (SEM)

Membranın kaplama morfolojisinin tespiti ve altlıkların mikroyapılarının ısı etkisinde nasıl değiştiğini görmek için kırık yüzey ve parlak yüzeyde, altınla kaplama yapıldıktan sonra Jeol JSM 840-A JXA marka taramalı elektron mikroskop (SEM) ile analizleri yapılarak fotoğraflar alınmıştır. Cihaz 0.2 - 40 V arasında çalışabilmekte ve 10 - 300.000 büyütme yapabilmektedir.

BÖLÜM 6. SONUÇLAR VE İRDELEMELER

6.1 Altılıklar

I) Mekanik mukavemet:

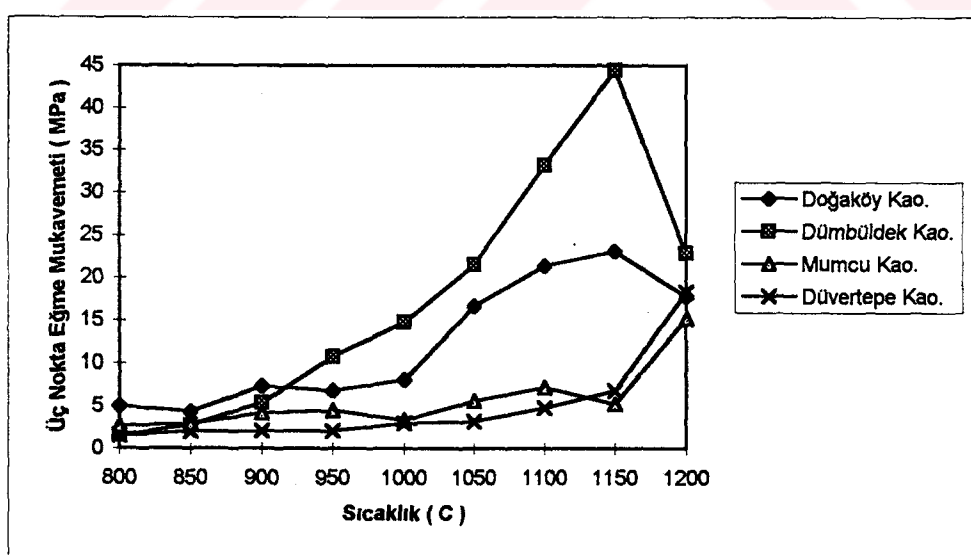
Değişik sıcaklıklarda sinterlenen kaolin (Kütahya ve Balıkesir) çubuklarının mekanik dayanımını ölçmek için üç noktalı eğme testi yapılmıştır. Sonuçlar **Şekil 6.1** de grafiksel olarak gösterilmiştir.

II) Arşimet prensibi (suda kaynatma yöntemi) ile yoğunluk, porozite ve su emme değerleri:

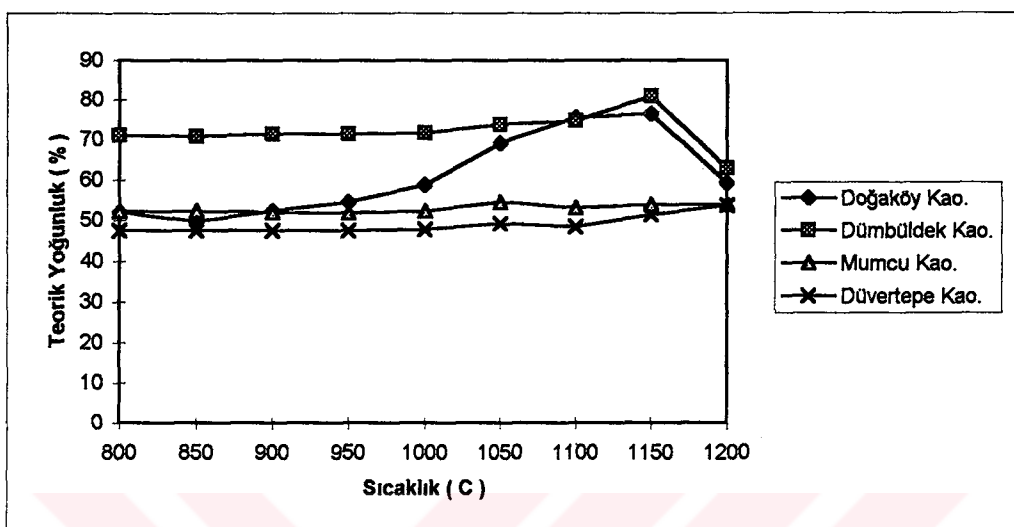
Sinterlenmiş olan kaolin çubuk numuneler 2 saat süreyle kaynar suda bekletilerek teorik yoğunluk (**Şekil 6.2**), porozite miktarı (**Şekil 6.3**) ve su emme değerleri (**Şekil 6.4**) tesbit edilmiştir.

III) Diğer özellikler:

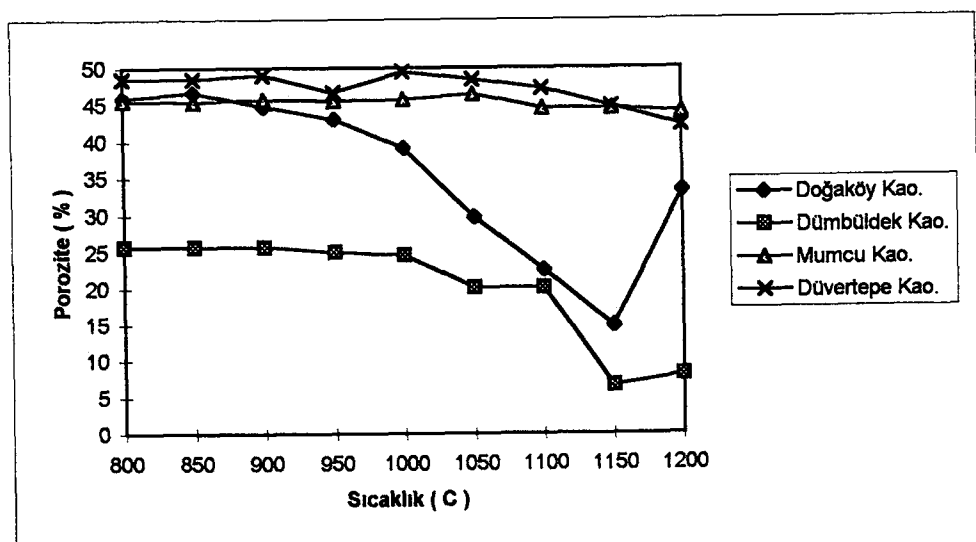
Kaolinlerin sinterleme işlemleri sonrası pişme renkleri, hacimce küçülme oranları ve ateş zayıflığı değerleri tesbit edilmiştir. Sonuçlar **Çizelge 6.1** ve **Şekil 6.5**'de verilmiştir.



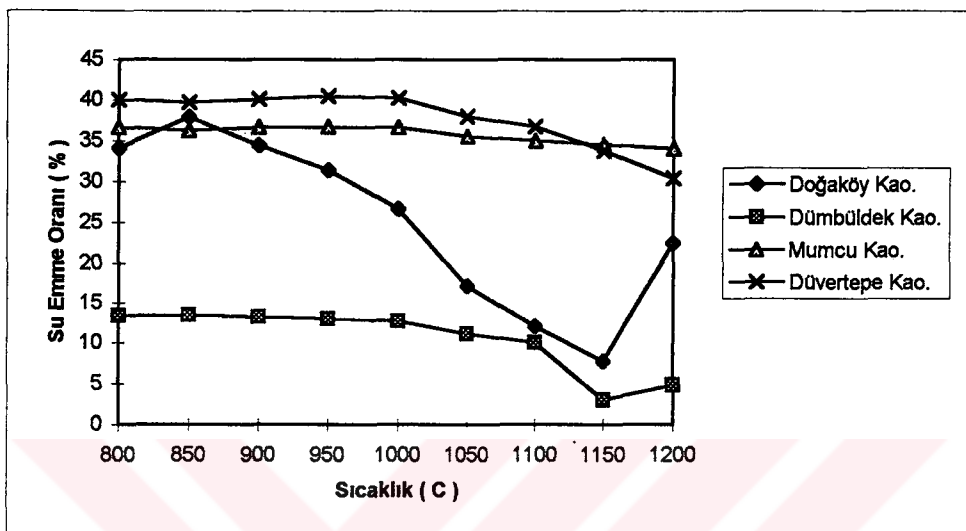
Şekil 6.1: Kaolinlerin sinterleme sıcaklığına göre üç nokta eğme mukavemetleri



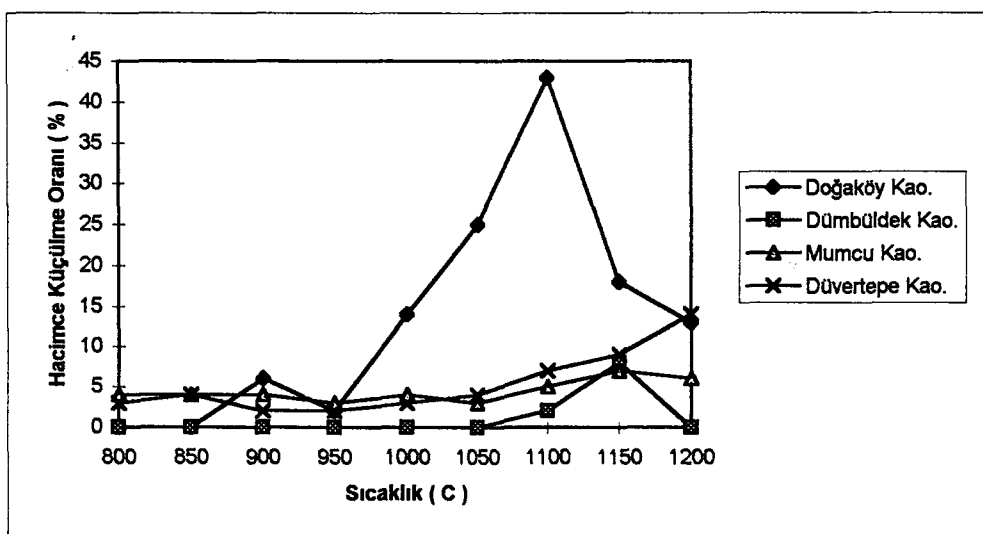
Şekil 6.2: Kaolinlerin sinterleme sıcaklığına göre teorik yoğunlukları



Şekil 6.3: Kaolinlerin sinterleme sıcaklığına göre gözenek (porozite) miktarları



Şekil 6.4: Kaolinlerin sinterleme sıcaklığına göre su emme oranları



Şekil 6.5: Kaolinlerin sinterleme sıcaklığına göre hacimce küçülme oranları

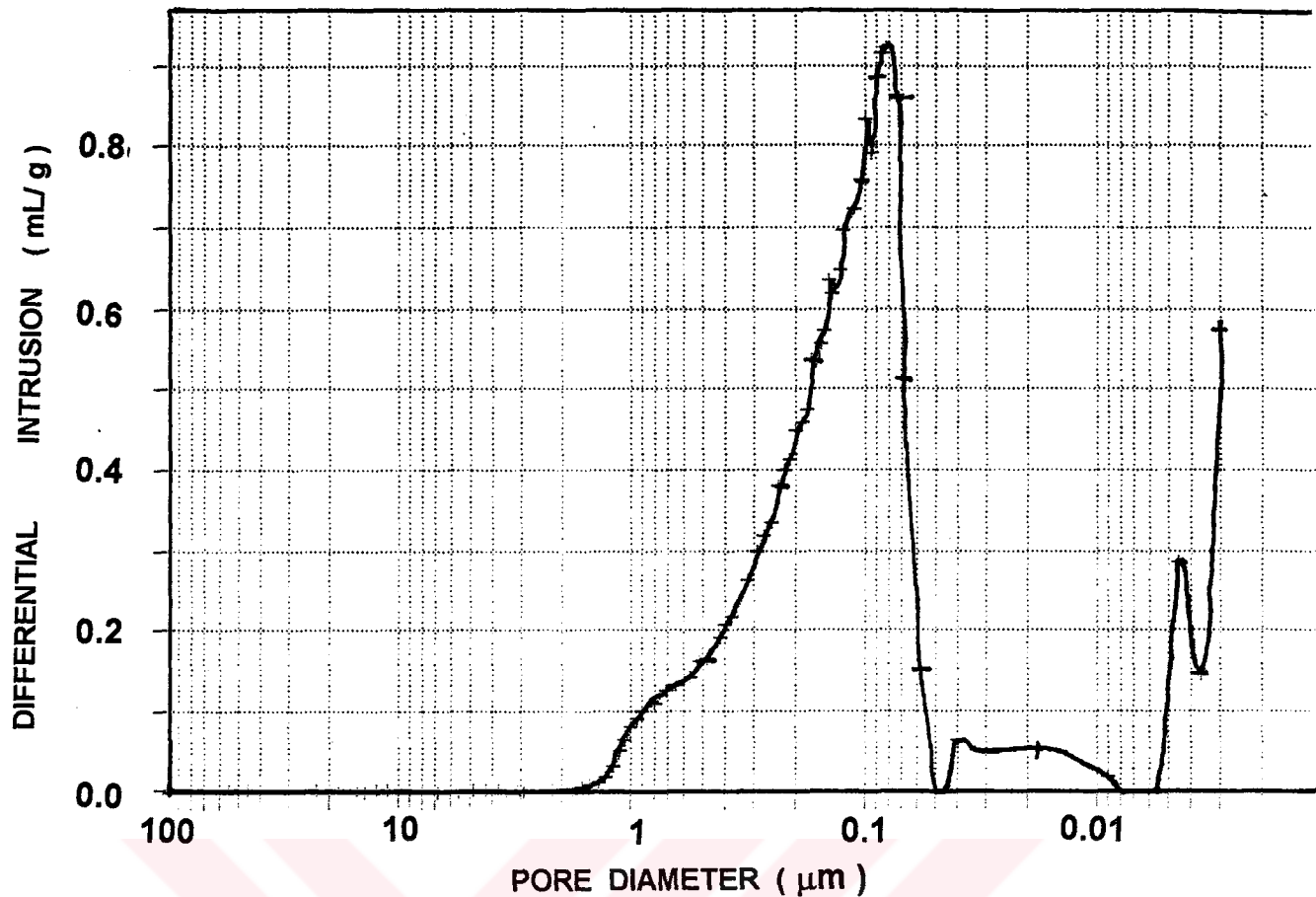
Numune	Pişme rengi	Ateş zayıflığı (%)
Doğaköy Kao.	kiremit kırmızısı	16
Mumcu Kao.	Açık temiz beyaz	6.7
Dümbüldek Kao.	Bej (sarımtırak)	5.2
Düvertepe Kao.	Koyu kirli beyaz	15

Çizelge 6.1: 1050 °C'de sinterlenmiş kaolinlerin pişme rengi ve ateş zayıflığı

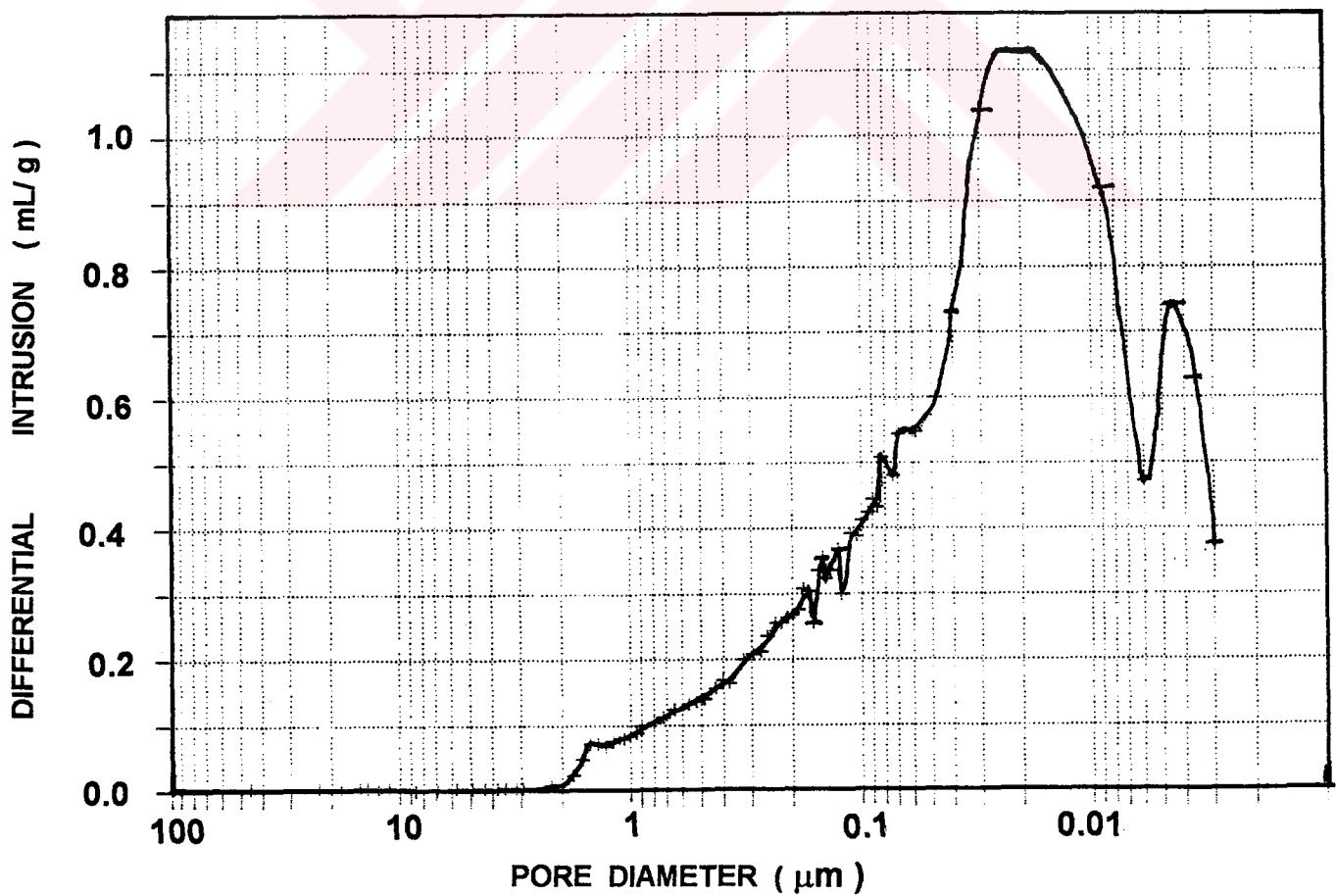
Yukarıdaki test ve deneylerden elde edilen sonuçlara göre, özellikle mekanik dayanımları (Şekil 6.1) ve porozite miktarları (Şekil 6.2) gözönüne alındığında altı için uygun olabilecek numunelerin Doğaköy ve Dümbüldek kaolinleri (Kütahya yöreni) olduğu görülebilir. Özellikle mekanik dayanım açısından diğer iki numunenin (Balıkesir yöreni) yetersiz olduğu hemen görülmektedir. Ayrıca Doğaköy ve Dümbüldek kaolinlerinin porozite miktarları %25-40 civarında olup altlık için uygun değerlerdedir. Bu sebeple bu iki numune altlık olarak hazırlanmıştır. Seçilen bu altlıklar tekrar bir dizi analizlere tabi tutulmuştur.

IV) Farklı sıcaklıklarda sinterlenen Doğaköy ve Dümbüldek kaolin altlıkların Hg- Porozimetresinde ölçülen gözenek boyut dağılımları:

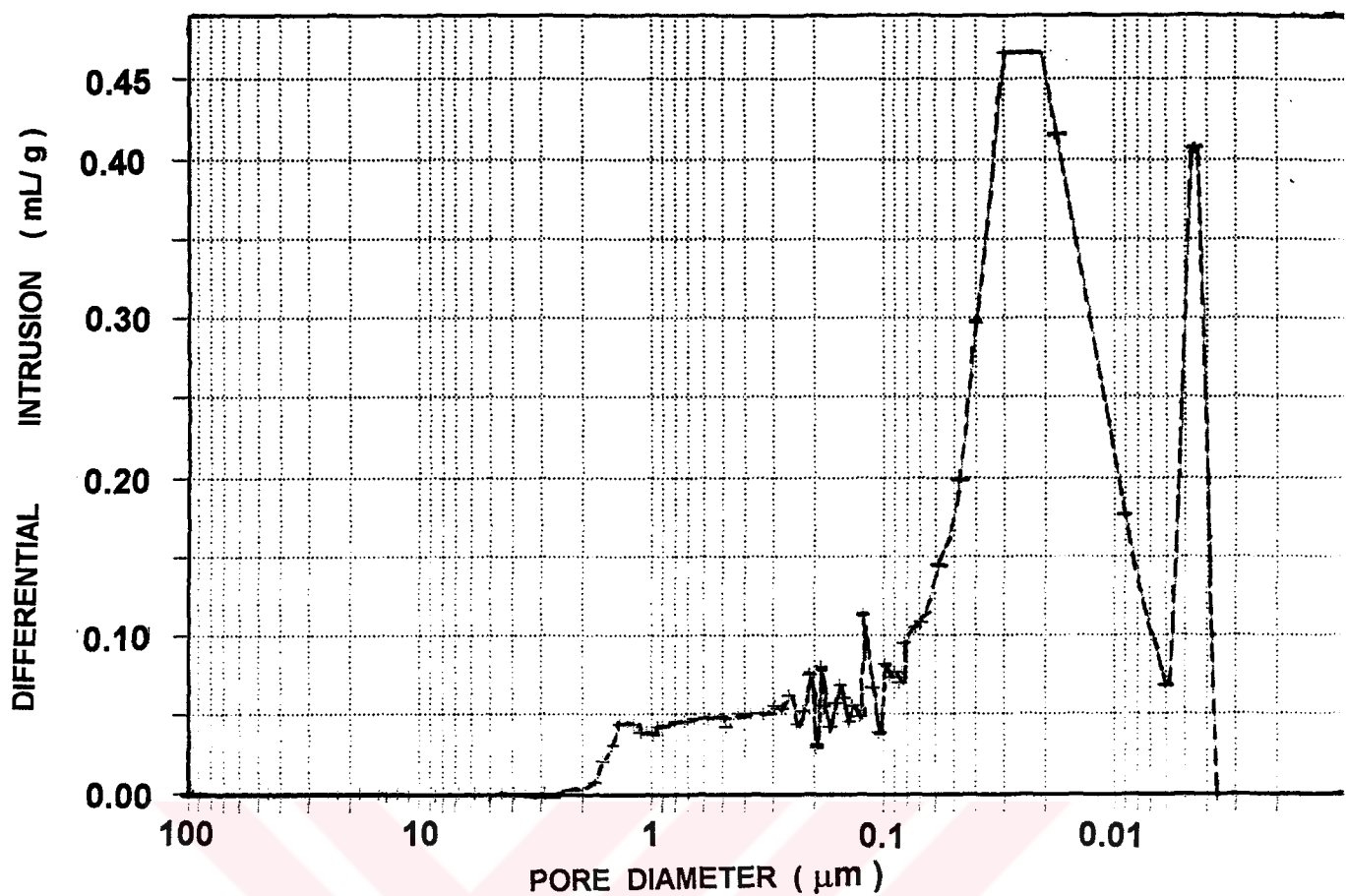
Her iki altlığın sinterleme sıcaklığına göre Hg-porozimetre ile yapılan gözenek boyut dağılımı analizi sonuçları aşağıdaki şekillerde gösterilmiştir. Altlıkların gözenek boyut dağılımı sonuçlarına bakıldığından düşük sinterleme sıcaklığında (950 °C)ki gözenek boyut (çap)ları 0.1 - 1 µm aralığında yoğunlaşmış iken (Şekil 6.6) bu değer 1150 °C'de 0.01 - 0.1 µm aralığına kaydığını yani gözenek çaplarının küçüldüğü (Şekil 6.9) ve 1200 °C'de ise dağılım eğrisinin tekrar sola kayarak gözenek çapının büyüdügü görülmektedir. . Ayrıca yine bu analiz sonuçlarına göre altlıkların gözenek miktarları tesbit edilmiştir (Çizelge 6.2). Çizelgeden de görüldüğü gibi sinterleme sıcaklığının artmasıyla gözenek miktarı düşmekte ve 1150 °C 'de minimum değeri almaktadır. Buna sebep sinterleşmeyi sağlayan camsı faz miktarının artarak küçük gözenekleri kapatması ve taneler arası kütlesel bağ meydana getirmesidir. 1200 °C'de ise bünyedeki sülfatların ayrışması ve oksitlerin indirgenmesi sırasında oluşan gaz basıncı ile ve ayrıca faz dönüşümleri (kuvars-kristobalit) sırasındaki hacimce genleşmelerden dolayı gözenek miktarı tekrar artmaktadır.



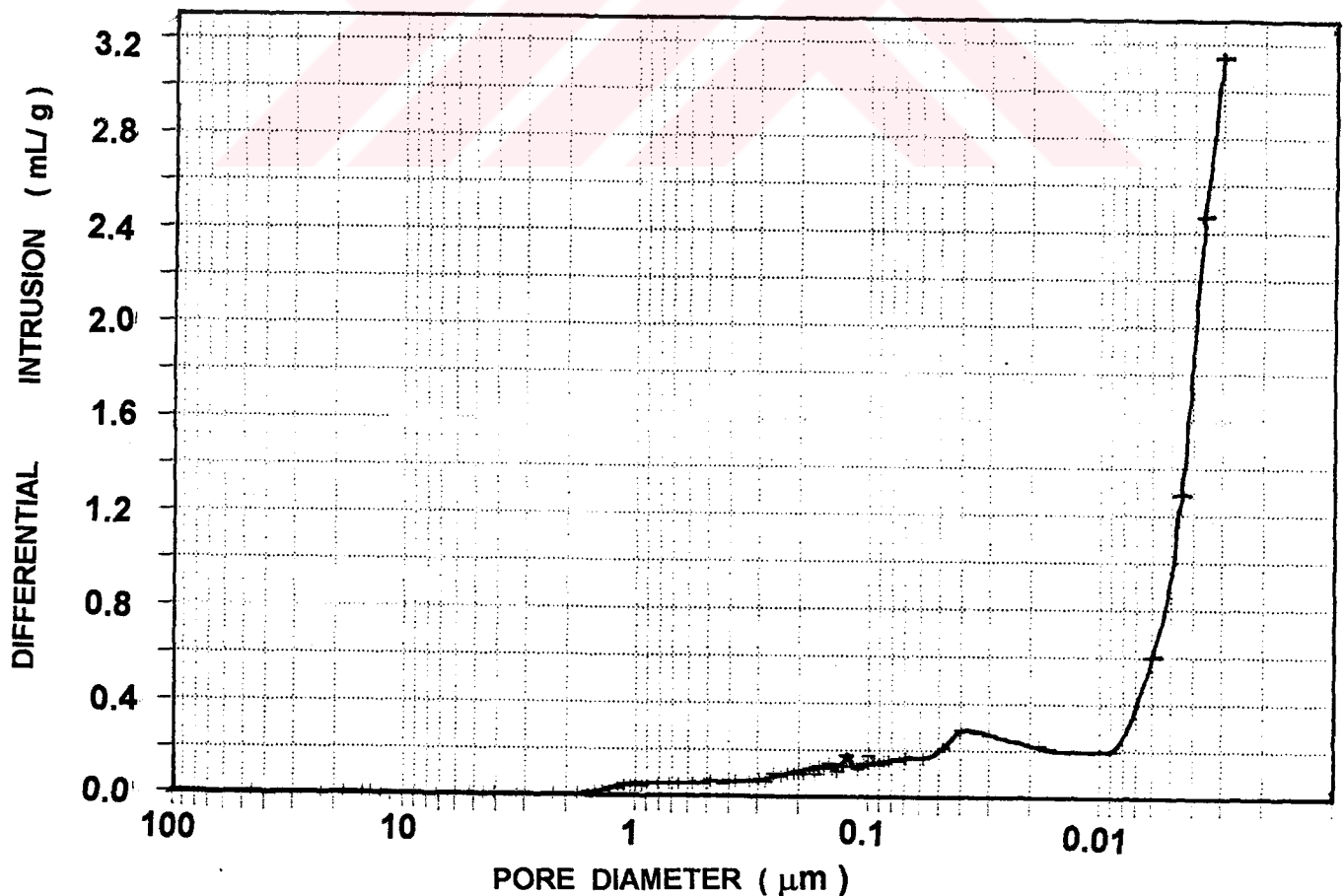
Şekil 6.6 : 950 °C'de sinterlenen Doğaköy kaolin altlığının gözenek boyut dağılımı



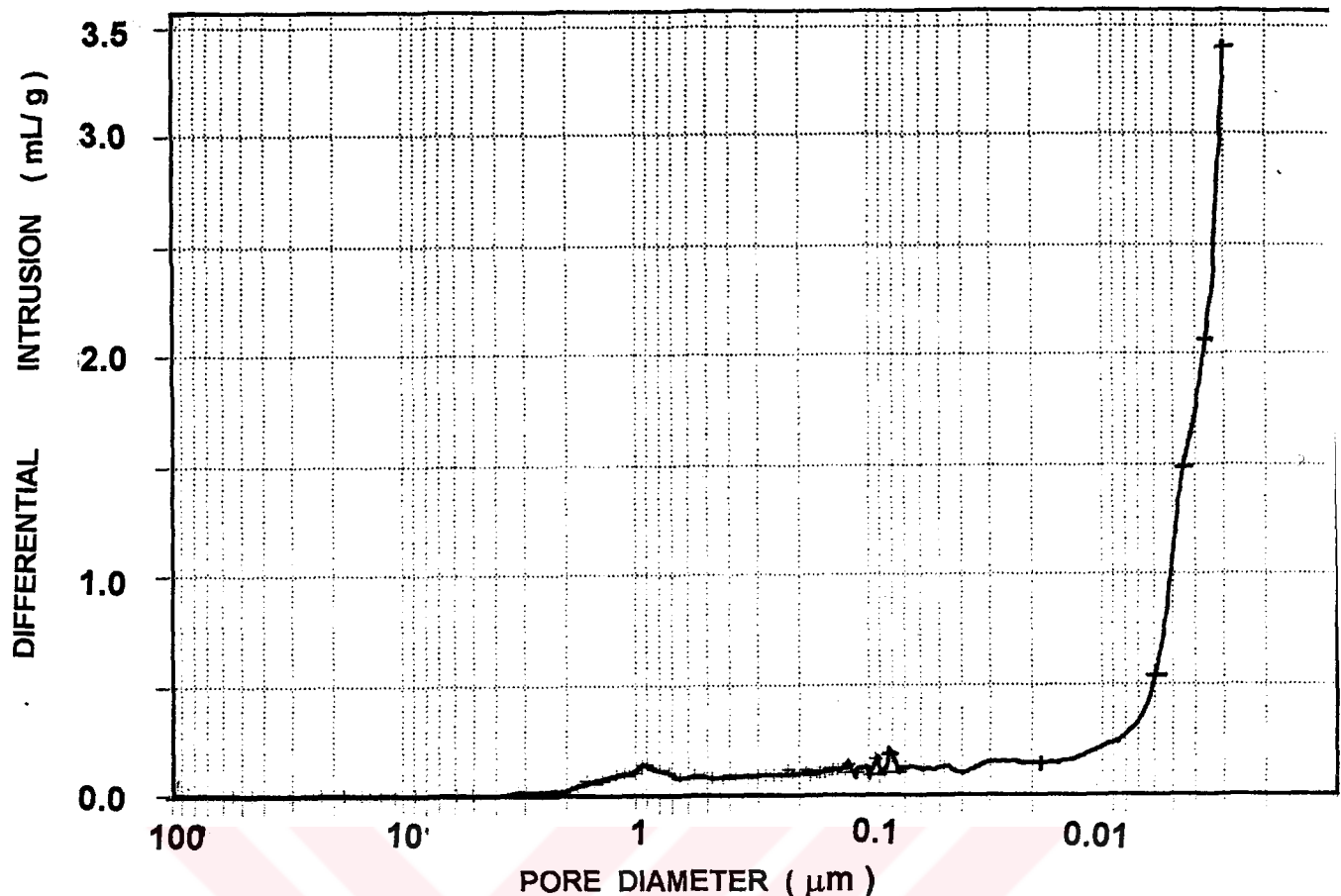
Şekil 6.7 : 1000 °C'de sinterlenen Doğaköy kaolin altlığının gözenek boyut dağılımı



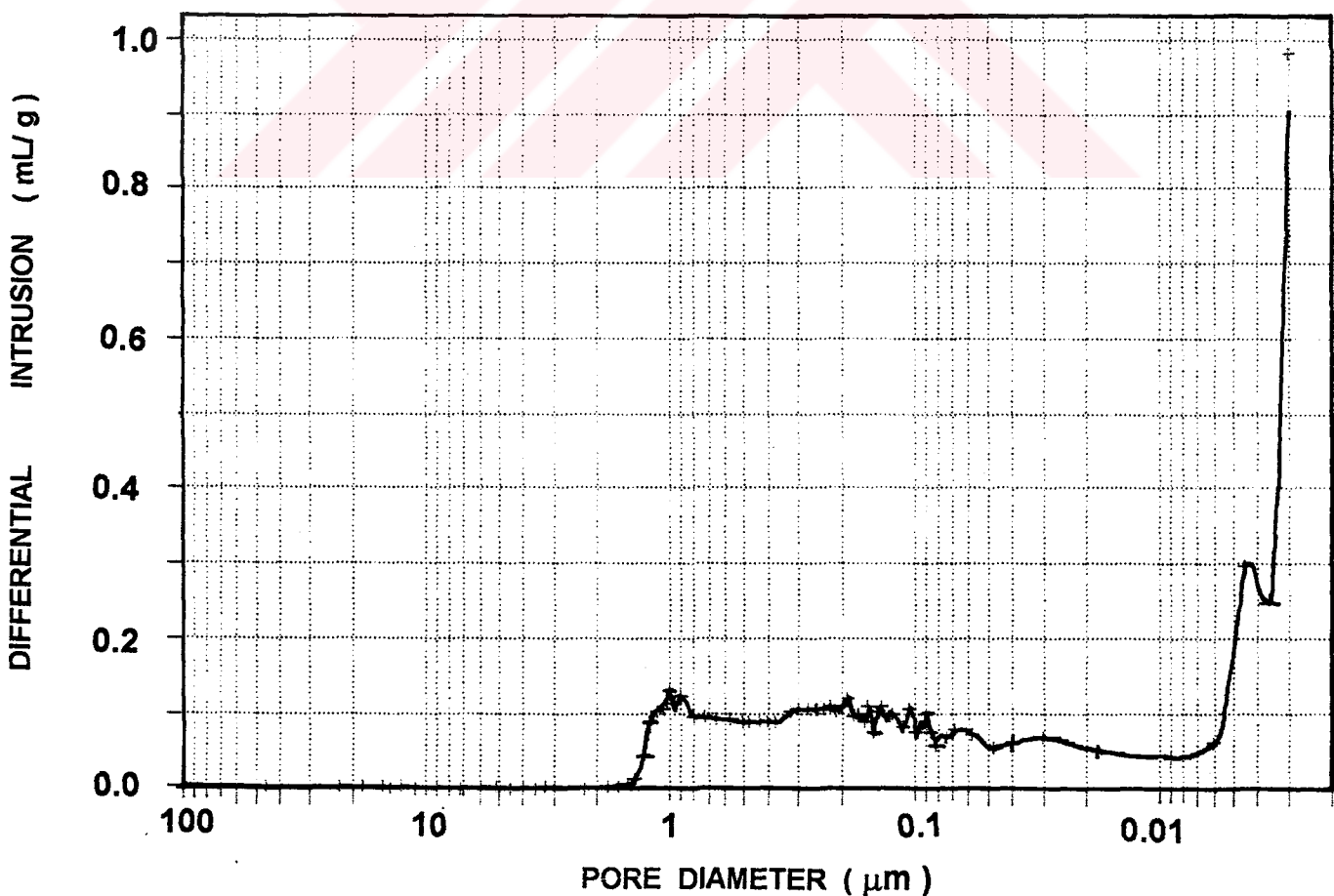
Şekil 6.8 : 1100 °C'de sinterlenen Doğaköy kaolin altlığıн gözenek boyut dağılımı



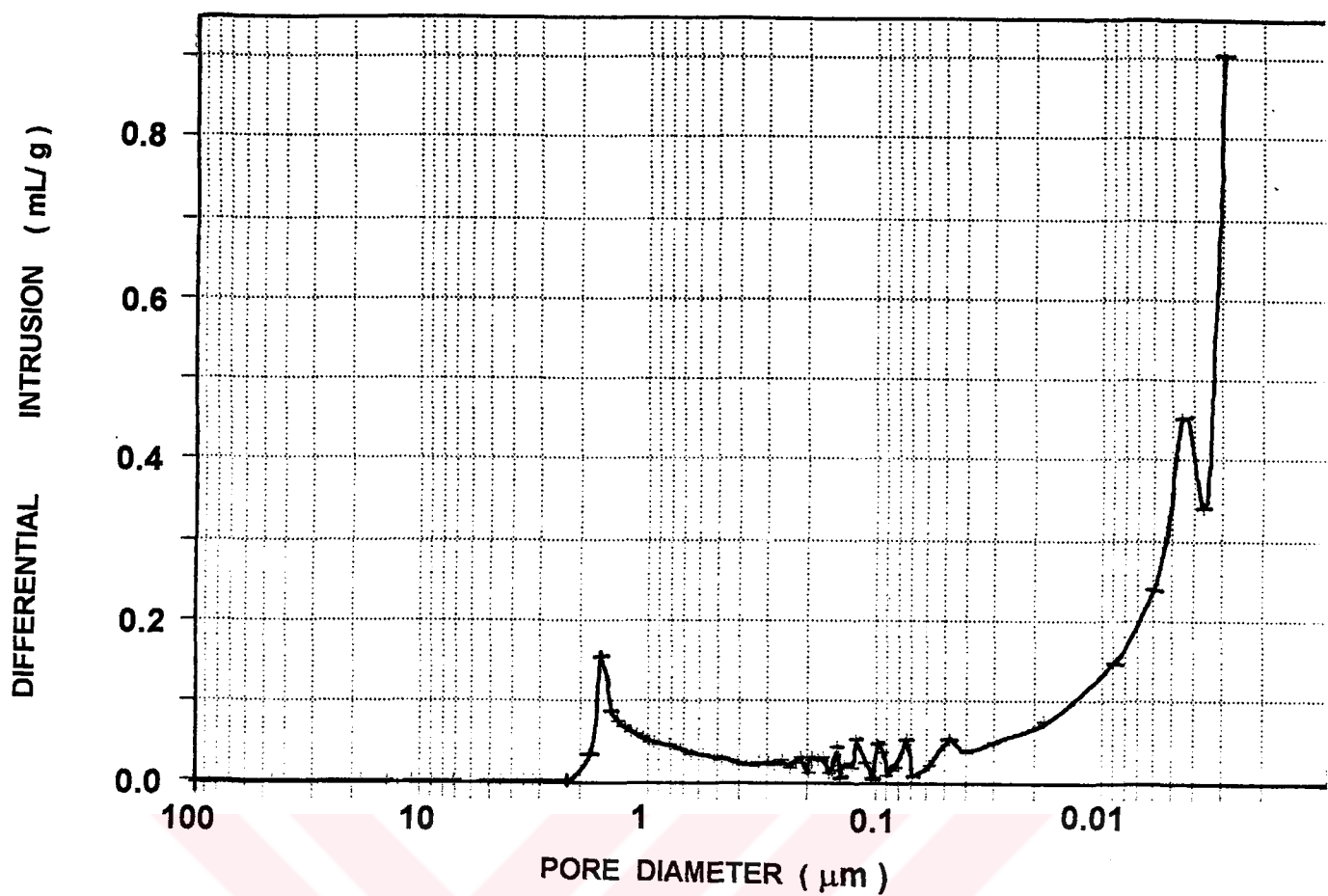
Şekil 6.9 : 1150 °C'de sinterlenen Doğaköy kaolin altlığıн gözenek boyut dağılımı



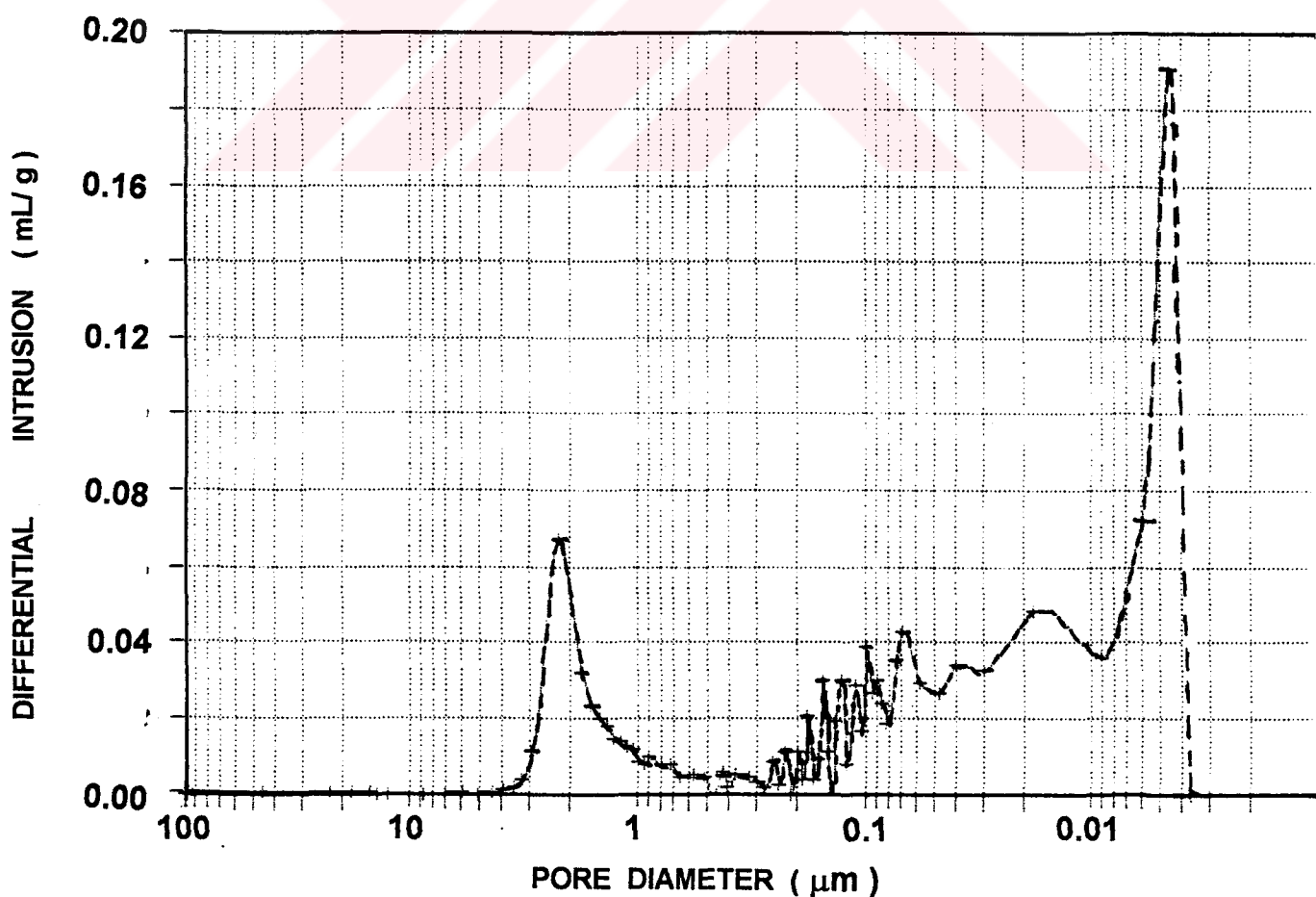
Şekil 6.10 : 1200 °C'de sinterlenen Doğaköy kaolin allığıн gözenek boyut dağılımı



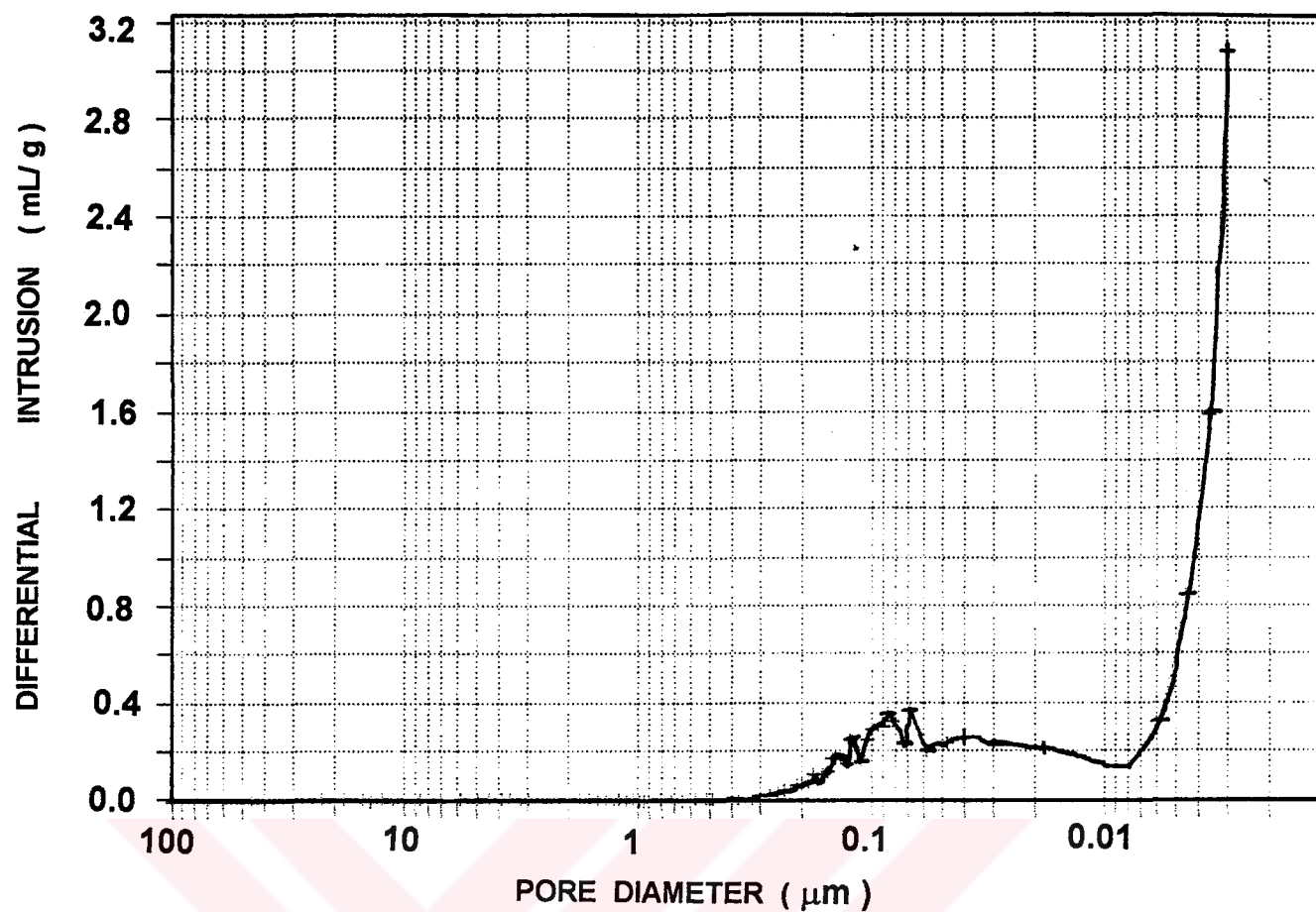
Şekil 6.11 : 950 °C'de sinterlenen Dümbüldek kaolin allığıн gözenek boyut dağılımı



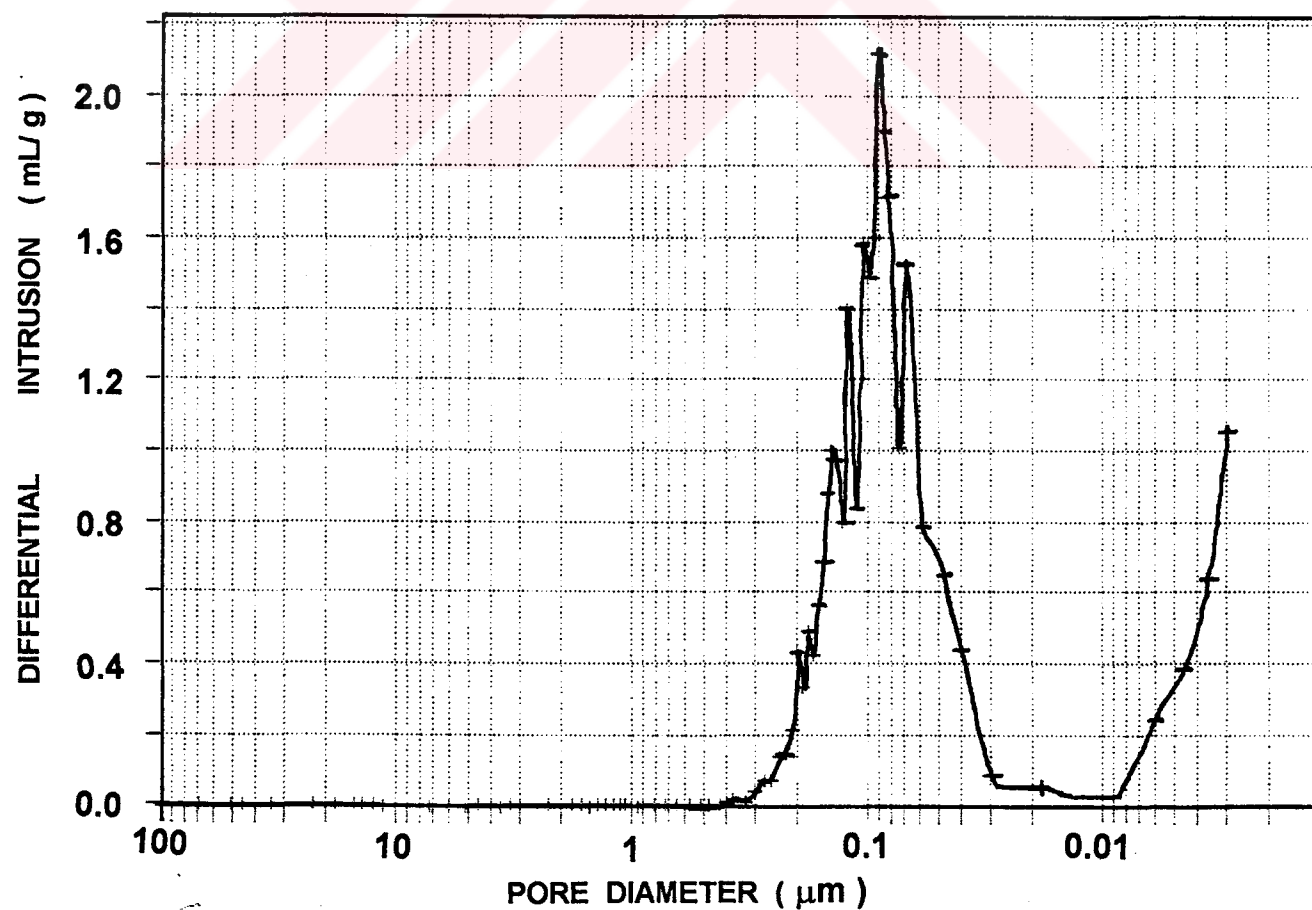
Şekil 6.12 :1000 °C'de sinterlenen Dümbüldek kaolin altlığının gözenek boyut dağılımı



Şekil 6.13 :1100 °C'de sinterlenen Dümbüldek kaolin altlığının gözenek boyut dağılımı



Şekil 6.14 :1150 °C'de sinterlenen Dümbüldek kaolin altlığının gözenek boyut dağılımı



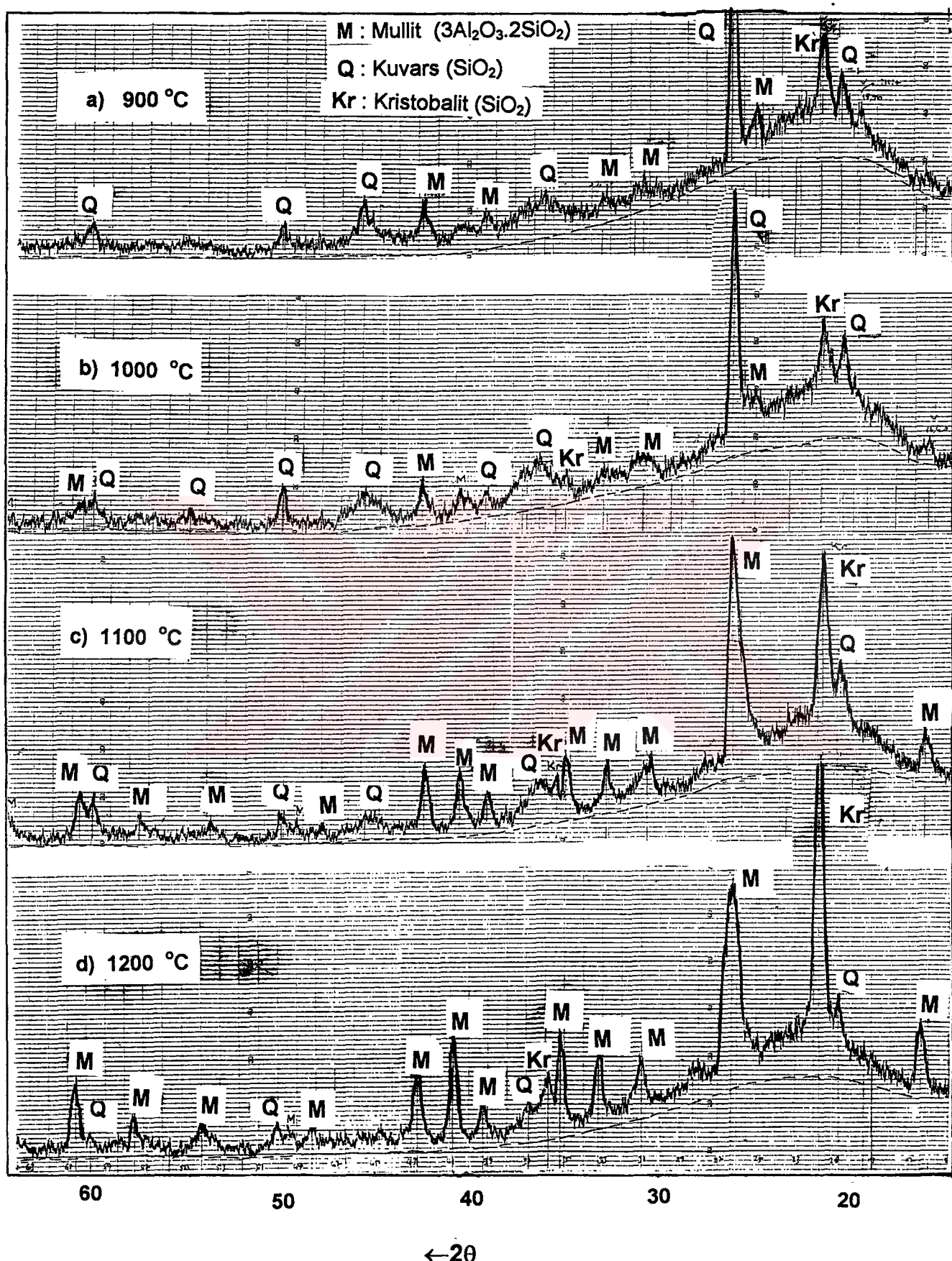
Şekil 6.15 :1200 °C'de sinterlenen Dümbüldek kaolin altlığının gözenek boyut dağılımı

<u>Sinterleme Sıcaklığı (°C)</u>	<u>Altılık (Dümbüldek Kao.)</u>	<u>Altılık (Doğaköy Kaolini)</u>
	<u>Gözenek Miktarı (%)</u>	<u>Gözenek Miktarı (%)</u>
900	27	41
950	25	40
1000	25	42
1050	22	33
1100	20	20
1150	14	21
1200	33	38

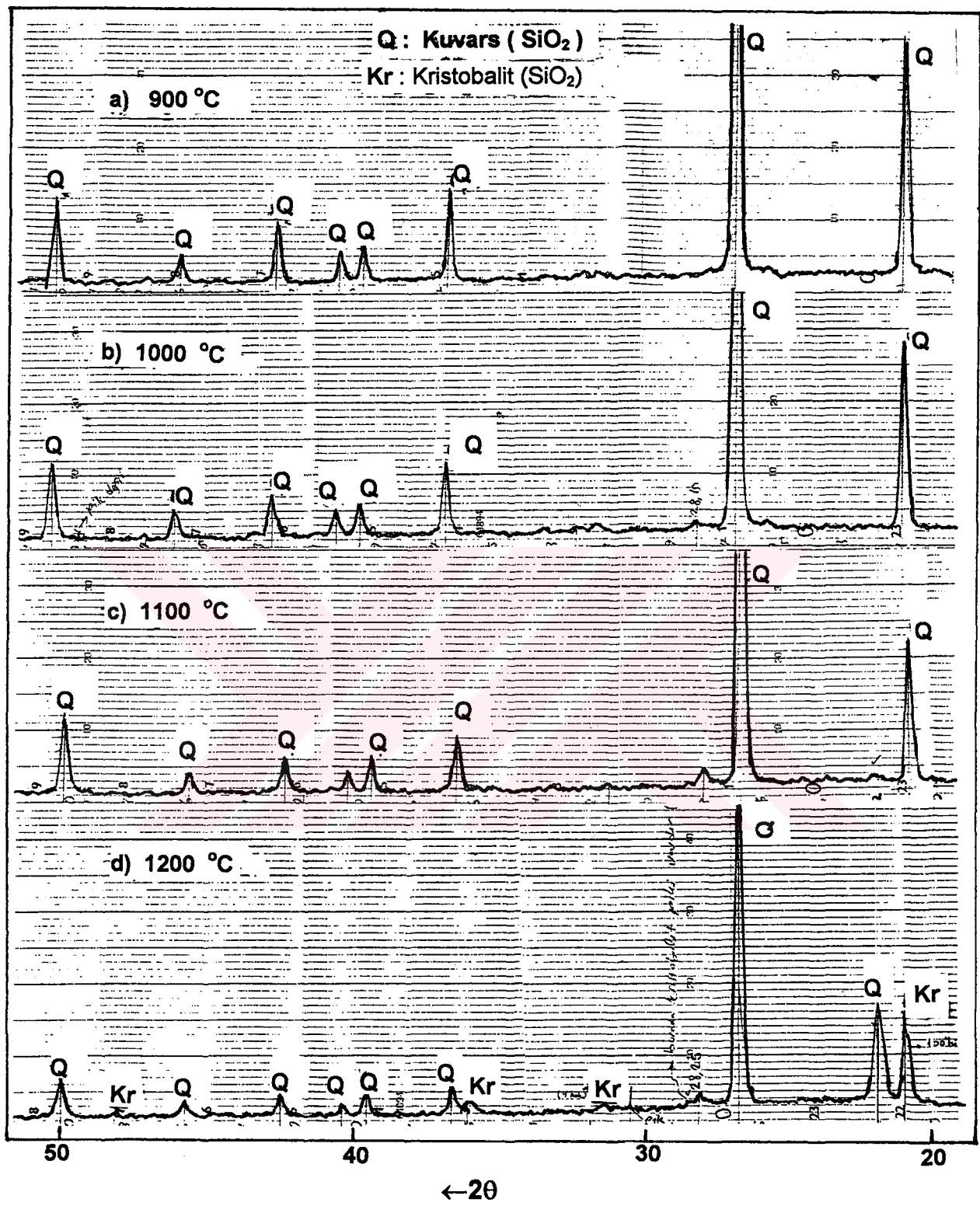
Çizelge 6.2: Farklı sıcaklıklarda sinterlenen kaolin altılıkların Hg-Porozimetrede ölçülen gözenek miktarları

V) Altılıkların XRD ile faz analizleri::

Doğaköy kaolin altlığının X-ray difraktometresinde CuK α radyasyonu kullanılarak yapılan analizlerde bünyede mevcut kaolinit ($Al_2Si_2O_5(OH)_4$) ve alünit ($3Al_2O_3 \cdot 4SO_3 \cdot 8H_2O$) lerin 900 °C'den sonra mullit ($3Al_2O_3 \cdot 2SiO_2$)'e dönüştüğü ve 1100 °C'de mullitin maksimum pik verdiği görülmektedir. Bünyede mevcut diğer mineral kuvarsın ise özellikle 1100 °C'den sonra yavaş yavaş kristobalite dönüşmeye başladığı ve bu dönüşümün 1200 °C'de en yüksek oranda olduğu görülmektedir (**Şekil 6.16**). Dümbüldek kaolin altlığının X-ray analizlerinde ise bünyede büyük bir oranda (ağırlıkça %80) mevcut olan kuvarsa ait pik şiddetlerinin sıcaklığın artmasıyla birlikte azaldığı ve 1200 °C'de kristobalite dönüşmeye başladığı görülmektedir (**Şekil 6.17**). Her iki numune içinde meydana gelen kuvars - kristobalit faz dönüşümü hacimce genleşmeden dolayı porozitenin artmasına neden olmaktadır. (Not: **Şekil 6.16**'da 1100 °C'de sinterlenen kaolinin difraksiyon paternlerinde mullit'in 100'lük piki 2θ :26.40 'da, kuvars'ın 100'lük piki ise 2θ :26.65'de bulunmakta olup birbirine yakın bu iki pikten sadece mullit'e ait olan görülmektedir.)



Şekil 6.16 : Farklı sıcaklıklarda sinterlenen Doğaköy kaolin altlığının XRD ile faz analizi

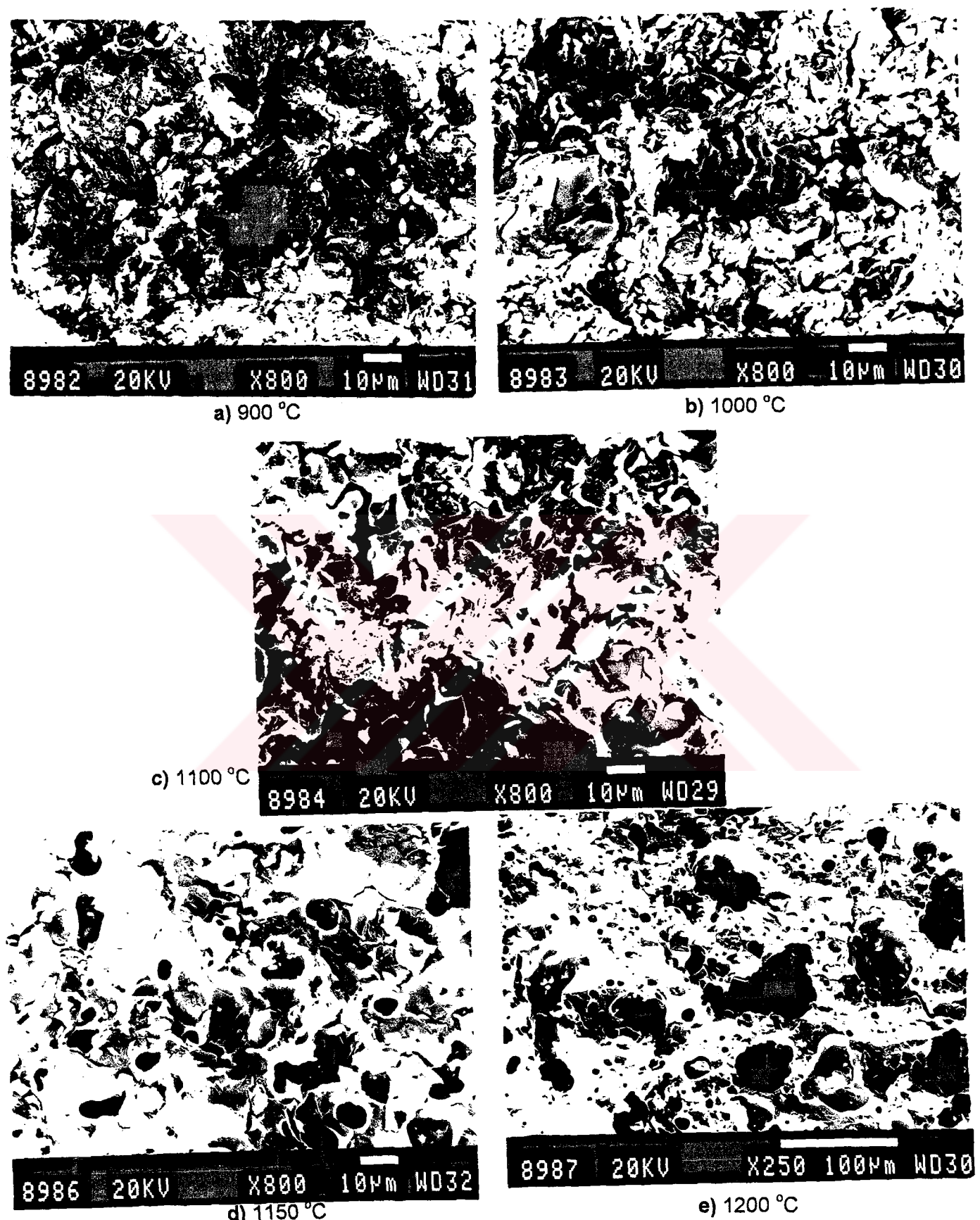


Şekil 6.17 : Farklı sıcaklıklarda sinterlenen Dümbüldek kaolin altlığının XRD ile faz analizi

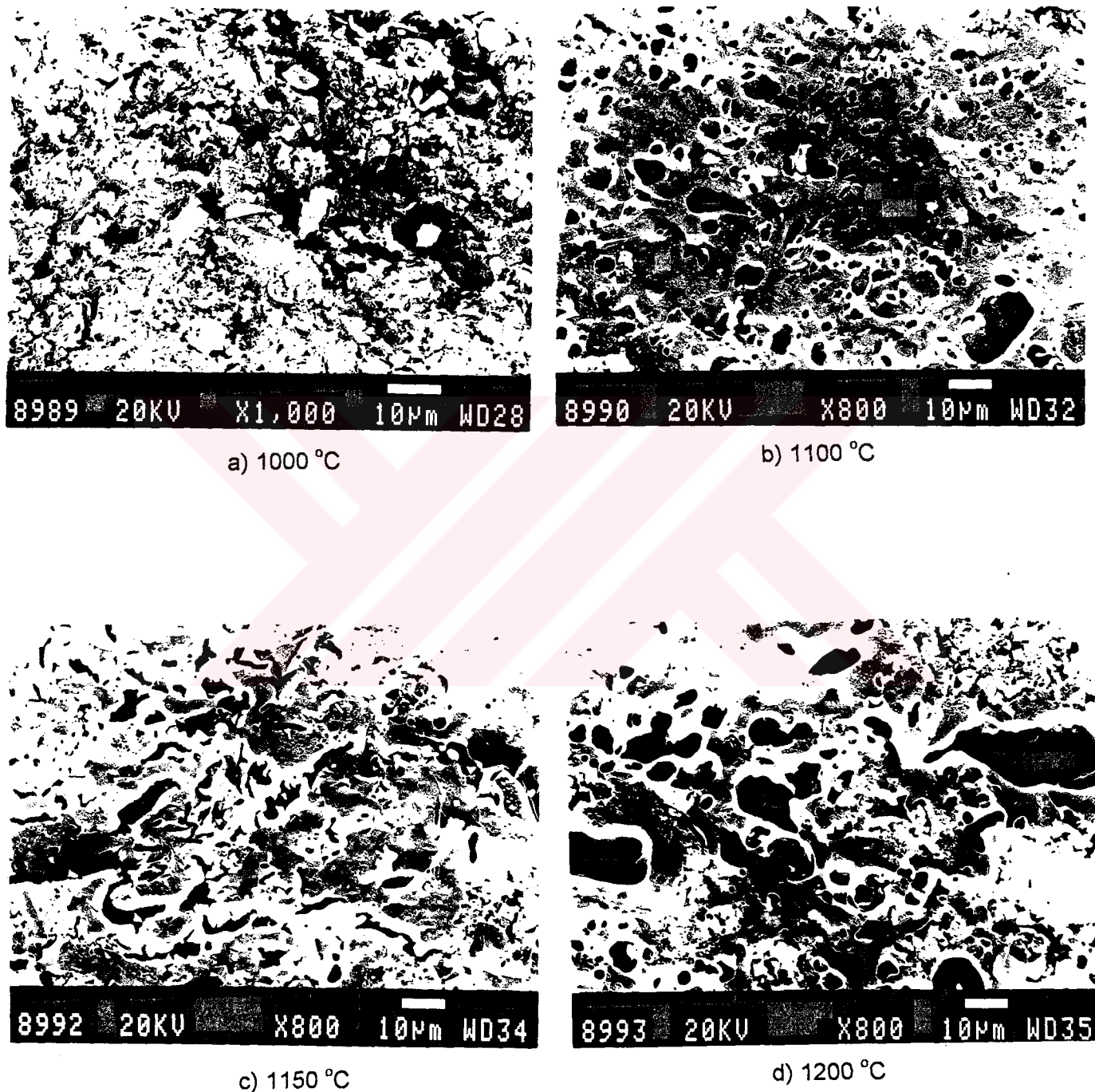
VI) Altılıkların SEM (Scanning Electron Microscope) ile mikroyapı analizleri:

Mineralojik analizleri bilinen Dümbüldek ve Doğaköy kaolin altılıkların 900, 1000, 1100, 1150 ve 1200 °C'de 1 saat ısıl işlem gördükten sonra SEM ile mikro yapıları incelenmiştir. **Şekil 6.18**'deki Dümbüldek kaolin altlığının SEM fotoğraflarından da görüldüğü gibi 900 °C'de tanecikler arasında çok az bir kütlesel bağ mevcuttur ve taneler arası büyük boşluklar bütün bir yapı içerisinde açıkça görülmektedir. 1000 °C'de taneler arası bağın kısmen arttığı fakat yine özellikle büyük tane sınırlarının boşluklarla çevrildiği ve porozite miktarında ise 900 °C'ye göre bir miktar azaldığı görülmektedir. Ayrıca 1000 °C'de bünyede mevcut alkalilerin etkisi ile bir miktar silikat ergiyerek camsı faz oluşturmaya başlamıştır. 1100 °C'de ise sıvı faz miktarının artmasıyla sinterleşmenin arttığı, taneler arası boşluk (porozite)ların azaldığı görülmekte ve bu sebeple mukavemeti de artmaktadır. 1150 °C'de ise porozite miktarının (Bkz. **Şekil 6.3**) minimum olduğu ve bu noktada mekanik mukavemetin (Bkz. **Şekil 6.1**) ve teorik yoğunluğun (Bkz. **Şekil 6.2**) maksimum olduğu tesbit edilmiştir. 1200 °C'de ise fotoğraftada (**Şekil 6.18, d**) görüldüğü gibi porozite miktarında tekrar bir artış olmaktadır. Bu durumun ise bünyedeki sülfat (CaSO_4 vb.)ların ayrışması ve oksit (Fe_2O_3 vb.) lerin indirgenmesi sırasında meydana gelen gaz (O_2) basıncı etkisinden ve kısmen de kuvarsın faz dönüşümüne uğrarken hacimce genleşme göstermesinden kaynaklandığı ifade edilebilir.

Şekil 6.19'de ise Doğaköy kaolin altlığının farklı sıcaklıklardaki mikro yapıları görülmektedir. Yukarıda diğer altlık için yapılan analizlerin hemen hemen aynı burada da geçerlidir. 1150 °C'ye kadar porozite miktarı azalarak en düşük, mukavemet ve yoğunluk ise artarak bu noktada en yüksek değere ulaşmaktadır (Bkz. **Şekil 6.1, 6.2 ve 6.3**). Sinterleşmenin de yine yukarıda da belirtildiği gibi bünyedeki alkalilerin etkisiyle silikatların ergitilerek camsı faz oluştumasından kaynaklandığı ve ayrıca 1200 °C'de meydana gelen porozite artışının ise yine bünyedeki metaloksitlerin indirgenmesi sırasında oluşan O_2 gazının bünyeden çıkmaya çalışması sırasında yaptığı basınç etkisinden dolayı olduğu ifade edilebilir.



Şekil 6.18: Düm慅ek kaolin altlığının SEM'de çekilen mikroyapı fotoğrafları



Şekil 6.19: Doğaköy kaolin altlığının SEM'de çekilen mikroyapı fotoğrafları

6.2 Al₂O₃ Jeller

I) Böhmit tozunun pH-zetapotansiyel analizi:

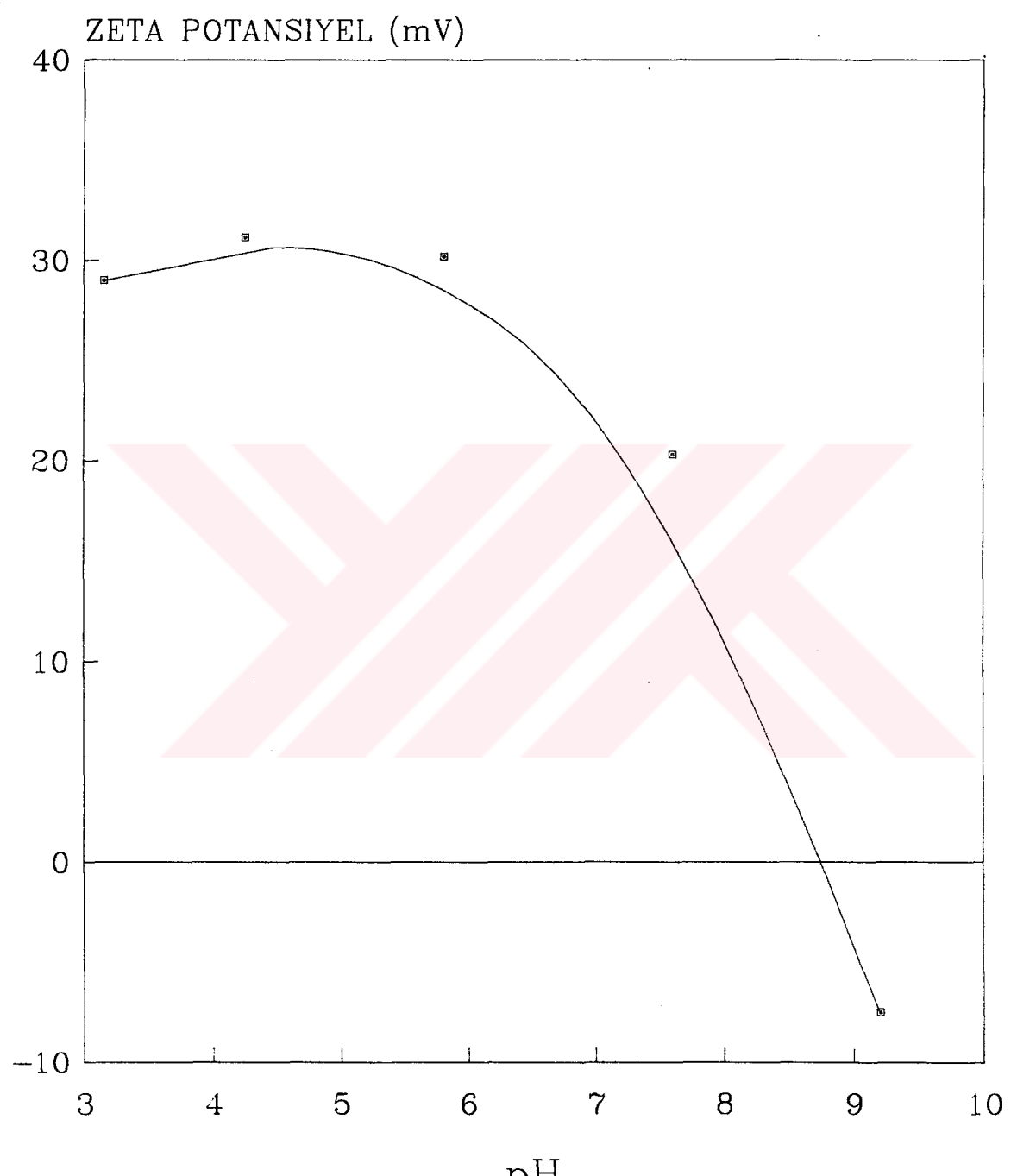
Sol-jel deneylerinde kullanılacak böhmit tozunun solüsyon içerisinde stabil bir dispersyonunu sağlamak için Malvern Zetasizer-3 cihazında pH'ya karşı zetapotansiyel analizi yapıldı. Bu analiz sonuçları **Şekil 6.20**'de gösterilmiştir. Şekildeki eğriye göre böhmit partiküllerinin düşük pH değerlerinde (pH:3-5) yüksek zetapotansiyele sahip olduğu görülmektedir. Dolayısıyla solüsyon içerisinde iyi bir peptizasyon sağlamak için bu pH değerleri baz alınmıştır.

II) Böhmit tozunun tane boyut dağılım analizi:

Deneysel çalışmalarında başlangıç malzemesi olarak kullanılan böhmit tozunun nasıl bir tane boyut dağılımına sahip olduğunu görmek için yine Malvern Zetasizer-3 cihazında tane boyut dağılımı analizi yapılmıştır (**Şekil 6.21**).

III) Katkılı (%2 ve %4 La₂O₃) ve katkısız alümina (Al₂O₃) jellerin XRD ile faz analizi ve La₂O₃'in faz dönüşümüne ($\gamma\text{-Al}_2\text{O}_3 \rightarrow \alpha\text{-Al}_2\text{O}_3$) olan etkisi:

Katkısız ve katkılı alümina jellerin 700, 900, 1000, 1100 ve 1200 °C de 1 saat kalsına edildikten sonra X ışınları toz difraksiyonu analizleri yapılmıştır. Difraksiyon paternlerine bakıldığında 1100 °C 'den itibaren yavaş yavaş γ ve θ Al₂O₃ fazından α Al₂O₃ fazına dönüşümün başladığı ve bu dönüşüm **Şekil 6.22**'deki Al-0 (katkısız) jel için 1200 °C'de bütünüyle tamamlandığı ve burada α Al₂O₃ fazının bütün karakteristik piklerinin yeraldığı görülmektedir. **Şekil 6.23**'deki Al-2 (%2 La₂O₃ katkılı) jelinde ise 1200 °C'deki α fazı pik şiddetlerinin azaldığı ve ayrıca halen jel bünyesinde γ ve θ fazlarına ait piklerin mevcut olduğu görülmektedir. Dolayısıyla %2 La₂O₃ katkılı jelde γ - α dönüşümünün kısmen engellenebildiği görülmüştür. **Şekil 6.24**'deki Al-4 (%4 La₂O₃ katkılı) jelinde ise özellikle 1200 °C'de görülen yüksek şiddetli α -Al₂O₃ piklerinin tamamen şiddetinin azaldığı ve jel yapısının halen büyük bir oranda γ ve θ Al₂O₃ fazında olduğu dolayısıyla 1200 °C'de α -Al₂O₃ fazına dönüşümün büyük oranda engellenebildiği tesbit edilmiştir. Bunun ötesinde γ -alüminadan α -alüminaya dönüşümün çekirdeklenme (nükleasyon) ve tane büyümesi mekanizmasıyla gerçekleştiği bilinen bir husus olup [38], bazı alkali toprak ve nadir toprak elementlerinin oksitlerinin sistemdeki oksijen atomlarının etrafını sararak kararlı α fazını oluşturacak kristal hücredeki yerlerini almalarını önlemekte ve dolayısıyla α fazı çekirdeklenmesini engellemektedir. Bu durum ise γ alüminadan α alüminaya dönüşümün gerçekleşmemesi demektir. Böylece γ alümina yüksek sıcaklıklarda termal stabilitesini sağlamış olmaktadır [39 , 40].



Şekil 6.20: Böhmit ($\text{AlO}(\text{OH})$)in pH'ya göre zetapotansiyel değerleri

. PER CENT.

. 50.

. 20.

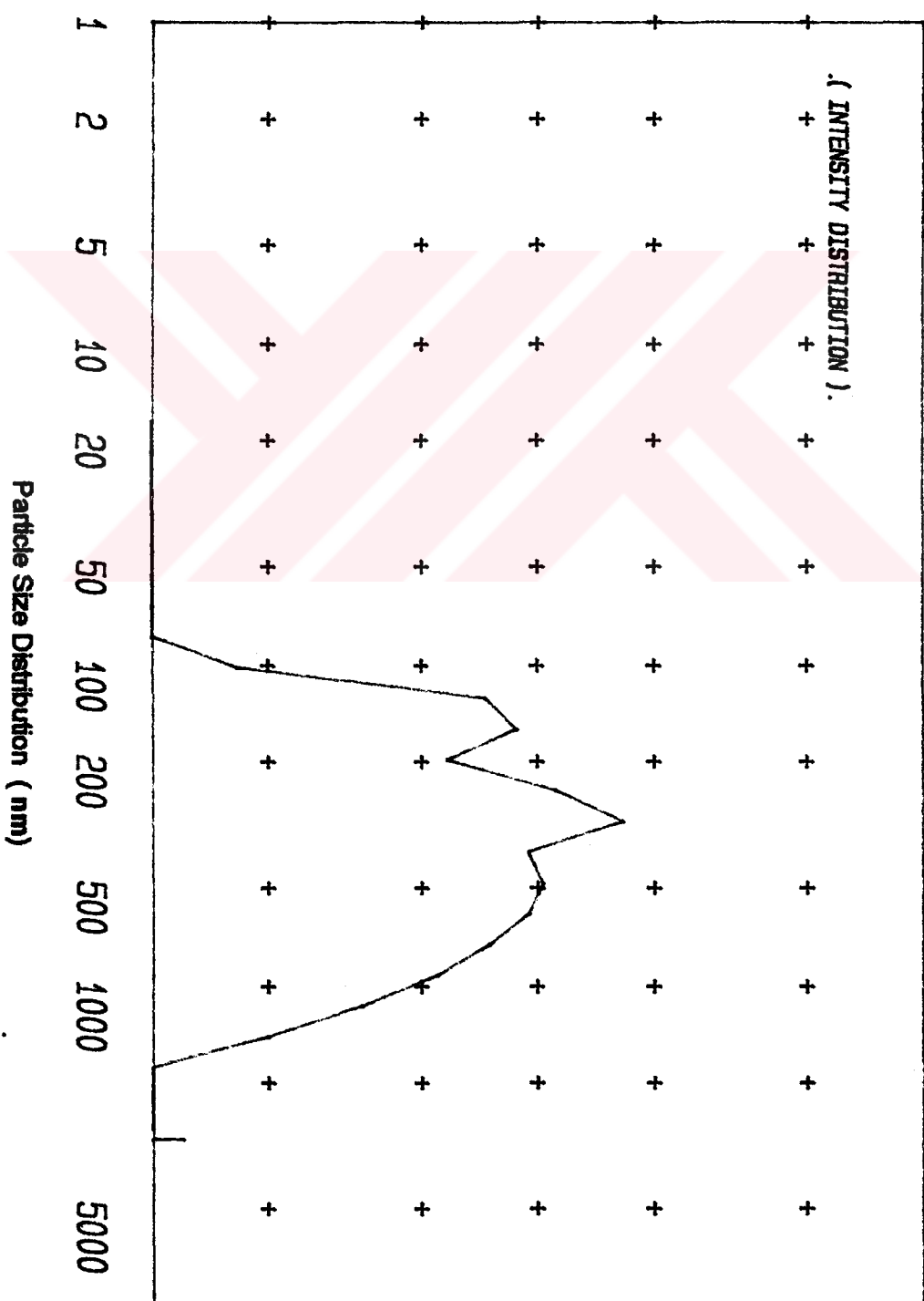
. 10.

. 5.

. 2.

. 1.

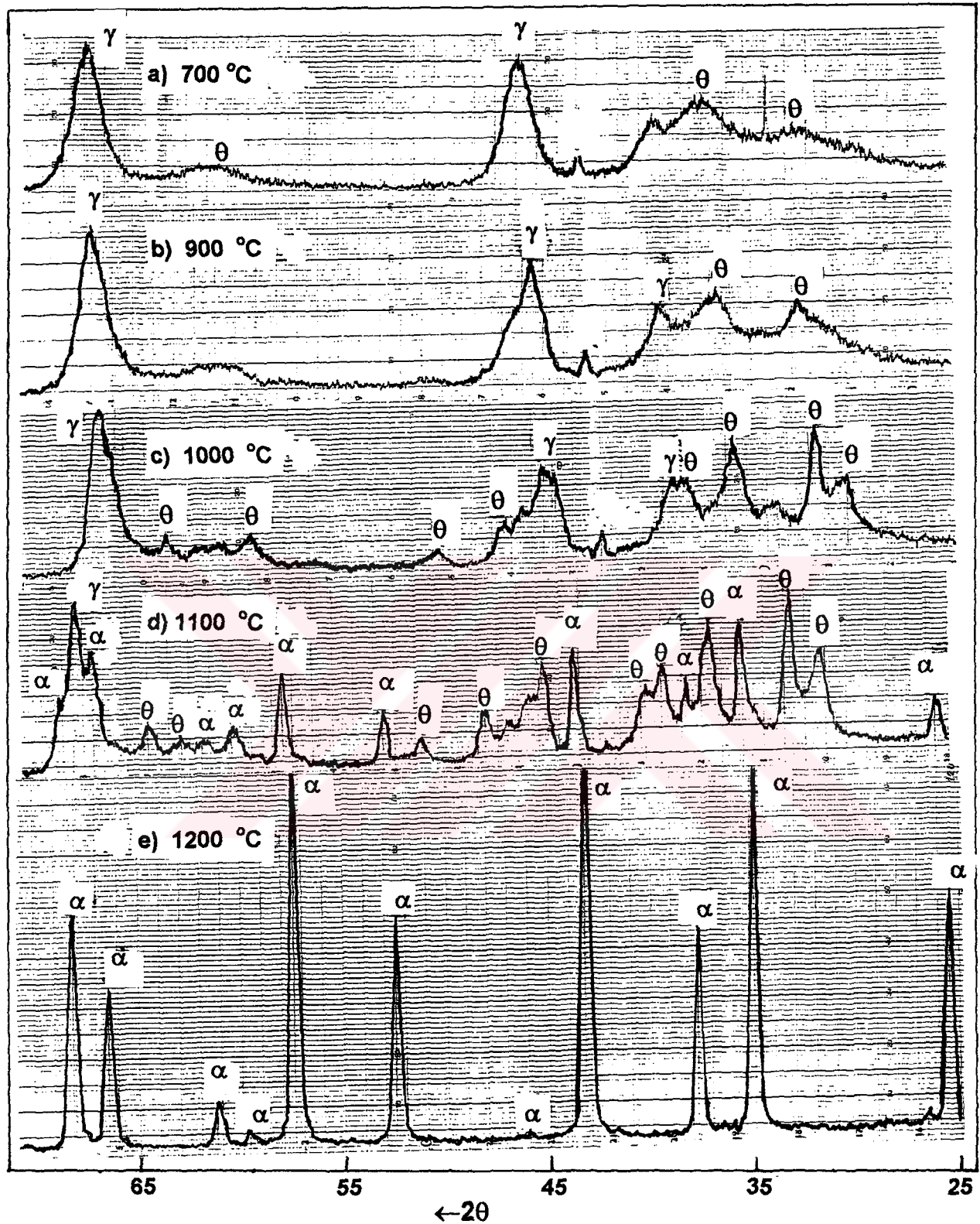
(INTENSITY DISTRIBUTION).



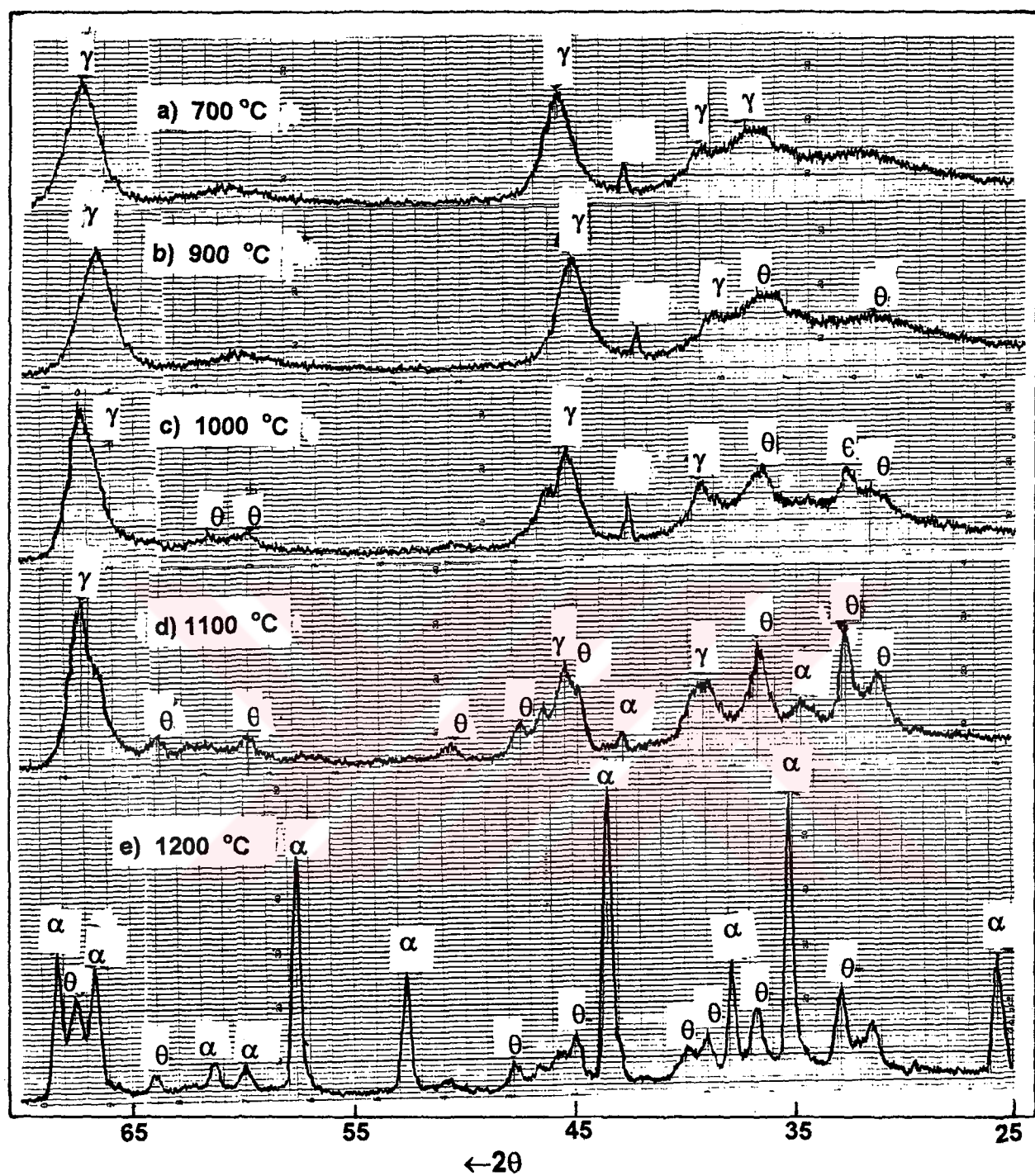
. KEITH CERAMICS (BOHMIT)

Data from accumulation file z Average Mean 245.3 Poly 0.398.

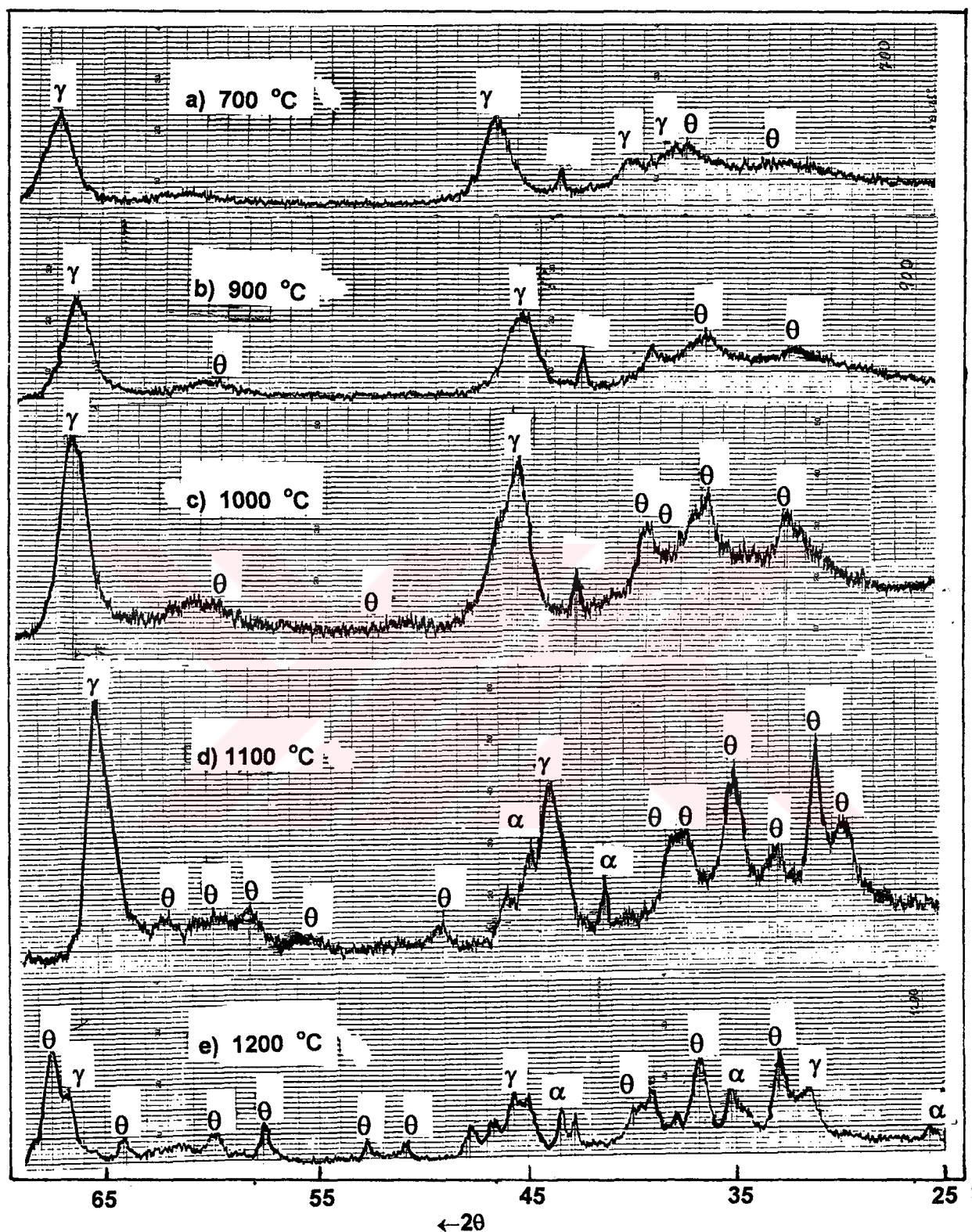
Şekil 6.21: Böhmitin tane boyut dağılımı



Şekil 6.22: Farklı sıcaklıklarda kalsine edilen Al-O jelinin X ışınları analizi



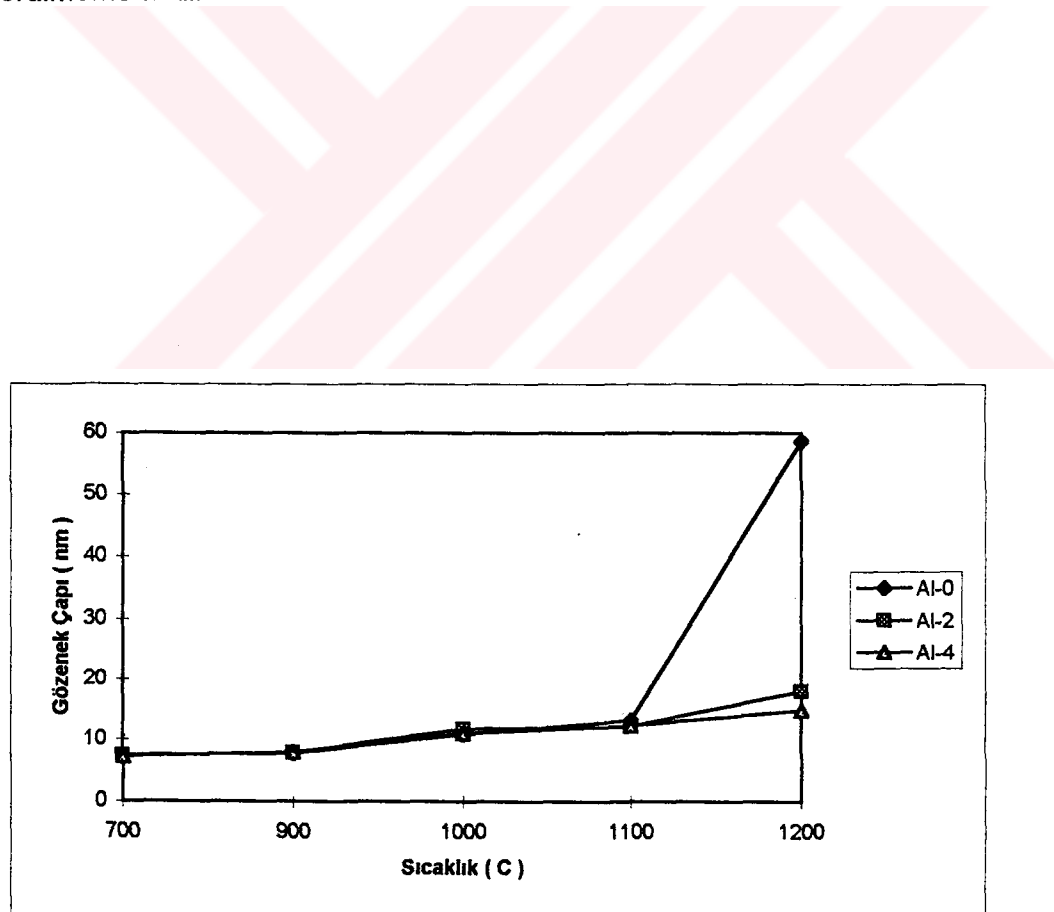
Şekil 6.23: Farklı sıcaklıklarda kalsına edilen Al-2 jelinin X ışınları analizi



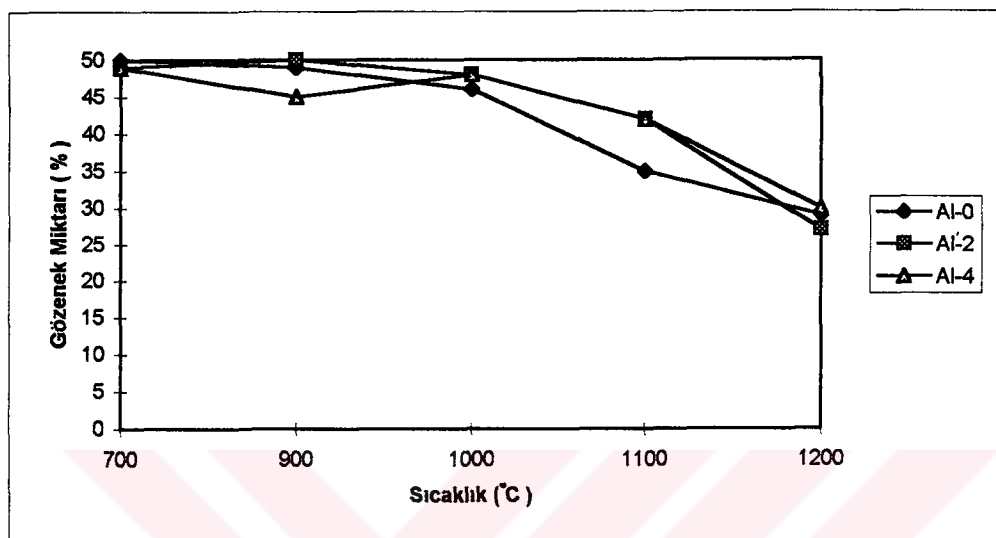
Şekil 6.24: Farklı sıcaklıklarda kalsine edilen Al-4 jelinin X ışınları analizi

IV) Hg-Porozimetrede gözenek boyut ve dağılımlarının tesbiti:

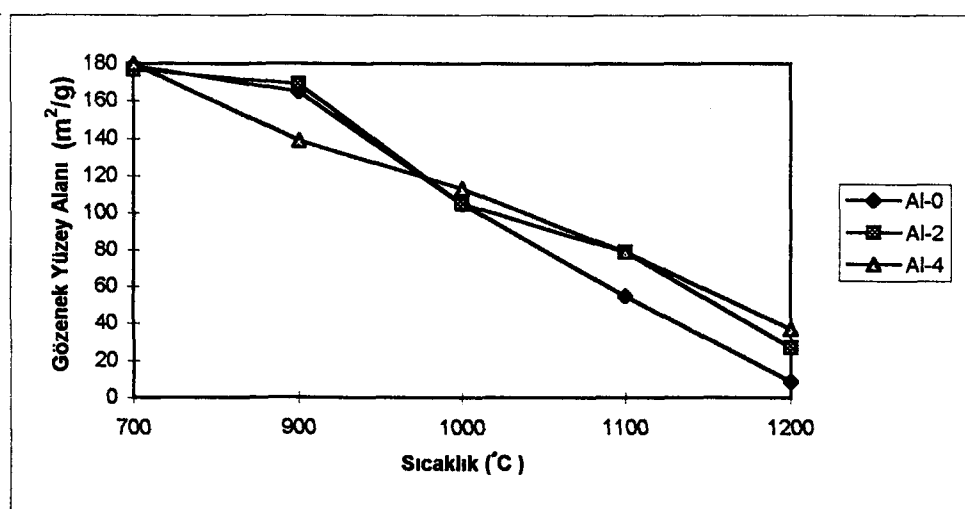
Şekil 6.25 ve **6.26**'da verilen grafikler incelendiğinde jellerin gözenek çaplarının kalsinasyon sıcaklığının artmasına paralel olarak büyüğü ve gözenek miktarının ise azaldığı görülmektedir. Gözenek çapının katkısız Al-0 jelinde 1100 °C'den sonra ani olarak artmasının nedeni şu şekilde ifade edilebilir; Kararsız γ -Al₂O₃ fazındaki jelin bünyesinde mevcut oksijen atomlarının kararlı α -Al₂O₃ fazını oluşturmak için kristal yapı içerisinde olması gereken yerlerini alarak atomsal boyuttaki boşlukları doldurup (gözenek miktarını ve yüzey alanını azaltıp) α -Al₂O₃ faz yapısını meydana getirirken bu kez sistemdeki taneler arası boşlukların (gözeneklerin) büyümesi durumu ortaya çıkmakta ve bu nedenle gözenek çaplarında büyük artışlar olmaktadır. Bu faz dönüşümü %4 La₂O₃ katkısı ile engellenmekte ve bu nedenle Al-4 jelinin mikroyapısında belirgin bir değişim (gözenek boyutunda ani bir yükselme) görülmemektedir.



Şekil 6.25: Katkısız (Al-0: %100 Al₂O₃) ve katkılı (Al-2: %2 La₂O₃ + %98 Al₂O₃ , Al-4: %4 La₂O₃ + %96 Al₂O₃) alümina jellerin kalsinasyon sıcaklığına göre gözenek çapı değişimleri



Şekil 6.26: Katkısız (Al-0) ve katkılı (Al-2, Al-4) alümina jellerin kalsinasyon sıcaklığına göre gözenek miktarlarının değişimi



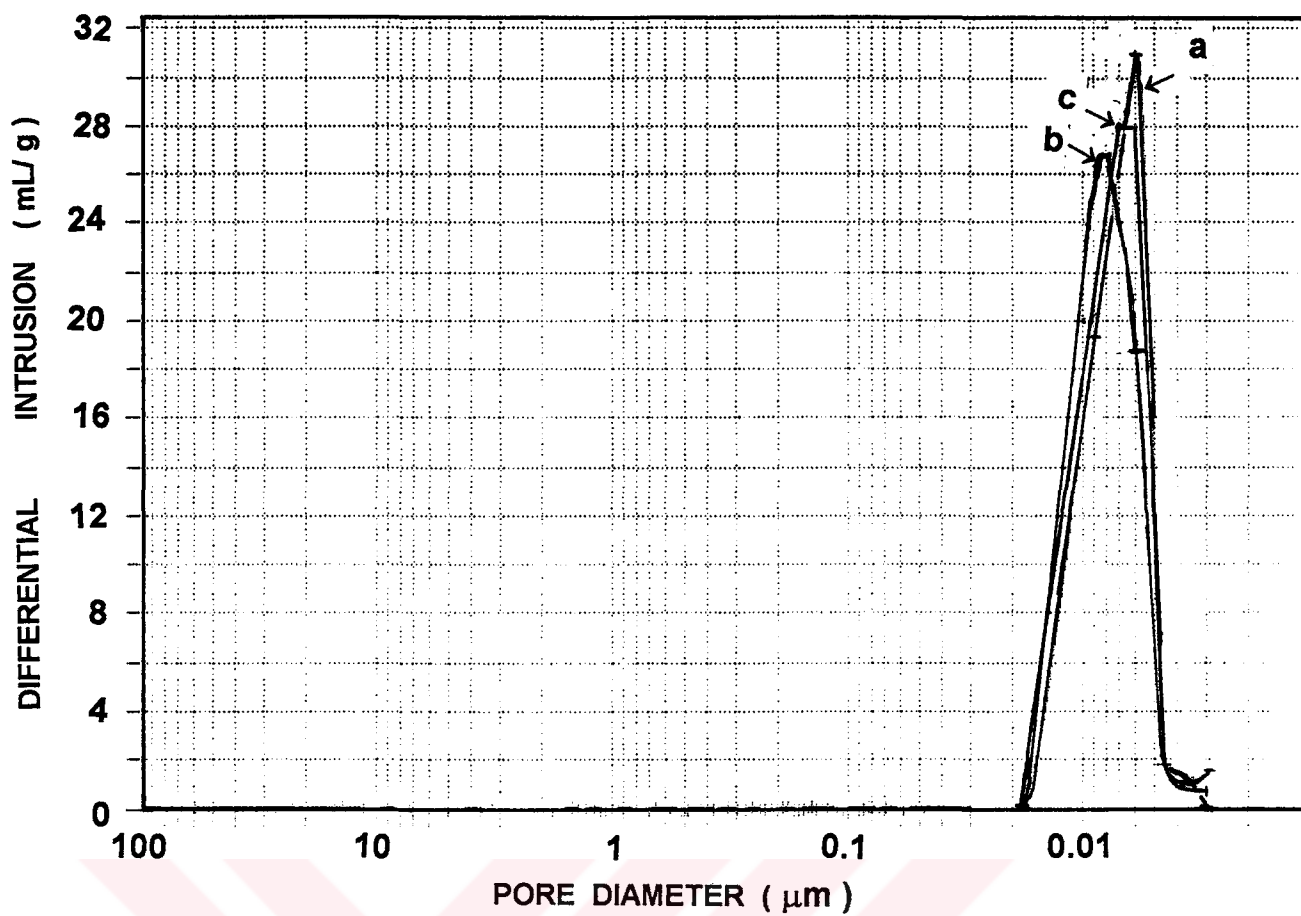
Şekil 6.27: Katkısız (Al-0) ve katkılı (Al-2, Al-4) alümina jellerin kalsinasyon sıcaklığına göre gözenek yüzey alanlarının değişimi

Şekil 6.27'de verilen kalsinasyon sıcaklığına göre toplam gözenek yüzey alanı (Total Pore Area, m^2/g) eğrileri incelendiğinde toplam por alanının kalsinasyon sıcaklığının artmasına paralel olarak azalduğu (küçük gözeneklerin kapanması) ve en çok azalmanın Al-0'da en düşük azalmanın ise Al-4'de gerçekleştiği görülmektedir.

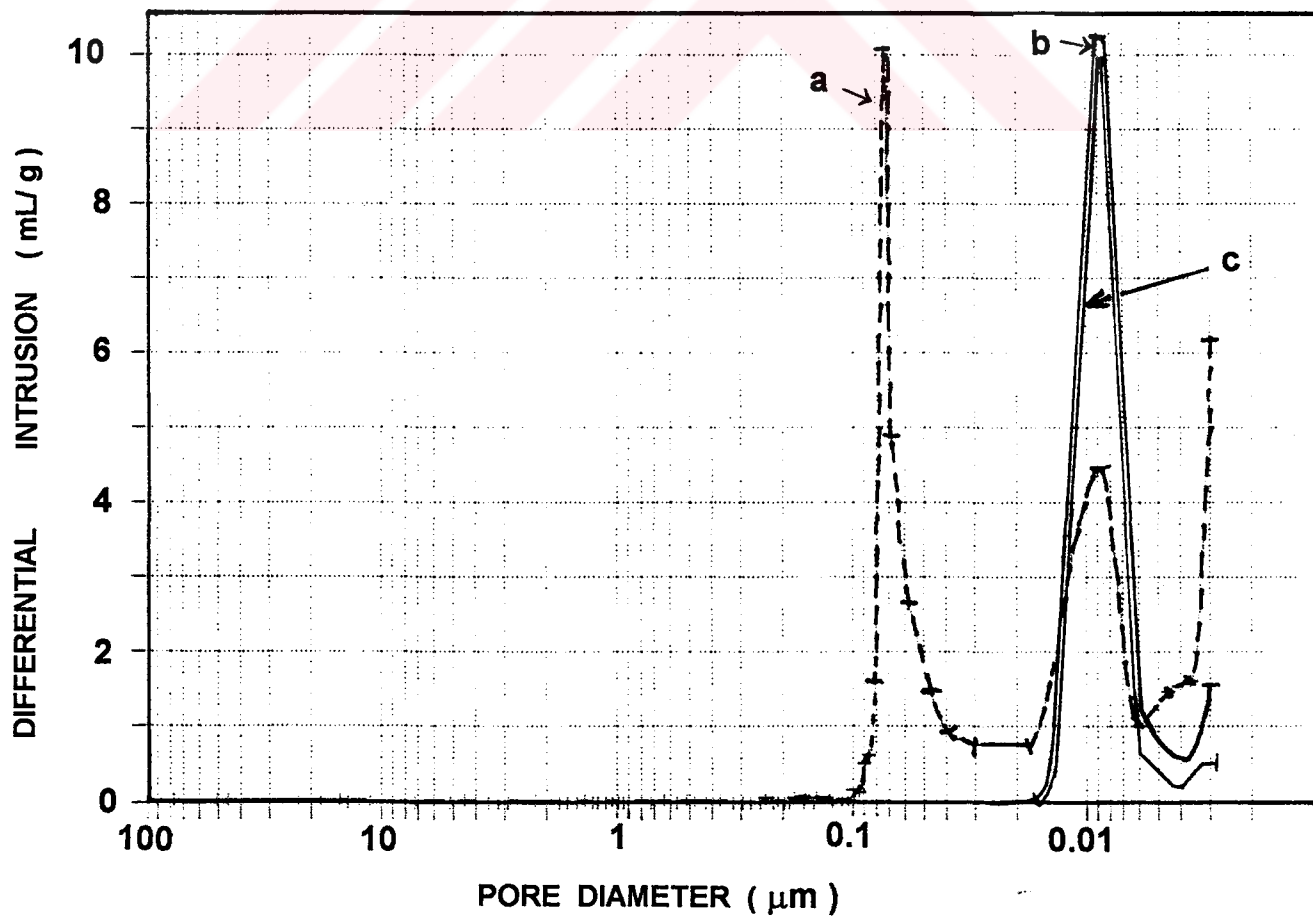
katkısız (Al-0) ve katkılı (Al-2, Al-4) jellerin termal stabiliteleri arasındaki farkı görmek için **Şekil 6.28** ve **6.29**'daki gözenek boyut dağılım eğrilerini karşılaştırmak gereklidir. **Şekil 6.28'de** $1000^{\circ}C$ 'de 1 saat kalsine edilen Al-0, Al-2 ve Al-4 jellerinin gözenek boyut dağılımları arasında belirgin bir fark gözükmezken **Şekil 6.29'da** yine aynı sıcaklıkta fakat 48 saat süre ile kalsine edilen katkısız Al-0 jel ile katkılı AL-2 ve Al-4 jellerinin gözenek boyut dağılımları arasındaki fark açıkça görülmektedir. Bu durum Al-0 jelinin yüksek sıcaklıklarda bünye yapısını koruyamadığını ($\gamma Al_2O_3 - \alpha Al_2O_3$ faz dönüşümünü engelleyemediği) ve dolayısıyla mikroyapılarının değişerek γ fazı açısından termal kararlılığını düşürdügünü göstermektedir. Ayrıca **Şekil 6.29'daki** jellerin aynı zamanda kümülatif gözenek boyut dağılımları da verilmiştir (**Şekil 6.30**). Buradaki Al-4 ve Al-2 eğrilerinin düşey çizgilerinin dik olması, bükülme göstermemesi gözenek boyutlarının dar bir aralıkta ve homojen bir yapıda olduğunu göstermektedir.

Bundan başka alümina jellerin (Al-0, Al-2 ve Al-4) kalsinasyon sıcaklığına (**Şekil 6.31**, **6.32** ve **6.33**) ve kalsinasyon süresine (**Şekil 6.34**, **6.35** ve **6.36**) göre gözenek boyut dağılımlarının nasıl değiştiği incelenmiştir. Buradaki eğrilere bakıldığında Al-4 jelinin dağılım eğrilerinin birbirine çok yakın olduğu ve dağılım eğrileri arasında düzenli bir azalmanın olduğu görülebilir. Oysa Al-0 jelinin gözenek boyut dağılımının kalsinasyon süresi ve sıcaklığının artmasıyla ani bir artış gösterdiği ve eğrinin tek bir dağılımdan iki ayrı dağılıma kaydığı dolayısıyla gözenek yapısının değiştiğini göstermektedir.

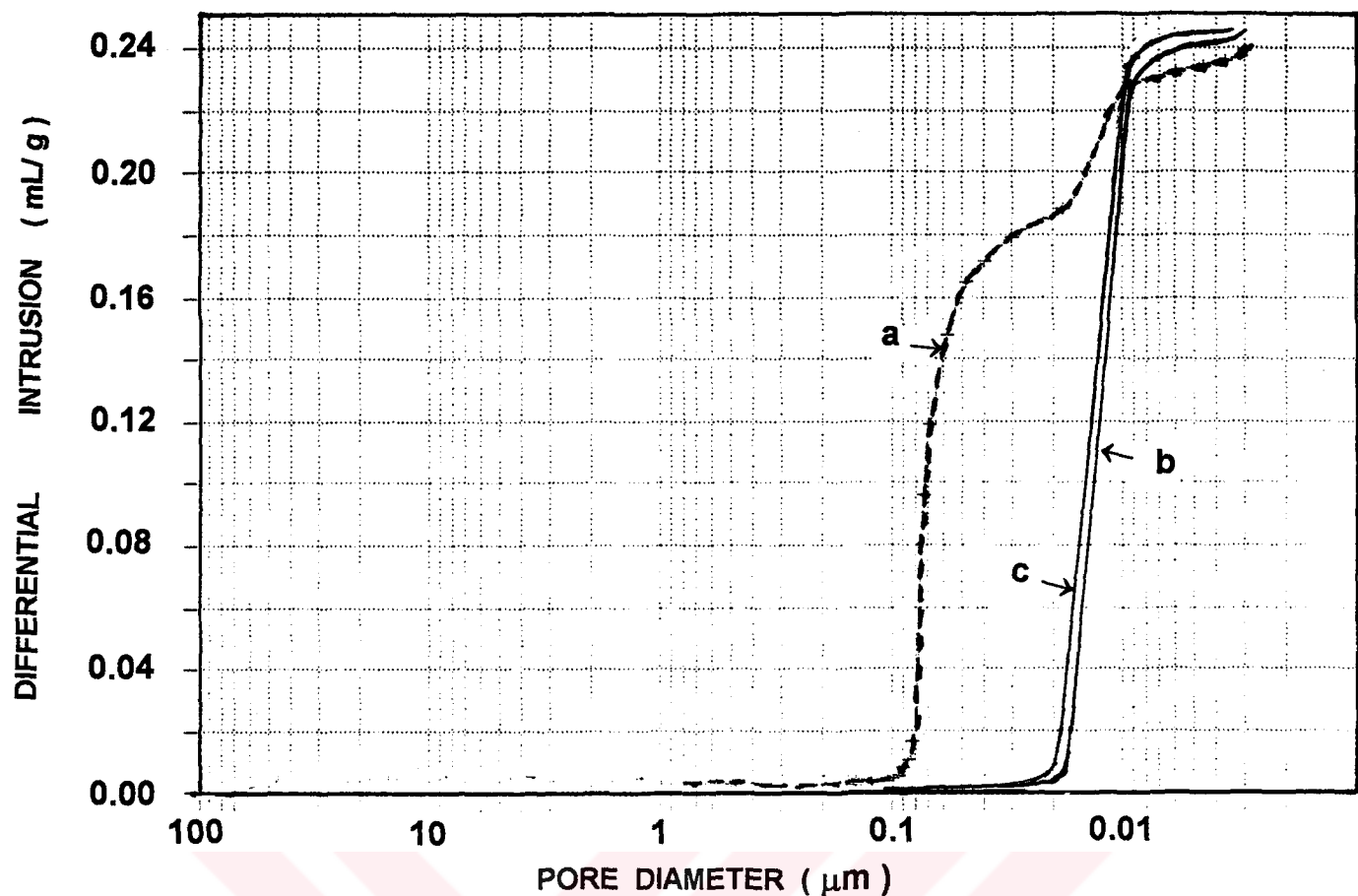
Ayrıca yine jellerin, kalsinasyon sürelerine göre gözenek miktarı, gözenek çapı ve gözenek yüzey alanları değişim eğrileri aşağıda **Şekil 6.37**, **6.38**, **6.39** ve **6.40**'da verilmiştir.



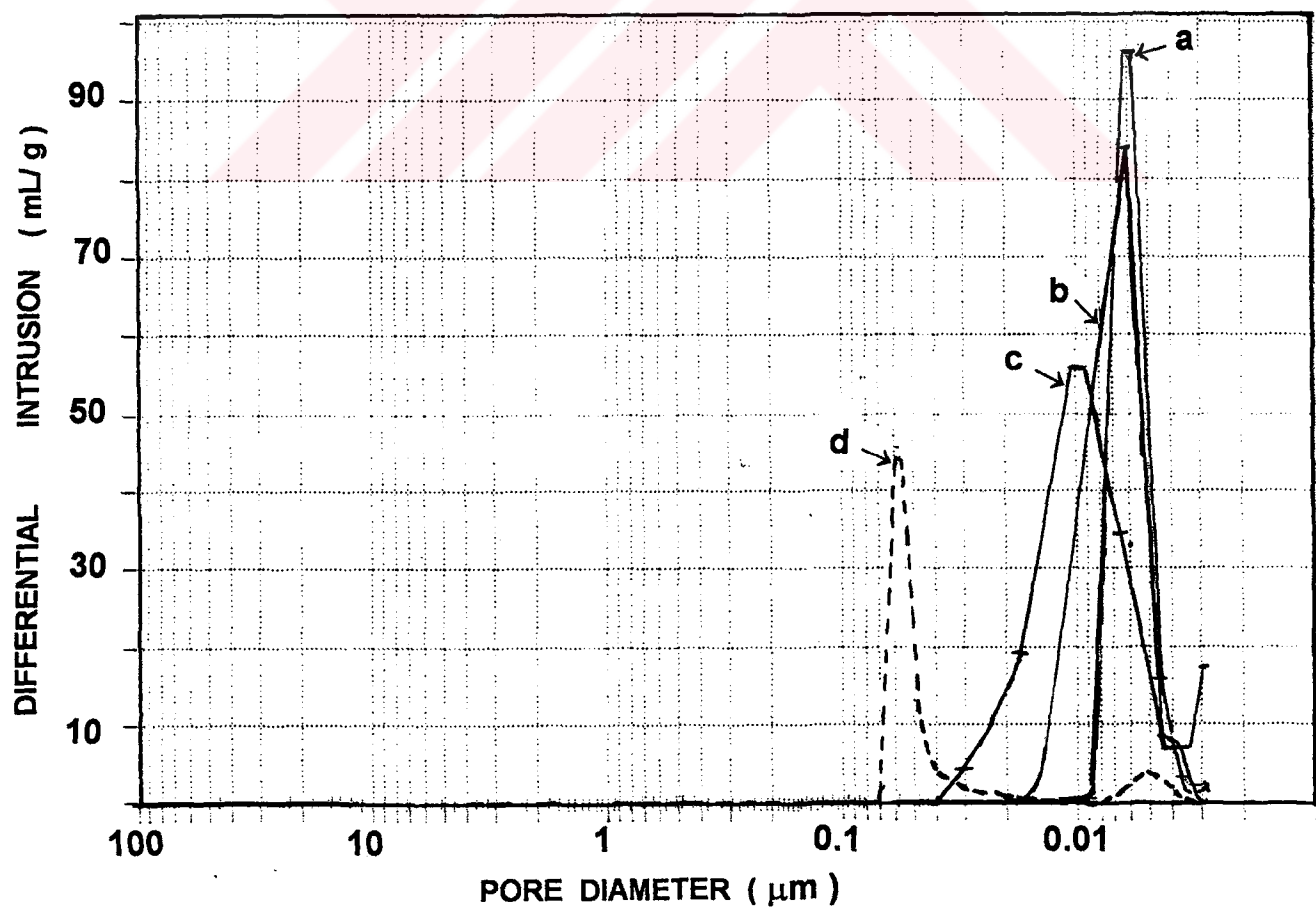
Şekil 6.28: 1000 °C'de 1 saat kalsıne edilen alüminya jellerin gözenek boyut dağılımları; a) Al-0 (katkısız, %100 Al_2O_3), b) Al-2 (%2 La_2O_3 +%98 Al_2O_3) ve c) Al-4 (%4 La_2O_3 + %96 Al_2O_3)



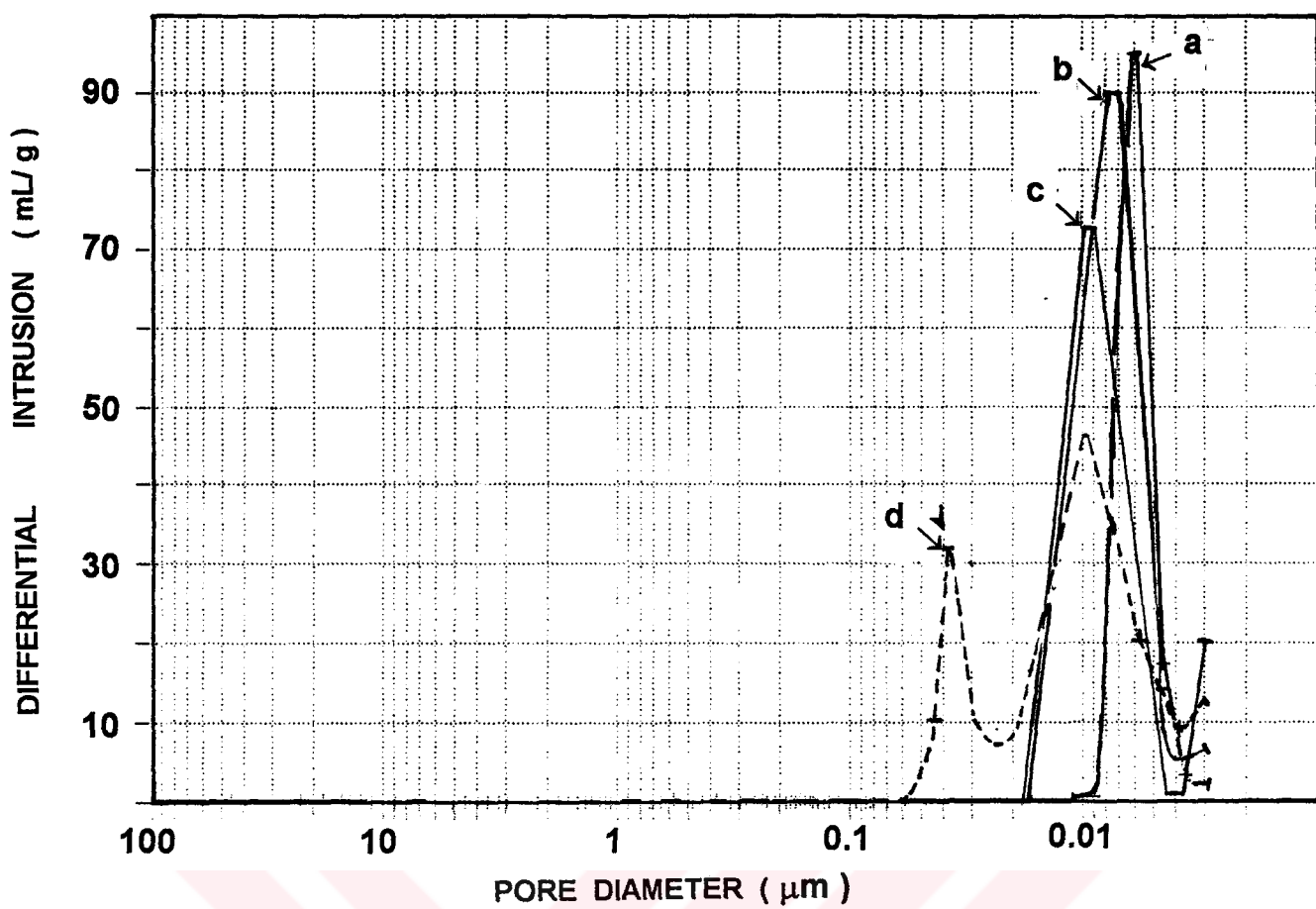
Şekil 6.29: 1000 °C'de 48 saat kalsıne edilen alüminya jellerin gözenek boyut dağılımları; a) Al-0, b) Al-2 ve c) Al-4



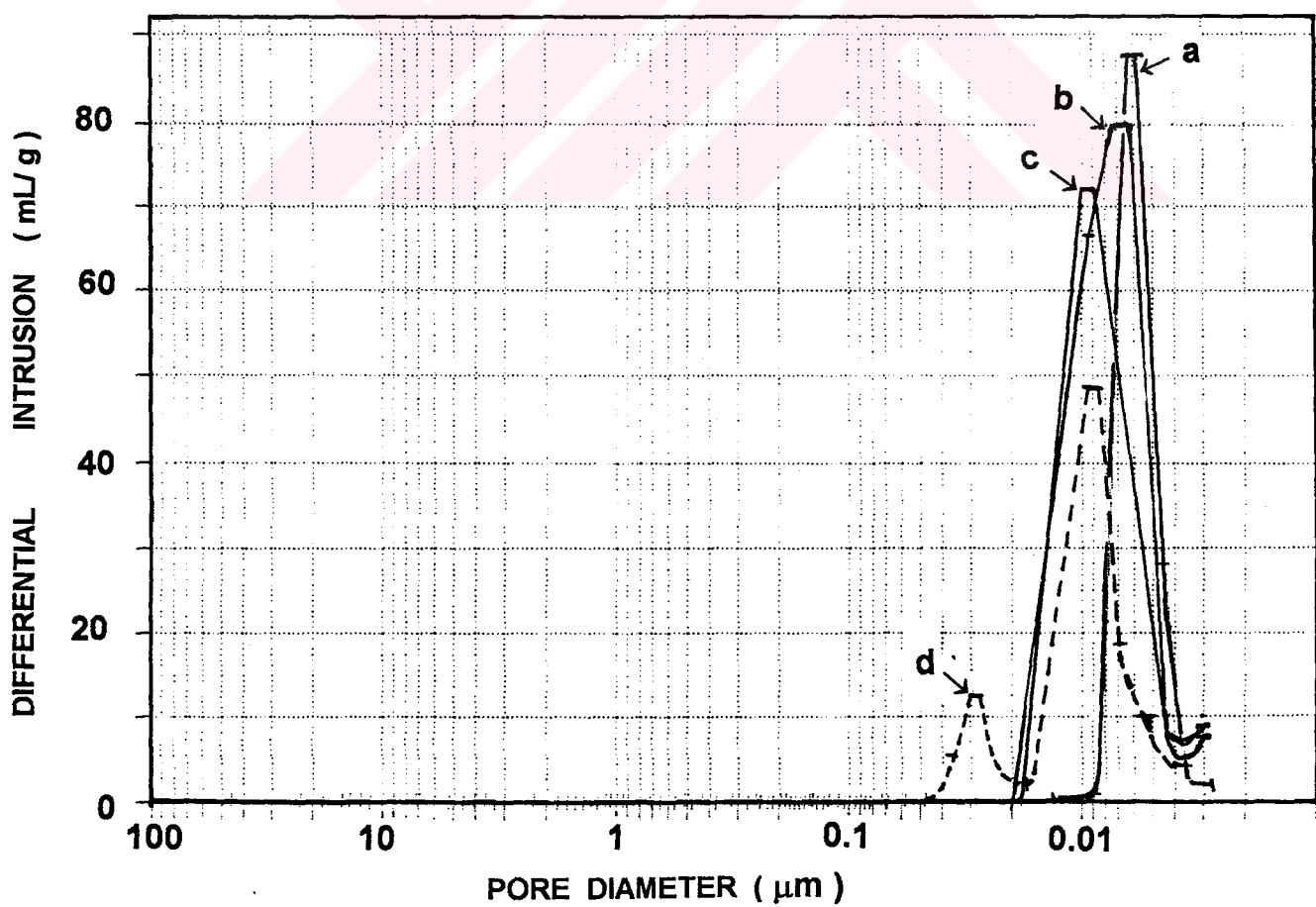
Şekil 6.30 : 1000 °C'de 48 saat kalsine edilen alümina jellerin kümülatif gözenek boyut dağılımları; a) Al-0, b) Al-2 ve c) Al-4



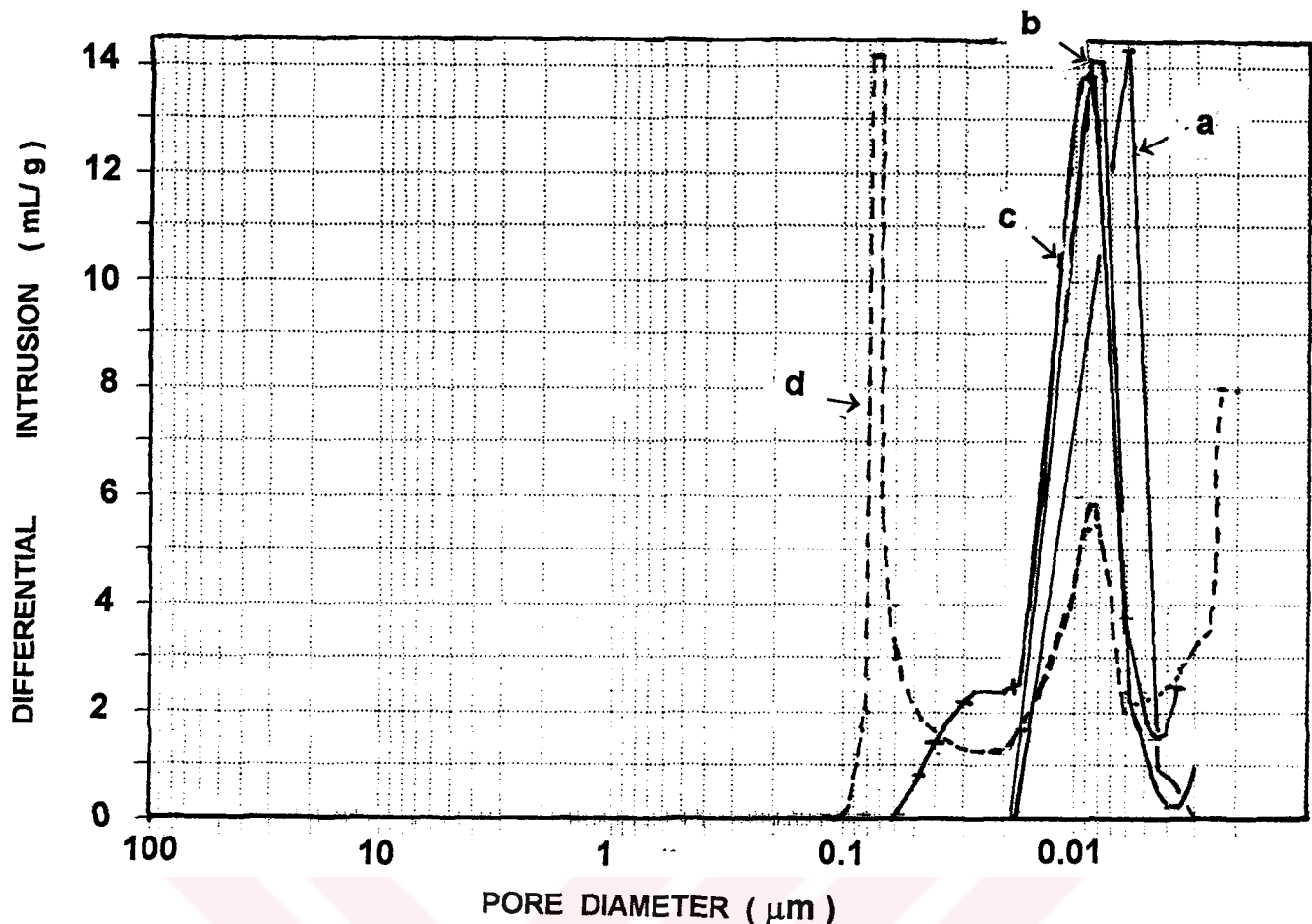
Şekil 6.31 : Farklı sıcaklıklarda kalsine edilen Al-0 jelinin gözenek boyut dağılımları;
a) 700, b) 1000, c) 1100 ve d) 1200 °C



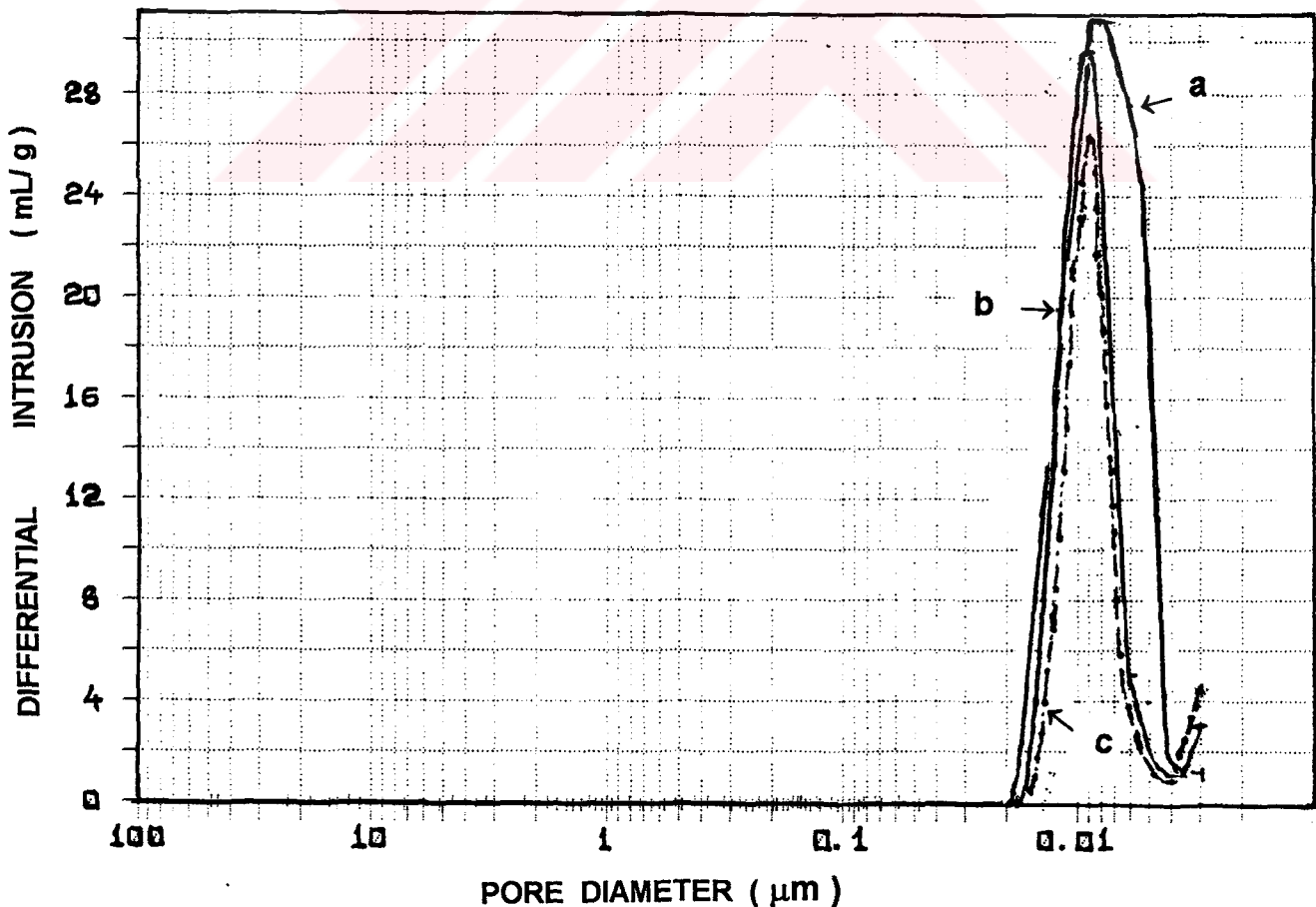
Şekil 6.32 : Farklı sıcaklıklarda kalsine edilen Al-2 jelinin gözenek boyut dağılımları;
a) 700, b) 1000, c) 1100 ve d) 1200 °C



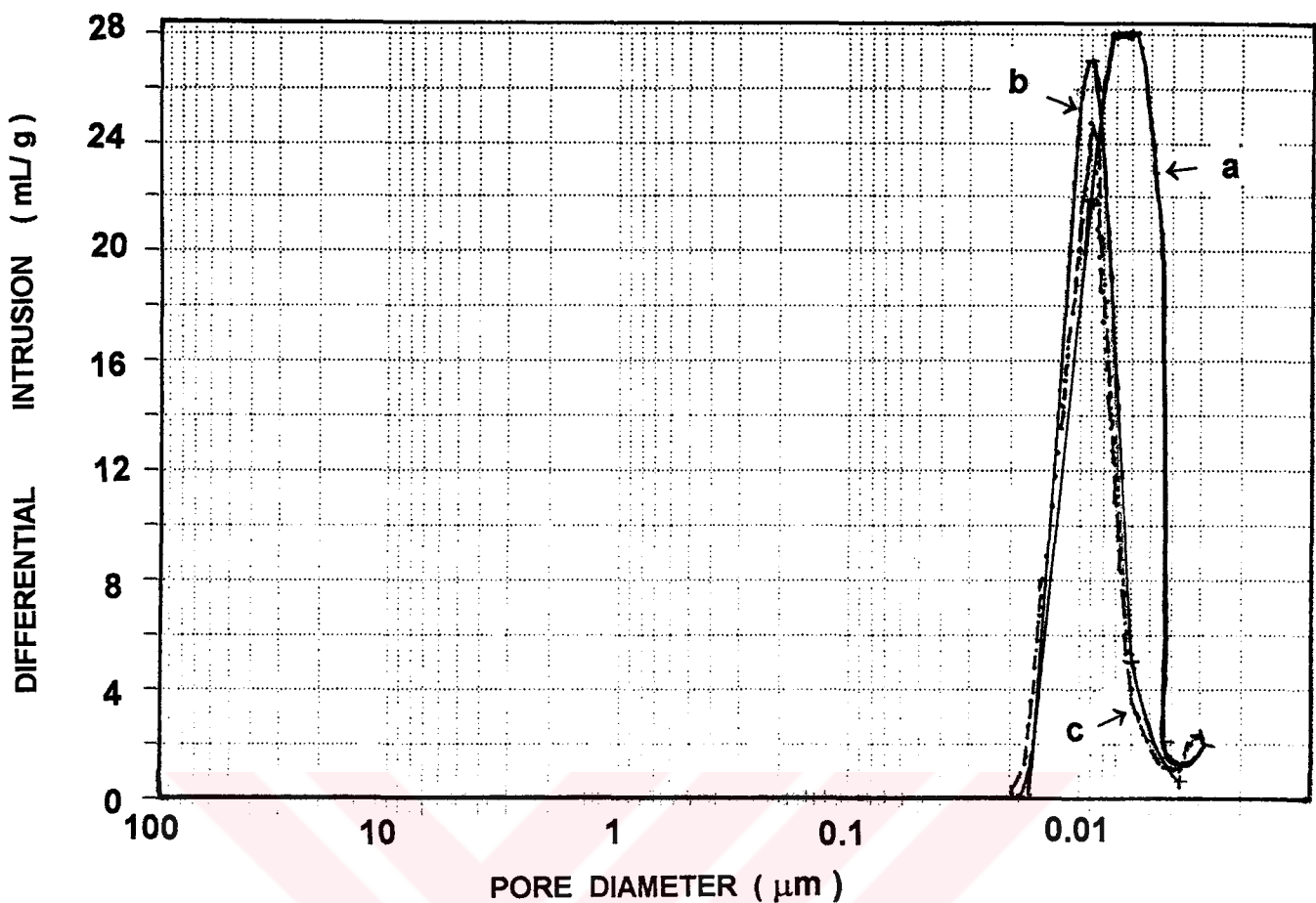
Şekil 6.33 : Farklı sıcaklıklarda kalsine edilen Al-4 jelinin gözenek boyut dağılımları;
a) 700, b) 1000, c) 1100 ve d) 1200 °C



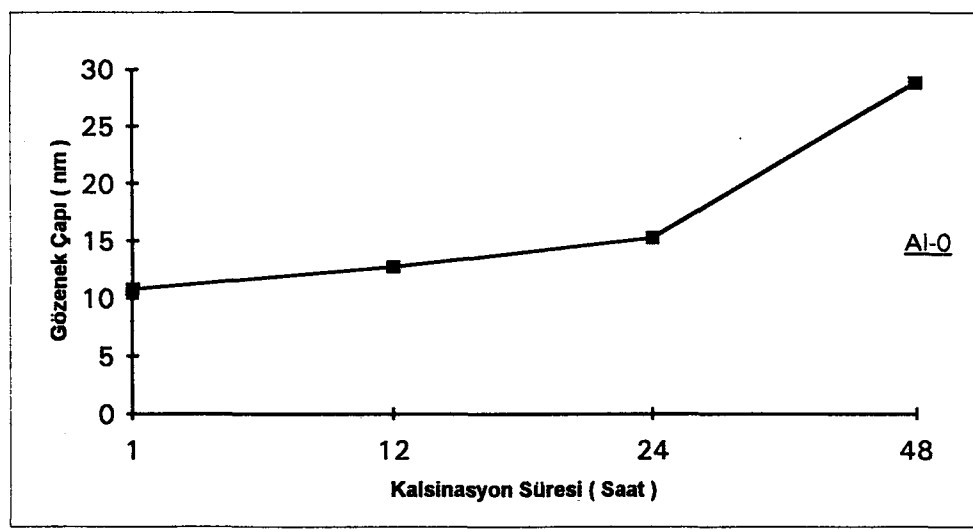
Şekil 6.34 : 1000 °C'de farklı sürelerde kalsine edilen Al-0 (katkısız) jelinin gözenek boyut dağılımları; a) 1 , b) 12, c) 24 ve d) 48 saat



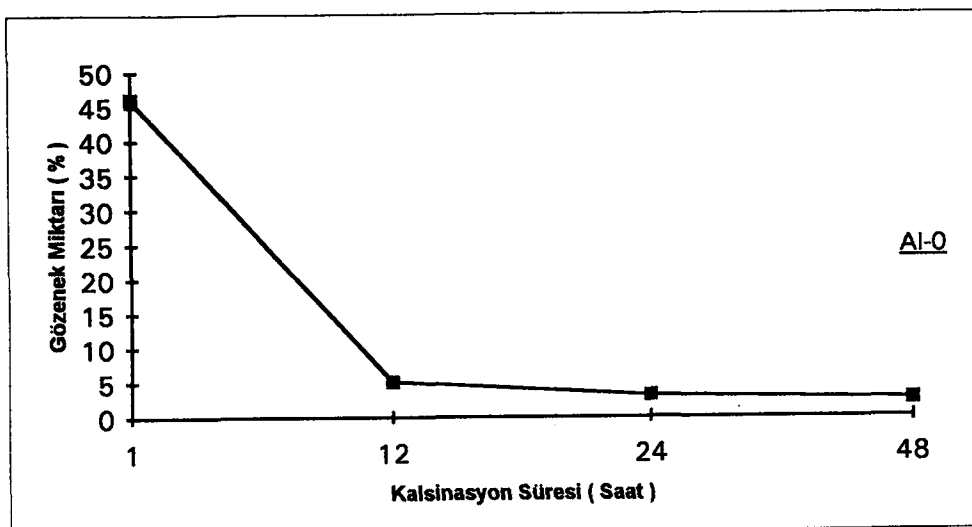
Şekil 6.35 : 1000 °C'de farklı sürelerde kalsine edilen Al-2 (%2 La₂O₃ katkılı) jelinin gözenek boyut dağılımları; a) 1 , b) 12, c) 48 saat



Şekil 6.36 1000 °C'de farklı sürelerde kalsine edilen Al-4 (%4 La₂O₃ katkılı) jelinin gözenek boyut dağılımları; a) 1 , b) 12, c) 48 saat



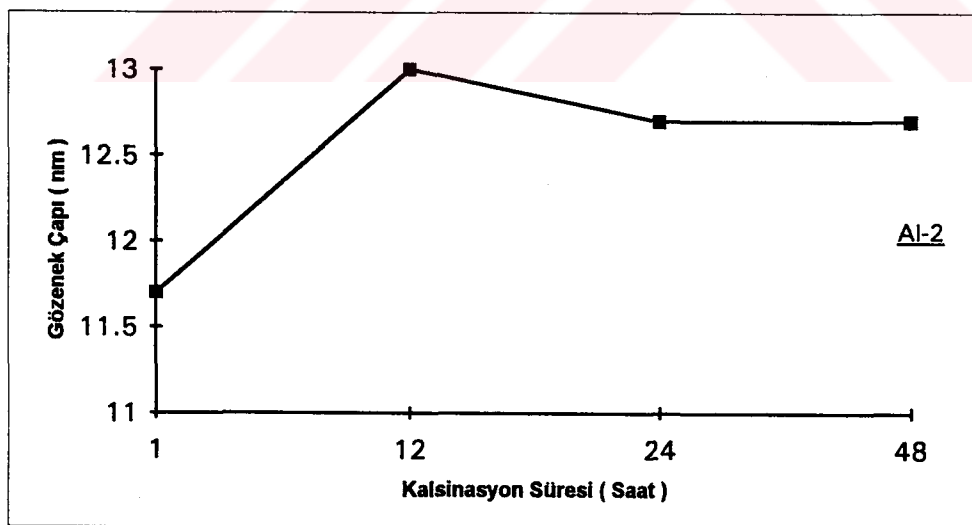
a)



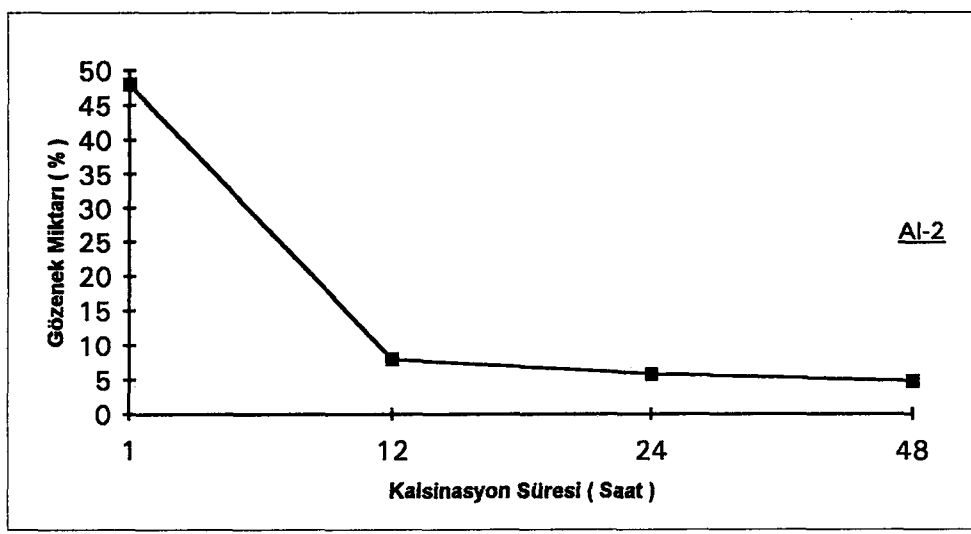
b)

Şekil 6.37 : Al-0 jelinin kalsinasyon süresine göre;

- a) Gözenek çapı ve b) Gözenek miktarının değişimi

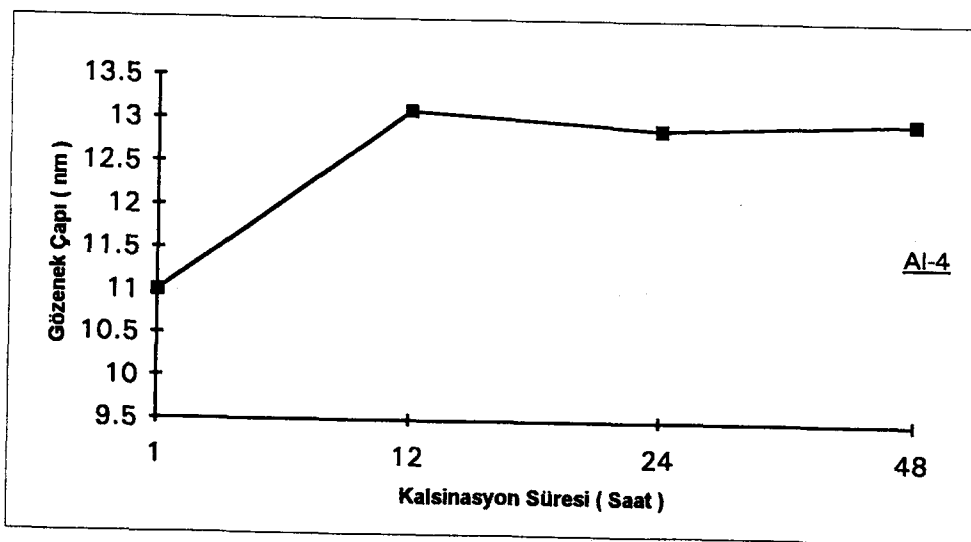


a)

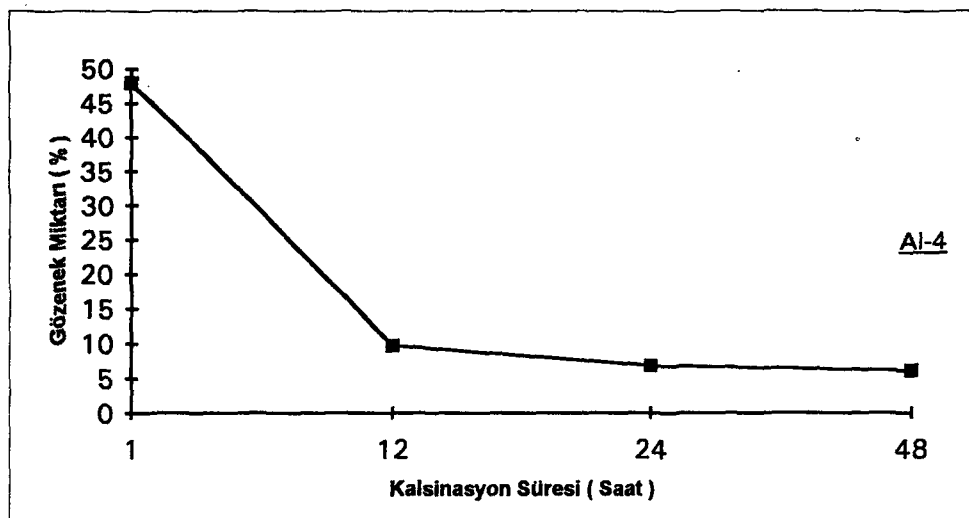


b)

Şekil 6.38: Al-2 jelinin kalsinasyon süresine göre;
a) Gözenek çapı ve b) Gözenek miktarının değişimi



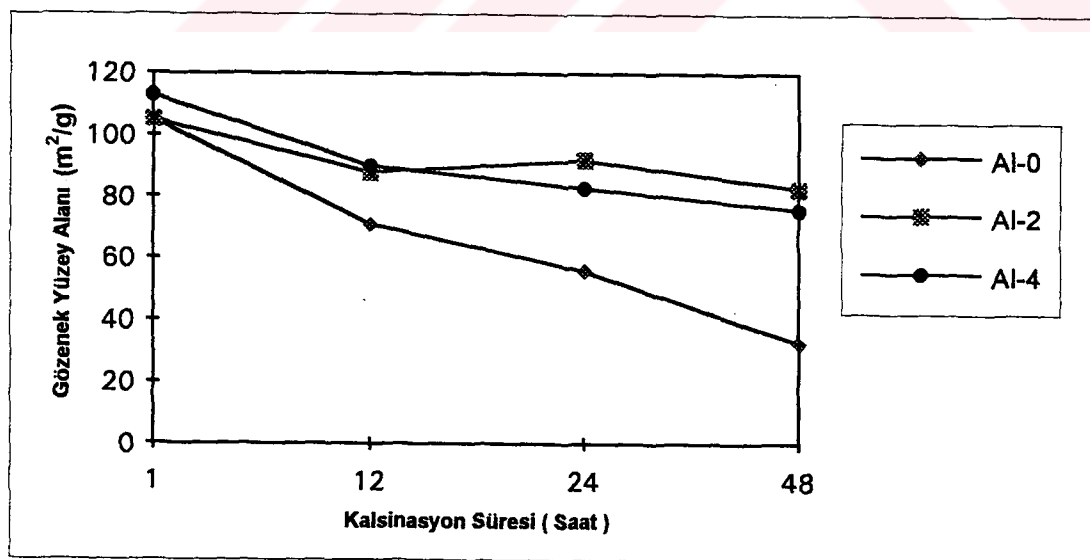
a)



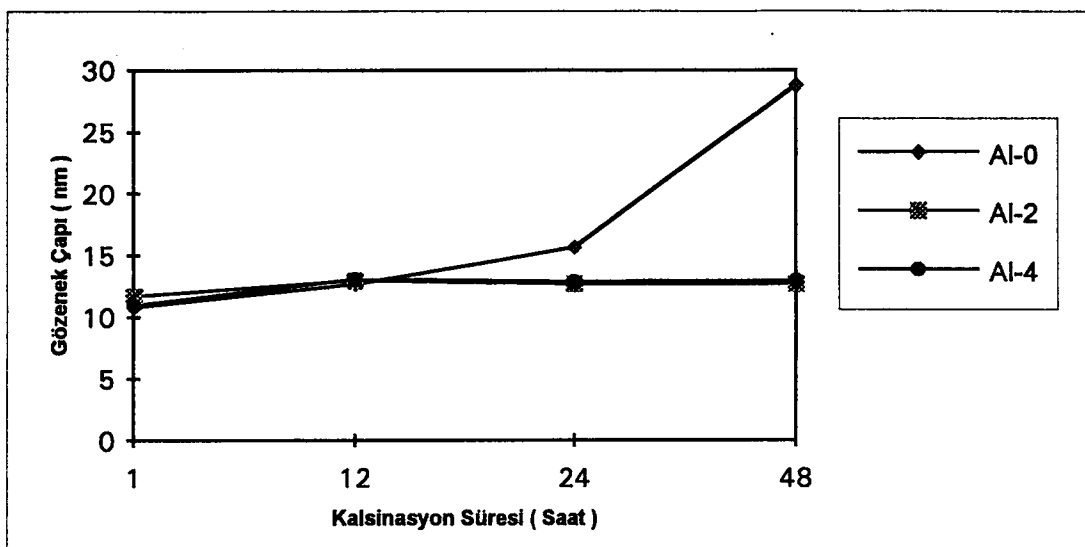
b)

Şekil 6.39 : Al-4 jelinin kalsinasyon süresine göre;

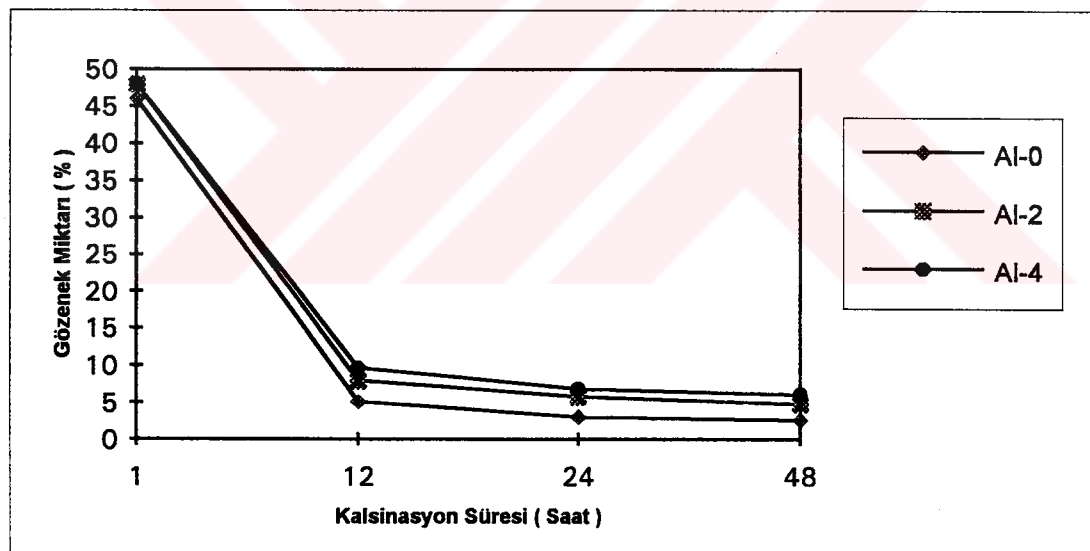
a) Gözenek çapı ve b) Gözenek miktarının değişimi



a)



b)



c)

Şekil 6.40 : Alümina jellerin kalsinasyon süresine göre; a) Gözenek yüzey alanı
b) Gözenek çapı c) Gözenek miktarlarının değişimi

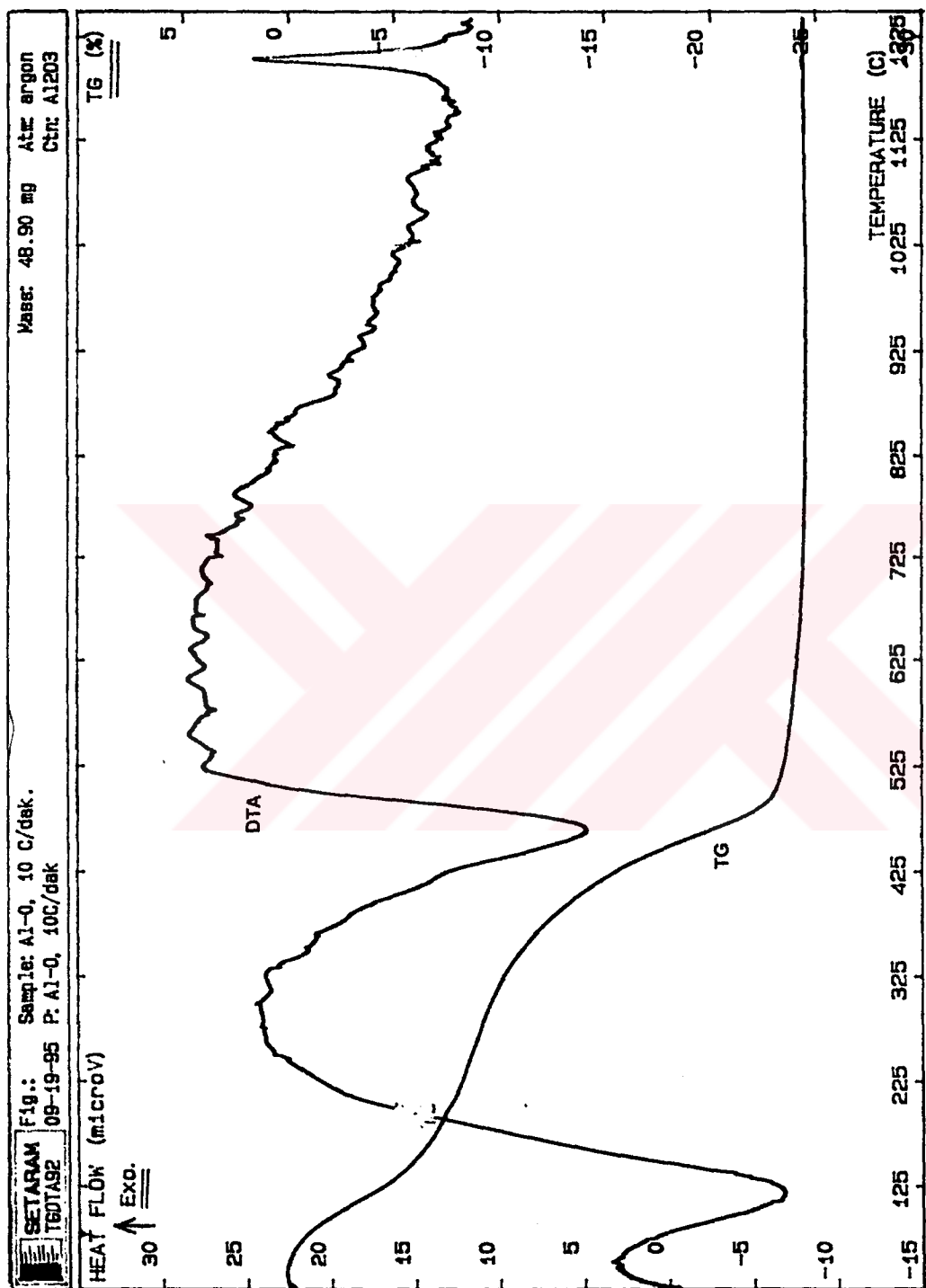
V) TG - DTA analizleri:

Katkılı (%2 ve %4 La₂O₃) ve katkısız (Al-0) alümina jellerin TG-DTA analizlerinin neticeleri aşağıda **Şekil 6.41, 6.42 6.43 ve 6.44**'de verilmiştir. **Şekil 6.44**'de verilen DTA eğrileri incelendiğinde her üç jelde de birincisi 50 -125 °C ve ikincisi de 325 - 500 °C sıcaklık aralığında olmak üzere iki endotermik (ısı alan) reaksiyon piki görülmektedir. Burada birinci pik jellerin fiziksel suyunun uzaklaşmasını, ikinci pik ise jellerin kristalin suyunun uzaklaşarak AlO(OH) (böhmít)'den γ-Al₂O₃ (alümina)'ya dönüştüğünü göstermektedir. Yine aynı şekildeki DTA eğrilerinden özellikle katkısız (Al-0) jelde ait eğride 1160 - 1225 °C aralığında bir egzotermik (ısı veren) reaksiyon piki hemen göze çarpmaktadır. Bu reaksiyon katkısız (Al-0) alümina jelinin γ-Al₂O₃'den α-Al₂O₃ fazına geçişini ifade etmektedir. %2 La₂O₃ katkılı Al-2 jelinin DTA eğrisinde ise 1225 - 1250 °C aralığında küçük bir egzotermik reaksiyon piki görülmektedir. Bu da yine γ-Al₂O₃'den α-Al₂O₃ fazına dönüşümün gerçekleştiğini ancak bunun Al-0 jelindeki kadar olmadığını yanı faz dönüşümünün az miktarda gerçekleştiğini göstermektedir. %4 La₂O₃ katkılı Al-4 jeline ait DTA eğrisinde ise herhangi bir egzotermik pik görülmemektedir. Bu durum 1250 °C'ye kadar yapılan bu termal analizlerde Al-4 jelindeki mevcut γ-Al₂O₃ yapısının halen korunduğunu ve α-Al₂O₃ fazına dönüşümün engellendiğini ve termal stabilitenin sağlandığını göstermektedir. Bu tespitleri jellerin 1200 °C'deki kalsinasyon işleminden sonra fiziksel görüntüsünden de anlamak mümkün olmuştur. Özellikle Al-0 jel koyu beyaz ve kompakt bir yapıda iken Al-4 jel halen şeffaf bir yapıdaydı.

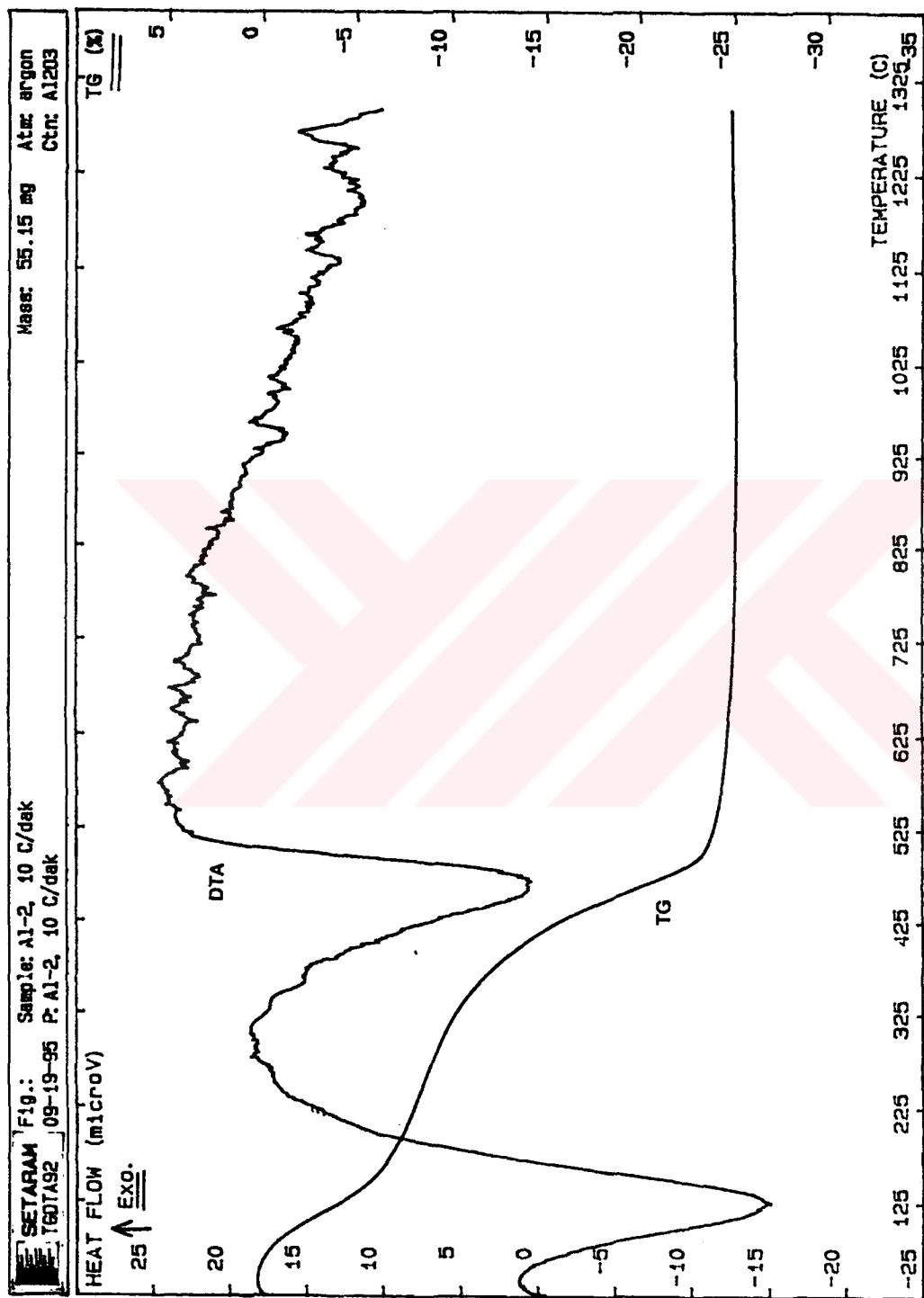
Yine her üç şekildeki TG eğrileri incelendiğinde üç eğride de 50 - 500 °C sıcaklık aralığında jelin fiziksel ve kimyasal suyunun uzaklaşmasıyla toplam %25'lük bir ağırlık kaybının olduğu görülmektedir.

VI) Kaplama yapılacak jel kompozisyonunun tesbiti:

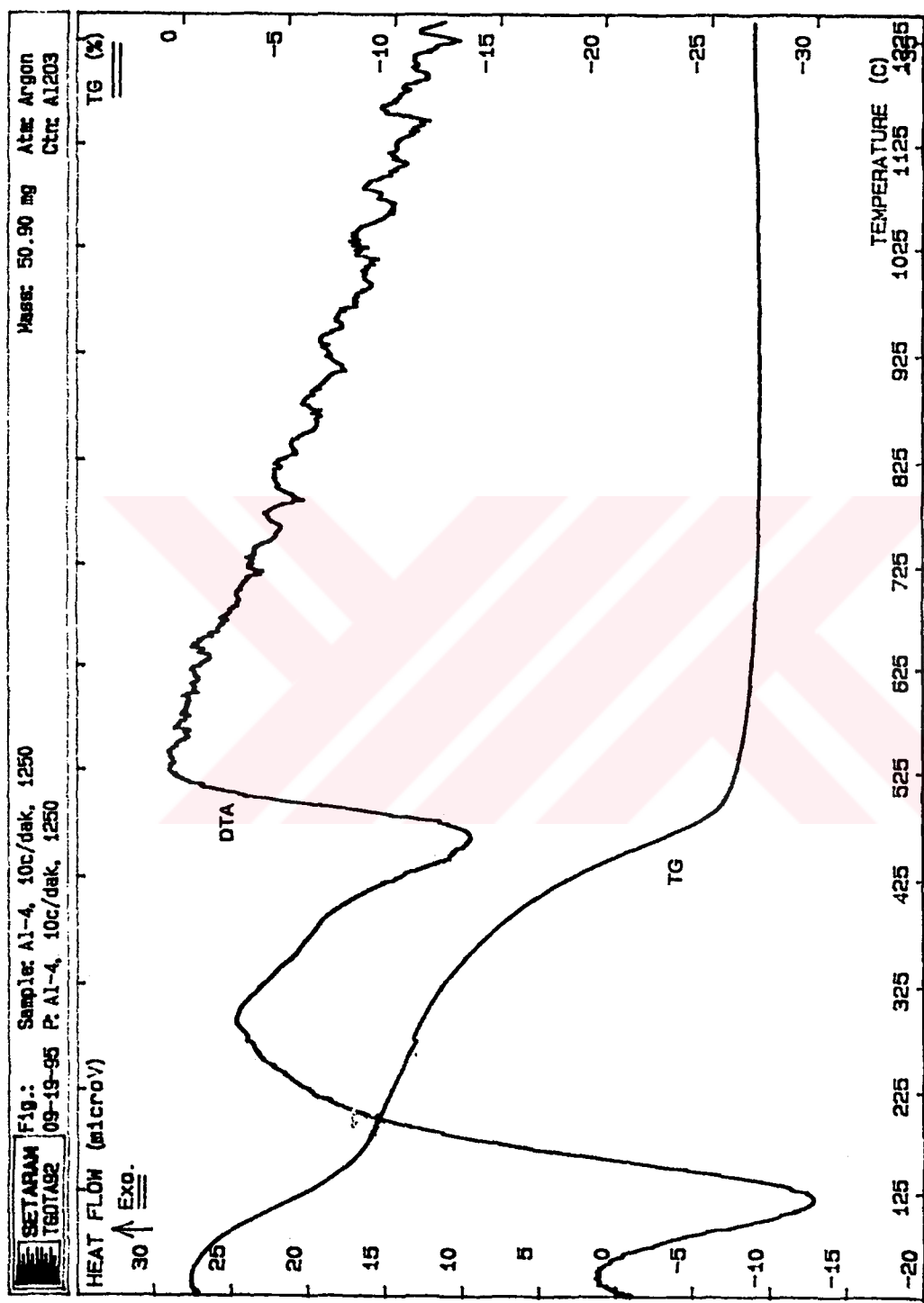
Yapılan karakterizasyon çalışmalarına göre %4 La₂O₃ katkılı Al-4 kompozisyonundaki jel kaplama için en uygun jel olarak seçilmiştir. Al-4 jelinin Hg-Porozimetredeki gözenek boyut ve dağılım analiz sonuçlarına göre gerek kalsinasyon sıcaklığı ve gerekse kalsinasyon süresinin artması karşısında ani bir değişikliğin (gözenek çaplarının yüksek oranda ve ani olarak büyümesi) olmadığı dolayısıyla diğer kompozisyondaki jellere göre kararlı bir yapıda olduğu görülmektedir. Ayrıca yine XRD faz analizlerine bakıldığından γ-Al₂O₃ fazından oluşması istenmeyen α-Al₂O₃ fazına dönüşümü %4 La₂O₃ katkısı ile engellenmiştir. Bu durum DTA ve TG analizlerinde de ayrıca tesbit edilmiştir.



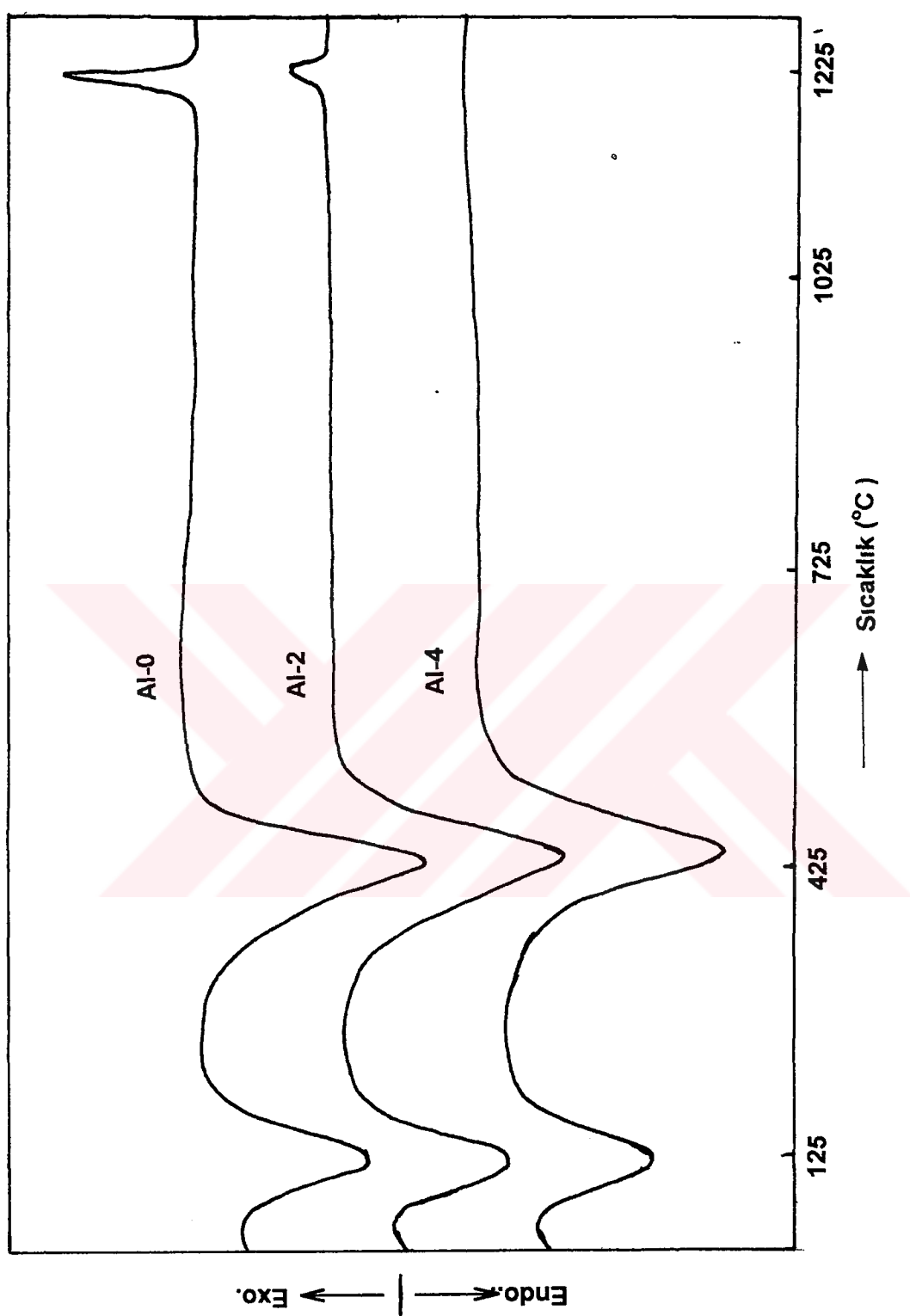
Sekil 6.41 : Katkısız (Al-0) alüminia jelin TG-DTA analizi



Sekil 6.42 : %2 La₂O₃ Katkılı (Al-2) alümina jelin TG-DTA analizi



Sekil 6.43: %4 La₂O₃ Katkılı (Al-4) alümina jelin TG-DTA analizi



Şekil 6.44 : Alümina jellerin DTA eğrileri

Al-0: %100 Al_2O_3 ,
 Al-2: %2 La_2O_3 + %98 Al_2O_3
 Al-4: %4 La_2O_3 + %96 Al_2O_3

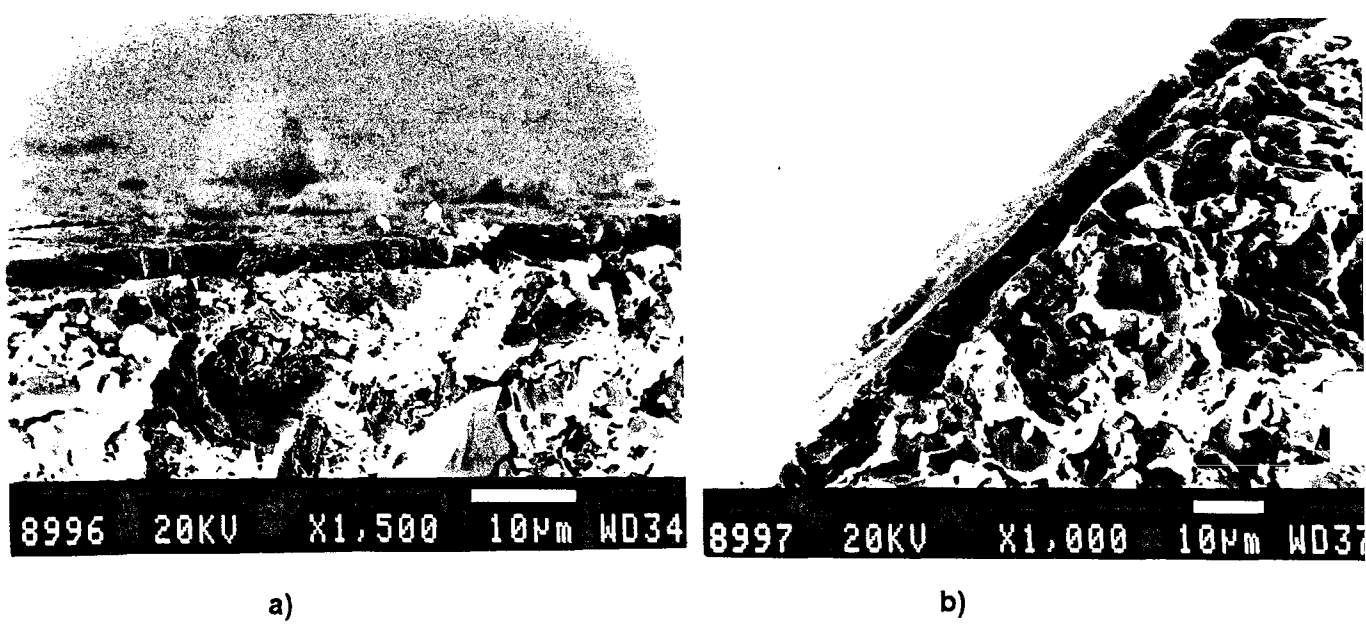
6.3 Sol-Jel Kaplama ve Membran

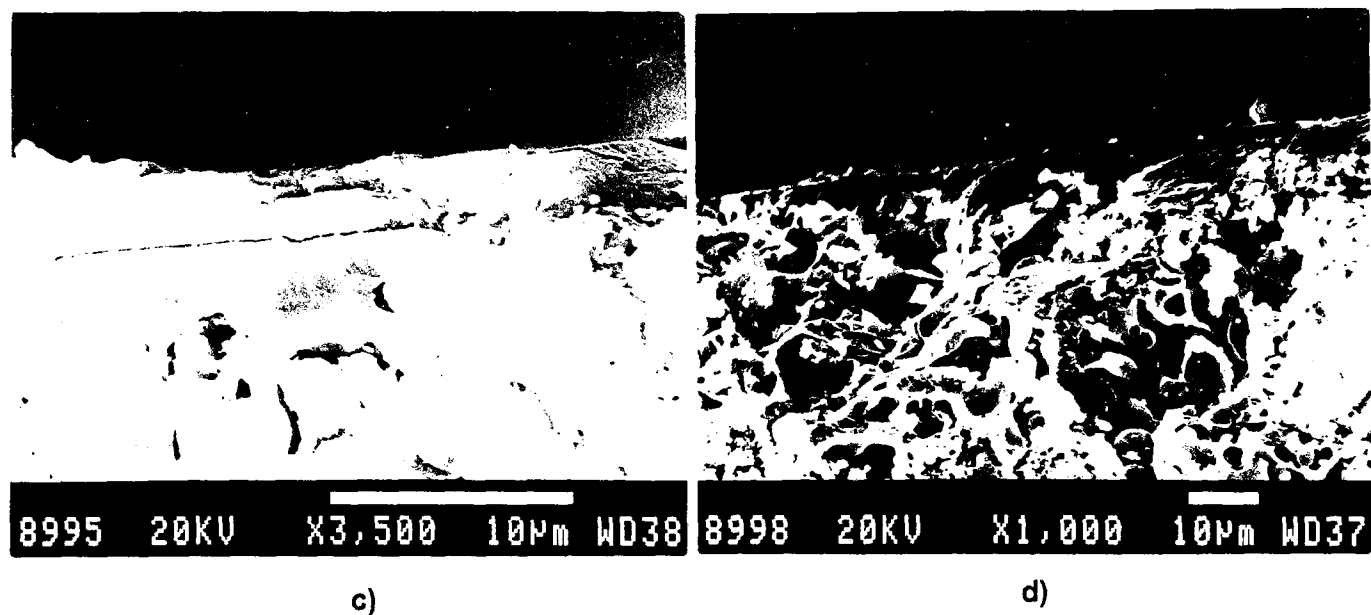
I) Kaplama morfolojisinin tesbiti:

Farklı sıcaklıklarda (950 , 1000 ve 1100 °C) sinterlenen kaolin altlıklar (45 mm çapında ve 3 mm kalınlığında, tablet şeklinde), A(%4La₂O₃ katkılı Böhmit solüsyonu) / B(PVA çözeltisi) = $1/1$ ve $2/1$ oranında hazırlanan solüsyonların içerisinde daldırılarak (daldırma süresi 5 sn) kaplama yapılmıştır (Bkz. **Şekil 5.10**). Daha sonra nem dolabında kurutulup 600 °C'de 3 saat kalsına edildikten sonra kaplamanın nasıl olduğunu görmek maksadıyla kırık ve parlak yüzeyden SEM fotoğrafları çekilmiştir.

Şekil 6.45 a ve b'de 1000 °C'de sinterlenerek altlık haline getirilen Doğaköy ve Dümbüldek kaolinlerinin A / B = $1/1$ solüsyonu ile kaplandıktan sonra kırık yüzeyde çekilen SEM fotoğraflarıdır. Görüldüğü gibi kaplama bütün bir yüzey boyunca homojen bir yapıda olup kaplama kalınlıkları 5 - 7 μm 'dir. **Şekil 6.45 c ve d'deki** kırık yüzey fotoğrafları ise 1100 °C'de sinterlenen altlıkların yine $1/1$ kompozisyonu ile yapılan kaplamaları göstermektedir. Fakat burada başarılı bir kaplama işlemi gerçekleştirilememiş olup kaplama ile altlık arasında boşluk mevcuttur.

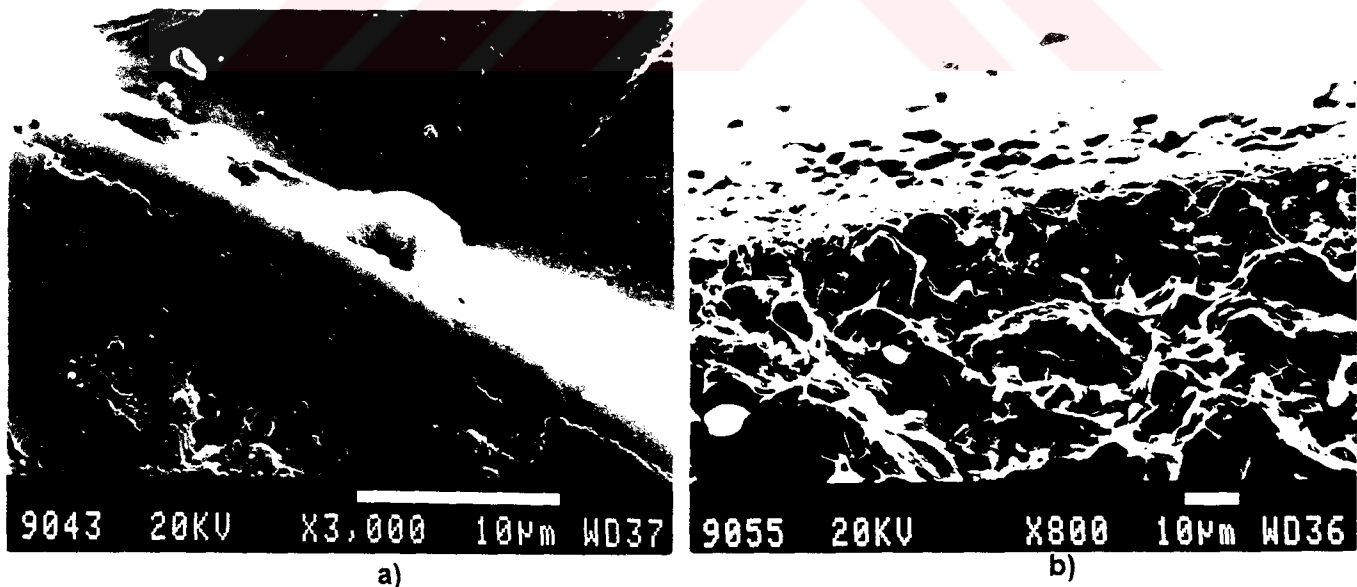
Şekil 6.46 'daki fotoğraflar ise A:B = $2/1$ kompozisyonunda yapılan kaplamaların kırık yüzeylerinin parlatıldıktan sonra çekilmiş SEM fotoğraflarıdır. Bu kompozisyonla yapılan kaplamaların kırık yüzey fotoğraflarında kaplamaya rastlanamazken (**şekil 6.46 b**), parlatılmış yüzeylerinde kaplamalar görülmektedir ve kaplama kalınlığı 5 μm civarındadır (**şekil 6.46 a**).





Şekil 6.45: A./B =1/1 kompozisyonu ile yapılan sol-jel kaplamalı alümina (Al_2O_3 - La_2O_3) membranlarının kırık yüzey SEM fotoğrafları

- a) 1000 °C'de sinterlenen Doğaköy kaolin (Kütahya) altılıklı ,
- b) 1000 °C'de sinterlenen Dümbüldek kaolin(Kütahya) altılıklı
- c) 1100 °C'de sinterlenen Doğaköy kaolin altılıklı
- d) 1100 °C'de sinterlenen Dümbüldek kaolin altılıklı



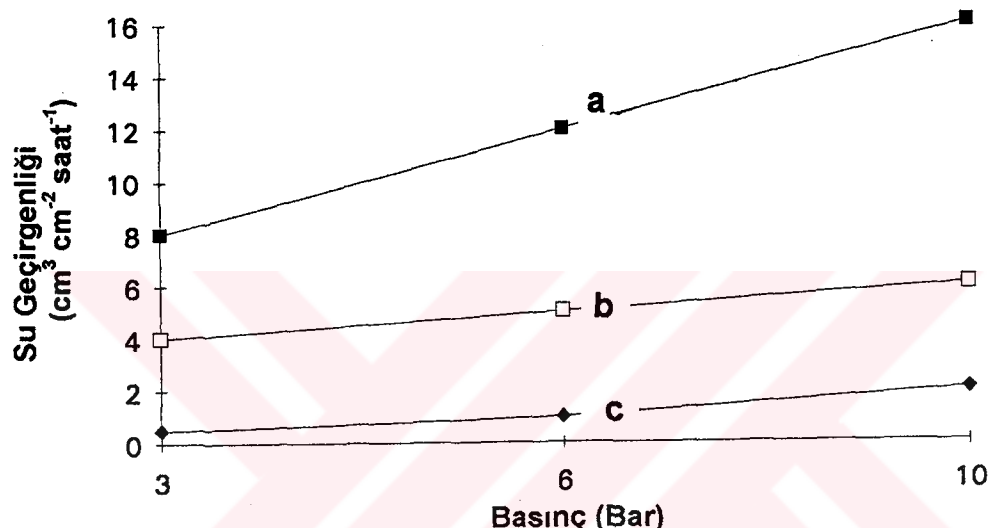
Şekil 6.46: A/B=2/1 kompozisyonu ile yapılan sol-jel kaplamalı alümina

(Al_2O_3 - La_2O_3) membranlarının kırık ve parlak yüzey SEM fotoğrafları

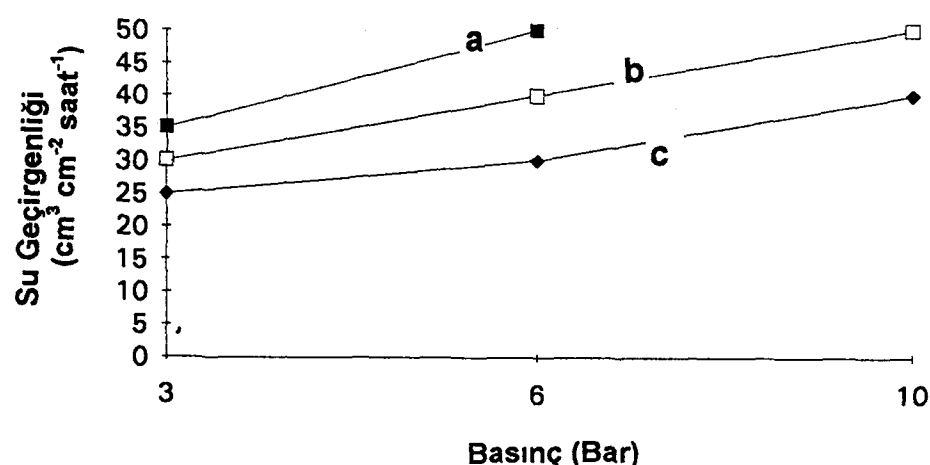
- a) 1100 °C'de sinterlenen Doğaköy kaolin altılıklı
- b) 1100 °C'de sinterlenen Dümbüldek kaolin altılıklı

II) Membranların su geçirgenlik (water flux) testi:

0-10 bar basınç altında yapılan su geçirgenlik testi sonuçları aşağıdaki şekillerde verilmiştir. Testler 950, 1000 ve 1100 °C'de sinterlenen iki ayrı kaolin altlığı kullanıldığı alümina (lantan oksit katkılı) membranlar üzerinde gerçekleştirılmıştır (kaplamalar A/B=1/1 kompozisyonu ile yapılmıştır). Altlık sinterleme sıcaklığının artmasına karşı geçirgenlik miktarı azalmakta ve 950 °C'de sinterlenen Dümbüldek kaolin altlıklı membran hariç diğerlerinin 10 bar basınçda dayanıklı olduğu görülmüştür.



Şekil 6.47 Farklı sıcaklıklarda (a)900, b)1000, c)1100 °C) sinterlenmiş Doğaköy kaolin altlıklı alümina membranlarının basınç altında su geçirgenliği



Şekil 6.48 Farklı sıcaklıklarda a)900, b)1000, c)1100 °C sinterlenmiş Dümbüldek kaolin altlıklı alümina membranlarının basınç altında su geçirgenliği

BÖLÜM 7 GENEL SONUÇLAR

- 1) Membran sisteminde Altılkı olarak kullanmak için Balıkesir ve Kütahya yöresinden temin edilen kaolinlerin mekanik mukavemet ve porozite analizleri neticesinde Kütahya kaolinlerinin altılkı için uygun olduğu tespit edilmiştir (1000°C 'de sinterlendikten sonra üç nokta eğme dayanımı, Doğaköy Kaolininde 7 ve Dümbüldek Kaolininde 12 Mpa, porozite miktarı Doğaköy Kaolininde %38 ve Dümbüldek kaolininde %28'dir).
- 2) Altılkıların gözenek boyut dağılımlarının $0.1\text{-}10 \mu\text{m}$ arasında değiştiği fakat homojen bir dağılıma sahip olmadığı tespit edilmiştir.
- 3) Kaolin altılkı üzerine böhmít (AlOOH) tozu + $\text{La}_2(\text{NO}_3)_3 \cdot 6\text{H}_2\text{O}$ + HNO_3 + PVA (bağlayıcı) 'dan oluşan solüsyon, sol - jel yöntemi ile hazırlanıp kaplanarak 10 bar basınçta mekanik stabilitesini ve 1200°C 'de termal stabilitesini koruyabilen, ultrafiltrasyon ve gaz karışıntılarının ayırt edilmesi işlemlerinde kullanılabilmesi mümkün olan kaolin altılkılu alümina membran sistemi üretilmiştir.
- 4) Böhmít solüsyonuna %4 La_2O_3 miktarına tekabül edecek $\text{La}_2(\text{NO}_3)_3 \cdot 6\text{H}_2\text{O}$ katılarak elde edilen jellerin genellikle yüksek sıcaklıklarda($1100\text{-}1200^{\circ}\text{C}$) meydana gelen $\gamma\text{-Al}_2\text{O}_3$ fazından $\alpha\text{-Al}_2\text{O}_3$ dönüşümü engellenmiş ve dolayısıyla membran sisteminde yüksek sıcaklıklarda arzu edilen $\gamma\text{-Al}_2\text{O}_3$ faz yapısı (termal stabilitesi) korunmuştur.
- 5) Membran sistemindeki esas ayırım işlemini gerçekleştiren Jel (%4 La_2O_3 + %96 Al_2O_3) tabakasının gözenek boyut dağılımının $3\text{-}15 \text{ nm}$ arasında olduğu ve kaplama kalınlığının $5\text{-}7 \mu\text{m}$ olduğu tespit edilmiştir.
- 6) Altılkıların solüsyona daldırılması yöntemiyle yapılan kaplama işleminde PVA miktarı, solüsyonun viskozitesi, daldırma süresi ve şekli önemlidir.
- 7) Kil esaslı bir altılkı üzerine yapılacak kaplamada kılın mineralojik ve kimyasal kompozisyonu ve sinterlenme sıcaklıklarını, iyi bir kaplamanın yapılabilmesi ve aynı zamanda membranın mekanik stabilitesi açısından önemlidir.

KAYNAKLAR DİZİNİ

- [1] : "Alumina", Ceramic Bulletin, 71, 5, p 780-82, 1992.
- [2] :STRATHMANN, H., "Membranes and Membrane Separation Processes", Ullman's encylopedias of industrial chemistry, vol.A16., p.187-195.
- [3] :UHLHORN, R.J., "Ceramic Membranes for Gas Separation", Amsterdam,ISBN 90-9003618-0, p.2.
- [4] :AVCI, G.G. ve GÜNAY, V., "İnce Alüminyum Oksit Flimlerin Hazırlanması ve Membran Amaçlı Kullanımı", II. Uluslararası seramik kongresi bildiriler kitabı, 2.cilt, s.148-154, 1994.
- [5] :ONARAN, K., "Malzeme Bilimi", Bilim teknik yayinevi ,İst., 1995.
- [6] :SÜMER, G., "Endüstriyel Seramikler", Anadolu Ünv. G.S.Yük.Ok. Yayınları no:2, s.1-15, Eskişehir, 1990.
- [7] :KUMBASAR, I., "Silikat Mineralleri", İTÜ Maden Fak., İTÜ matbaası, 1977.
- [8] :ARCASOY, A., "Seramik Teknolojisi", M.Ü.G.S.Fak., Yayın no:1, s. 8-16, 1983.
- [9] :BOZDOĞAN, I. ve TOPÇUOĞLU, Y., "Kaolen, Kil, Feldispat", Bor Dışı Endüstriyel Hammaddeler (II.Bölüm), DPT yayın no: 2147, s.226-251, Ankara, 1988.
- [10] :YILMAZ, H., "Kil Minerallerinin Duraylılık Alanları ve Oluşum Ortamları", Dokuz Eylül Ünv. M.M.Fak. Jeoloji böl., s.1-5, İzmir.
- [11] :SARIGAN, O., "Kuvars, Kuvarsit ve Kuvars Kumu", Bor Dışı Endüstriyel Madenler (II.Bölüm), DPT Yayın no: 2147, s.252-263, Ankara, 1988.
- [12] :GÖK, S., "Kuzey Batı Anadolu Kil Yatakları", II. Ulusal kil sempozyumu, s.417-433, hacettepe Ünv., Ankara, 1985.
- [13] :GEÇKİNLİ, A.E., "İleri Teknoloji Malzemeleri", İTÜ Kimya Metalurji. Fak., İTÜ matbaası, 1991.
- [14] :BAYKARA, T. ve Ark., "Yüksek Teknoloji Seramikleri Uygulama Alanları", Bilim-Teknik dergisi, cilt 25, sayı 293, Nisan 1992.
- [15] :ÇEŞMECİ, R. VE ÖZKAN, O.T., "ZnO Esaslı Varistörlerde Bi₂O₃ Katkısının Malzeme Özelliklerine Etkisi", 8.Uluslararası metalurji ve malzeme kongresi bildiriler kitabı , cilt 1, 1995.
- [16] :WEFERS, K. and BELL, G.M., "Oxides and Hydroxides of Aluminim", Technical Paper no:19, Alüminum Company of America, Pittsburgh, Pa., p.1-20, 1972.
- [17] :GÜMÜŞ, A., "Metalik Maden Yatakları", Bilim ofset merkezi, s.126, 1987.
- [18] :VALETON, I., "Bauxites", Developments in soil science 1, Elsevier pub. comp., 1972.

- [19] :HART, L.D., "Alümina Science and Technology Handbook Chemicals", The American Ceramic Society, Inc. Westerville, Ohio, 1990.
- [20] :ÖNAL, G., "Cevher Hazırlama", İTÜ Maden Fak., İTÜ Matbaası, İst., 1979.
- [21] :MACKETTA, J.J. and CUNNINGHAM, W.A., "Encylopedia Of Chemical Processing and Design" vol.3, Newyork 1977.
- [22] :TOY, Ç. ve BAYKARA, T., "Alüminanın Yapısal Amaçlı Uygulamaları", Bilim-Teknik dergisi, Ekim 1993.
- [23] :BAYKARA, T. ve TOY, Ç., "Geleceğin Malzemeleri", Seramik Dünyası, Yıl 2, Sayı 6, Nisan 1994.
- [24] :EBELMEN, A., ", s.7, 319, 1846.
- [25] :GEFFCKEN, W. ve BERGER, A., Detsch. Reichs patent 736411, Jenaer Glaswerk Schoot Gen., Jena, 1939.
- [26] :DISLICH, H., HİNZ, P. and KAUFMANN, R., FRG Patent 1941 191, Jenaer Glaswerk Schoot and Mainz, FRG.
- [27] :MAZDISYAINI, K.S., DOLLOF, R.T. and SMITH, J.S., J.Amer.Ceram.Soc., 52(1969)513, 53(1970)91.
- [28] :ULRICH, B.R., "Prospects Of Sol-Gel Processes", J.Non-Crystalline Solids 100(1988)174-193.
- [29] :DISLICH, H., "Sol-Gel 1984 → 2004 (?)", J.Non-Crystalline Solids 73(1985)599-612 .
- [30] :SCHMIDT, H., "Chemistry Of Material Preparation By the Sol-Gel Process", J.Non-Crystalline Solids 100(1988)51-64.
- [31] :YOLDAŞ, B.E., "Transparent Porous Alümina ", Ceramic Bulletin, vol.54, no:3, 1975.
- [32] :ZELINSKI, B.J.J., and ULMANN, D.R., "Gel Technology In Ceramics", J.Phys.Chem.Solids, vol.45, no:10, p.1069-1070.
- [33] : YOLDAŞ, B.E., "Scientific and Technological Significance of Sol-Gel Process of Ceramics", Uluslararası Seramik Kongresi Bildiriler Kitabı , Türk seramik Derneği yayınları no:5 ,s.447 , Ekim 1992.
- [34] :MESSING, G.L., SHELLEMAN, R.A. and KUMAGAI, M., "Alpha Alümina Transformation In Seeded Boehmite Gels",J.Non-Crystalline Solids 82(1986)277-285.
- [35] :PAUL, D.R., and MOREL, G., "Membrane Technology", Encylopedia Of Chemical Technology, vol.15, p.92-132.
- [36] :WIESNER, M.R., and NAZZAL, F.F., " Ph and Ionic Strength Effects On The

Performance Of Ceramic Membranes In Water Filtration”, Journal of Membrane Science 93(1994)91-103.

[37] :TOY, Ç.,” Seramik Hammadde Sentezi ve Karakterizasyonu”, Seramik kontrol

metodları semineri bildiriler kitabı, Seramik Derneği yayınları no:4

[38] :KEIZER, K., UHLHORN, R.J. and BURGRAAF, A.J.,”Gas Separation Mechanisms In Microporous Modified γ -Al₂O₃ Membranes”, Journal of Membrane Science 39(1988)285-300.

[39] :REVVY, M.R. and BAUER, D.J., “The Effect of Foreign Ions On The Stability Of Activated Alümina ”J. of Catal., 7(1983)211-220.

[40] :SCHAPER, H., DOESBURG, E.B.M., DEKORTE, P.H.M. and Van REIJAN, L.L., “Thermal Stabilization of High Surface Area Alümina”, Solid State Ionics 16(1985)261-265.

[41] :DELL, R.M.,”Proc.7th. Int. Symp. Reactivity Of Solids”, p.553, London 1972.

[42] :OKUT, M. ve Diğerleri, “Balıkesir Sındırı İlçesi Düvertepe Çevresi Kaolin Etüd Raporu”, MTA Bölge Müd., Rapor no:464, Balıkesir 1984.

[43] :OKUT, M. ve Diğerleri, “Kütahya İli Emet-Simav İlçeleri Kaolin Zuhurları ve Dolayının Jeoloji Raporu”, MTA Bölge Müd., Rapor no:273, Balıkesir 1978.

[44] :BAYSAL, O.,”Kırka Borat Yataklarındaki Kil Mineralleri Üzerine Ön İnceleme”, T.J.K. Bülteni, sayı 1, cilt7 , s.17, 1974.

ÖZGEÇMİŞ

Bahri ERSOY 1970 yılında Malatya/Darende'de doğdu. Orta ve lise öğrenimini Elbistan (KMaraş) ve Gaziantep'de tamamladı. 1986 yılında girdiği DOKUZ EYLÜL ÜNİVERSİTESİ Müh.Mim.Fak. Maden Mühendisliği Bölümü'nden "Elbistan linyitlerinin biriketlenebilirliği üzerine kül oranı ve pres basıncının etkisi" konulu bitirme tezi ile lisans eğitimini tamamlayıp 1991 yılında mezun oldu. Kuzey Anadolu Madencilik yeraltı linyit işletmesi (Bolu/Mengen) ve Akpınar Madencilik açık ocak kömür işletmesi (Kütahya/Tavşanlı)'nde çalıştı. 1993 yılında kısa dönem olarak askerlik hizmetini tamamladıkten sonra Özdoğan Madencilik dekapaj işletmesi (Kütahya/Tunçbilek)'nde çalıştı. 1994 yılında DUMLUPINAR Ünv. Müh.Fak. Maden Mühendisliği Bölümü Cevher Hazırlama Anabilimdali'nda yüksek lisansa başladı. Bir yıl süreyle TÜBİTAK-MAM ile DUMLUPINAR Ünv. arasındaki işbirliği protokolü kapsamında Malzeme Araştırma Bölümü (Gebze/KOCAELİ)'nde yürütülmekte olan "Alümina Seramik Membranlar" projesinde görev aldı. Bu proje ile yüksek lisans tezini hazırladı. Halen DUMLUPINAR Ünv. Fen Bilimleri Enstitüsü'nde Araştırma Görevlisi'dir.